

MINERAIS DO PARANÁ S/A - MINEROPAR

RELATÓRIO FINAL DE PESQUISA

PROCESSO 820.191/88

GEÓLOGO DICLÉCIO FALCADE

ENG. MINAS GILMAR PAIVA LIMA

CURITIBA

1995

MINERAIS DO PARANÁ S/A - MINEROPAR

RELATÓRIO FINAL DE PESQUISA

PROCESSO 820.191/88

**Geólogo Diclécio Falcade
Eng. Minas Gilmar Paiva Lima**

**Curitiba
1995**

Registro n. 5019



Biblioteca/Mineropar

MINEROPAR
BIBLIOTECA

Reg. 5019 Data 02.07.96

IDENTIFICAÇÃO DO TITULAR

Nome: Minerais do Paraná S/A - MINEROPAR

Nome empresarial: Secretaria da Indústria e do Comércio do Estado do Paraná - SEIC

Endereço: Rua Constantino Marochi, 800 - Curitiba - PR

Técnico responsável pela pesquisa: Diclécio Falcade

Número da carteira do CREA: 5918-D/PR

**NOVO MEMORIAL DESCRITIVO DA ÁREA REDUZIDA
AOS LIMITES DA JAZIDA**

Após a conclusão dos trabalhos de pesquisa na área do alvará, sugere-se a redução da mesma, conforme a descrição do polígono abaixo:

820.191/88 - vértice a 2.320 m no rumo verdadeiro de $76^{\circ}00'NW$ do PA-11 (Projeto Cerro Azul), e os lados a partir deste vértice com os seguintes comprimentos e rumos verdadeiros: 1.000 mW; 500 mS; 1.000 mW; 500 mS; 500 mW; 500 mS; 500 mW; 500 mS; 1.000 mW; 3.000 mN; 4.000 mE; 1.000 mS, perfazendo uma área de 775 ha.

A planta de detalhe e situação da área reduzida obedecendo o novo memorial descritivo consta da Figura 1-A.



TUNAS

IUNAS

SG. 22-X-B-IV-4

REGIÃO SUL DO BRASIL — 1:50.000

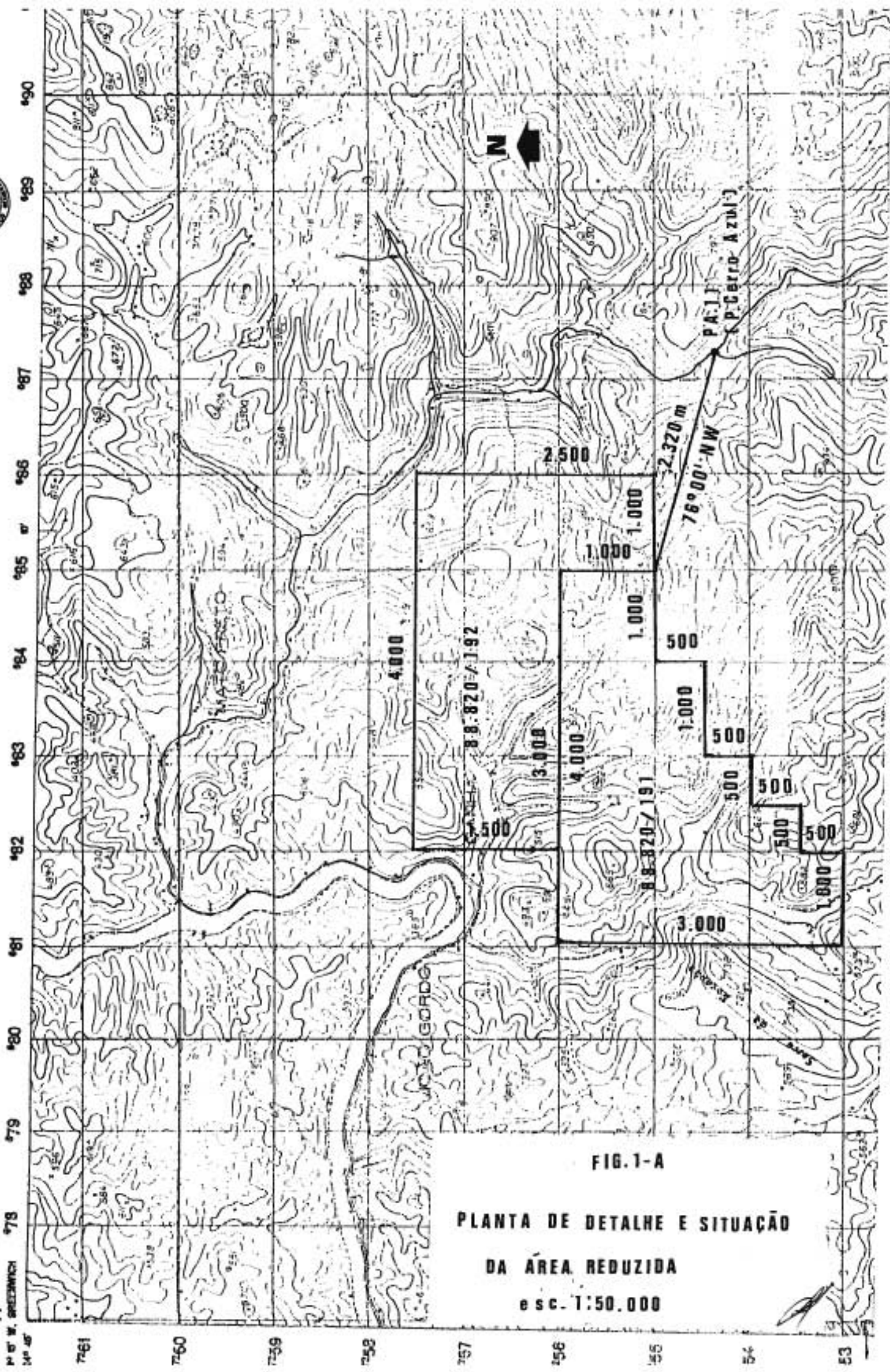


FIG. 1-A

PLANTA DE DETALHE E SITUAÇÃO
DA ÁREA REDUZIDA
e sc. 1:50.000

FIGURAS

Fig. 01 A - Planta de situação de detalhe da área reduzida.

Fig. 01 - Planta de situação.

Fig. 02 - Esboço geológico do Escudo Paranaense em escala 1:650.000.

Fig. 03 - Compartimentação tectônica.

Fig. 04 - Interpretação Fm. Radar (proj. Radam Brasil - folha SG-22-X-B).

Fig. 05 - Diagrama de polos S0 na Formação Votuverava - Alvo Canha.

Fig. 06 - Diagrama de polos S0 - Formação Votuverava.

Fig. 07 - Diagrama de polos S0 - Seqüência Carumbé.

Fig. 08 - Diagrama de polos S0/S1 - Formação Água Clara.

A N E X O S

- Anexo 01 - Mapa geológico - fase regional, esc. 1:25.000
Projeto Canha-Carumbé.
- Anexo 02 - Mapa de pontos - fase regional, esc. 1:25.000
Projeto Canha-Carumbé
- Anexo 03 - Mapa geológico - fase semidetalhe, esc. 1:10.000
- Anexo 04 - Perfis detalhados - geologia/litoquímica (A e B).
- Anexo 05 - Esboço geológico com as faixas de calcário e blocos utilizados no cálculo de reservas,
esc. 1:5.000.
- Anexo 06 - Geoquímica regional - mapa de controle das amostras, esc. 1:25.000 - Projeto Canha-
Carumbé.
- Anexo 07 - Geoquímica regional - mapa com resultados de chumbo (s.c.), esc. 1:25.000
Projeto Canha Carumbé.
- Anexo 08 - Geoquímica regional - mapa com resultados de flúor (c.b.), esc. 1:25.000
Projeto Canha Carumbé.
- Anexo 09 - Mapa de localização de amostragem litoquímica (A e B), esc. 1:5.000
- Anexo 10 - Mapa topográfico (A e B), esc. 1:5.000.
- Anexo 11 - Perfis utilizados para cálculo da cubagem.
- Anexo 12 - Perfis de sondagem.
- Anexo 13 - Laudo de análises químicas.



SUMÁRIO

1 - GENERALIDADES.....	1
1.1 - Introdução.....	1
1.1.1 - Apresentação.....	1
1.1.2 - Informação sobre a Substância Requerida e Pesquisada.....	1
1.2 - Aspectos Fisiográficos Geomorfológicos.....	1
1.3 -Localização e Acesso.....	2
1.4 - Aspectos Sócio-Econômicos.....	2
2 - CONHECIMENTOS REGIONAIS.....	2
2.1 - Trabalhos Anteriores/Geologia Regional.....	2
2.1.1 - Introdução.....	2
2.1.2 - Unidades Litoestratigráficas e Tectônicas Deformadas.....	3
2.1.3 - Estratigrafia.....	11
2.1.4 - Geoquímica/Geofísica Regional.....	12
2.1.5 - Outras Pesquisas Realizadas na Região/Ocorrências Mi- nerais.....	12
3 - METODOLOGIA.....	12
4 - TRABALHOS REALIZADOS/RESULTADOS OBTIDOS.....	14
4.1 - Mapeamento Geológico.....	14
4.1.1 - Fase Regional.....	14
4.1.2 - Fase Semidetalhe.....	14
4.1.3 - Fase Detalhe.....	15
4.1.4 - Aspectos Estruturais.....	19
4.2 - Trabalhos Geoquímicos.....	19
4.3 - Trabalhos Topográficos.....	20
4.4 - Amostragem Litoquímica/Petrográfica.....	21
4.4.1 - Amostragem Litoquímica Regional.....	21
4.4.2 - Amostragem Litoquímica na Área de Pesquisa.....	23
4.5 - Análises Químicas.....	25
4.6 - Sondagens.....	25
5 - DADOS FÍSICOS DE PRODUÇÃO.....	25
6 - CRONOGRAMA FÍSICO FINANCEIROS.....	26
7 - CÁLCULO DAS RESERVAS DE MINÉRIO.....	26
7.1 - Critérios Adotados.....	26
7.2 - Área DNPM 88.820/191.....	27
7.3 - Área DNPM 88.820/192.....	28
8 - ANÁLISE DO MERCADO PRODUTOR E CONSUMIDOR.....	29

8.1 - Introdução.....	29
8.2 - Indústria Cimenteira	29
8.3 - Outros Usos do Calcário Calcítico.....	30
8.3.1 - Indústria de Rações	30
8.3.2 - Setor Cerâmico.....	30
8.3.3 - Usos Diversos.....	30
8.3.4 - Indústria da Cal.....	31
8.3.4.1 - Mercado Consumidor da Cal.....	31
8.3.4.2 - Mercado Produtor Paranaense.....	33
8.3.4.3 - Premissas para Novos Empreendimentos.....	33
9 - CARACTERIZAÇÃO TECNOLÓGICA PRELIMINAR	34
9.1 - Objetivos.....	34
9.3 - Metodologia de Ensaios.....	34
9.3.1 - Calcinação.....	34
9.3.2 - Testes de Reatividade.....	34
9.3.3 - Teste de Viscosidade.....	35
9.3.4 - Teste de Sedimentação.....	35
9.3.5 - Resíduos.....	35
9.4 - Resultados Obtidos.....	35
9.4.1 - Testes de Reatividade.....	35
9.4.2 - Teste de Viscosidade, Sedimentação e Resíduo Insolúvel.....	36
9.5 - Conclusões.....	36
10 - ANÁLISE PRELIMINAR DE VIABILIDADE	37

I - GENERALIDADES

1.1 - Introdução

1.1.1 - Apresentação

O presente relatório final de pesquisa refere-se à área do processo DNPM 820.191/88, situada no Município de Cerro Azul, requerida junto ao DNPM no ano de 1988. A substância requerida e pesquisada é o calcário.

Os trabalhos de pesquisa na área foram iniciados no ano de 1989. Em 1992 foi solicitada a renovação do alvará e a conclusão dos trabalhos se deu em 1995.

As atividades realizadas incluíram: mapeamento geológico, prospecção geoquímica, amostragem litoquímica, topografia, sondagens rotativa e análises química.

Como resultado destes trabalhos desenvolvidos foi cubada uma reserva total de 519.763.000 t de calcário, com teores médios de CaO - 49,4% e MgO - 1,57%.

1.1.2 - Informação sobre a Substância Requerida e Pesquisa

Os comentários sobre a substância requerida e pesquisada estão descritos no capítulo "Análise de Mercado Produtor e Consumidor".

1.2 - Aspectos Fisiográficos Geomorfológicos

A área pesquisada localiza-se na região do Primeiro Planalto Paranaense, aí caracterizado por um relevo rejuvenescido pelo profundo entalhamento do Rio Ribeira. Domina uma paisagem de vertentes íngremes e vales encaixados em "V", seguindo as direções dos principais falhamentos. O principal acidente fisiográfico é sem dúvida o Rio Ribeira, que nessa altura apresenta um forte gradiente e tem o seu traçado condicionado pelo falhamento de direção nordeste.

Dentre os tributários do Rio Ribeira, destacam-se os rios Canha, Mato Preto e Rio do Forno. A feição de relevo mais notável é o Morro do Chapéu, situado a leste da área em questão.

A vegetação é antropomorfa. Vestígios de vegetação nativa podem ser observados nos cumes de algumas elevações e em algumas matas de galeria.

O clima, temperado úmido, determina severas condições de intemperismo químico sobre as rochas. No entanto o desenvolvimento dos solos férteis é prejudicado pela declividade das encostas e sua remoção é facilitada pelo intenso desmatamento verificado na região nos últimos anos.

1.3 - Localização e Acesso

A área pesquisada localiza-se no Município e Comarca de Cerro Azul, nordeste do Estado do Paraná. É delimitada pelas coordenadas UTM 1257,5 a norte, 1253 a sul e 682 a oeste e 686 a leste.

O acesso a partir de Curitiba é feito através da PR-092 (Rodovia dos Minérios), conforme mostra a Fig. 01. De Curitiba a Rio Branco do Sul são 30 km de rodovia asfaltada. A partir daí percorre-se 51 km em rodovia macadamizada em bom estado de conservação que permite o tráfego de veículos o ano todo, atingindo-se a cidade de Cerro Azul. Da sede municipal são mais 2 km pela estrada que liga a Tunas (PR-340), tomando-se então a estrada vicinal para a Serra da Bocanha, à esquerda, onde após 2 km atinge-se a área. O interior da área de pesquisa é alcançado através de estradas secundárias, caminhos e trilhas existentes.

1.4 - Aspectos Sócio-Econômicos

A sede do Município dispõe de infra-estrutura, ainda precária, se for considerada sua relativa proximidade em relação aos grandes centros urbanos do sul do país. A cidade de Cerro Azul dispõe de agências bancárias, escola secundária, energia elétrica, correio e telefone.

Dentre as atividades econômicas, predomina a citricultura de pequena escala, seguida pela agricultura, com produção de feijão e milho, além da pecuária leiteira.

O setor de mineração tem pequeno peso no município, destacando-se a Mina de Fluorita do Mato Preto.

2 - CONHECIMENTOS REGIONAIS

2.1 - Trabalhos Anteriores/Geologia Regional

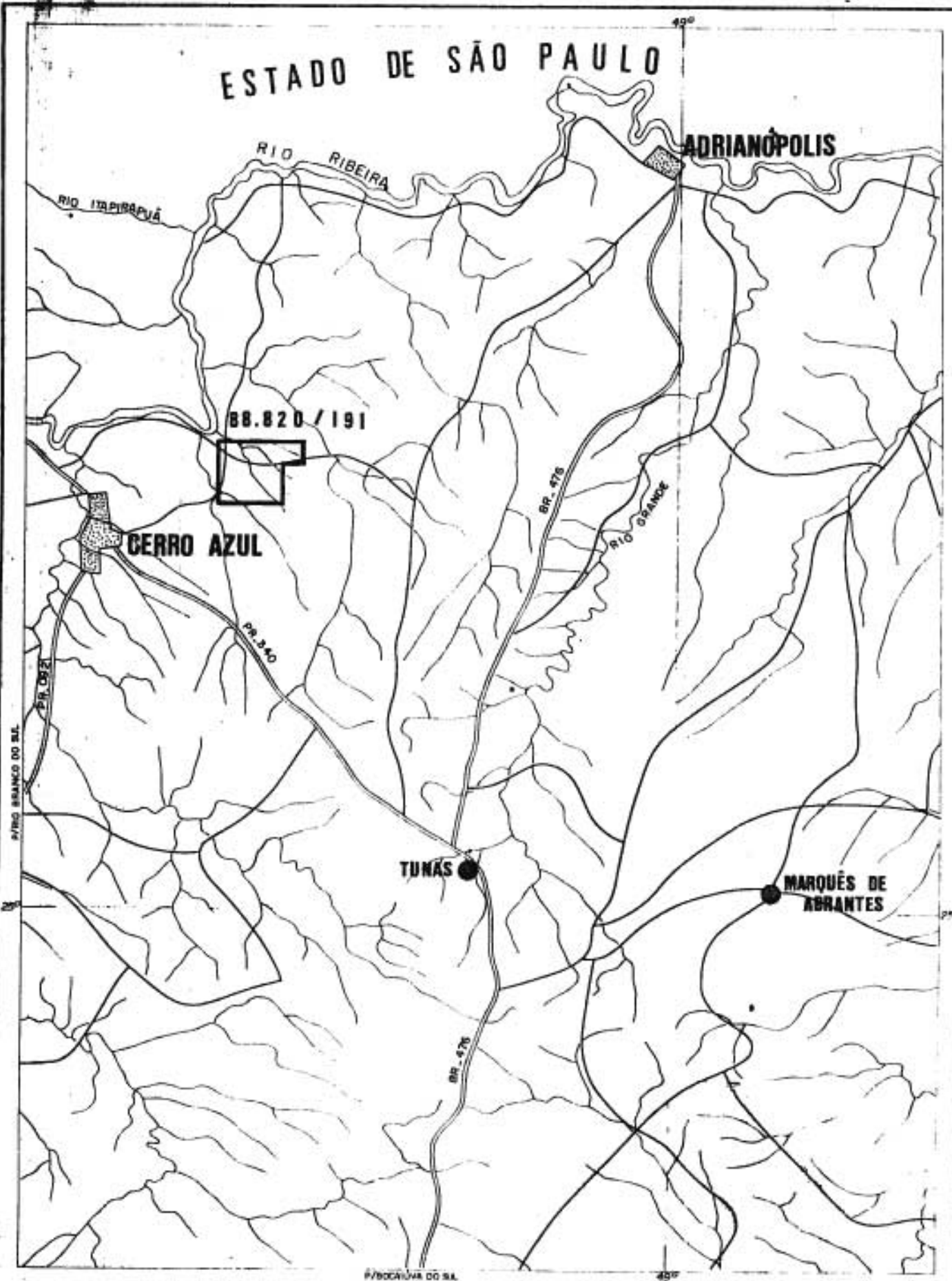
2.1.1 - Introdução

A área trabalhada situa-se na Faixa Apiai do Cinturão Dobrado Ribeira de Hasui et al. (1975), porção central da Província Mantiqueira de Almeida et al. (1977).

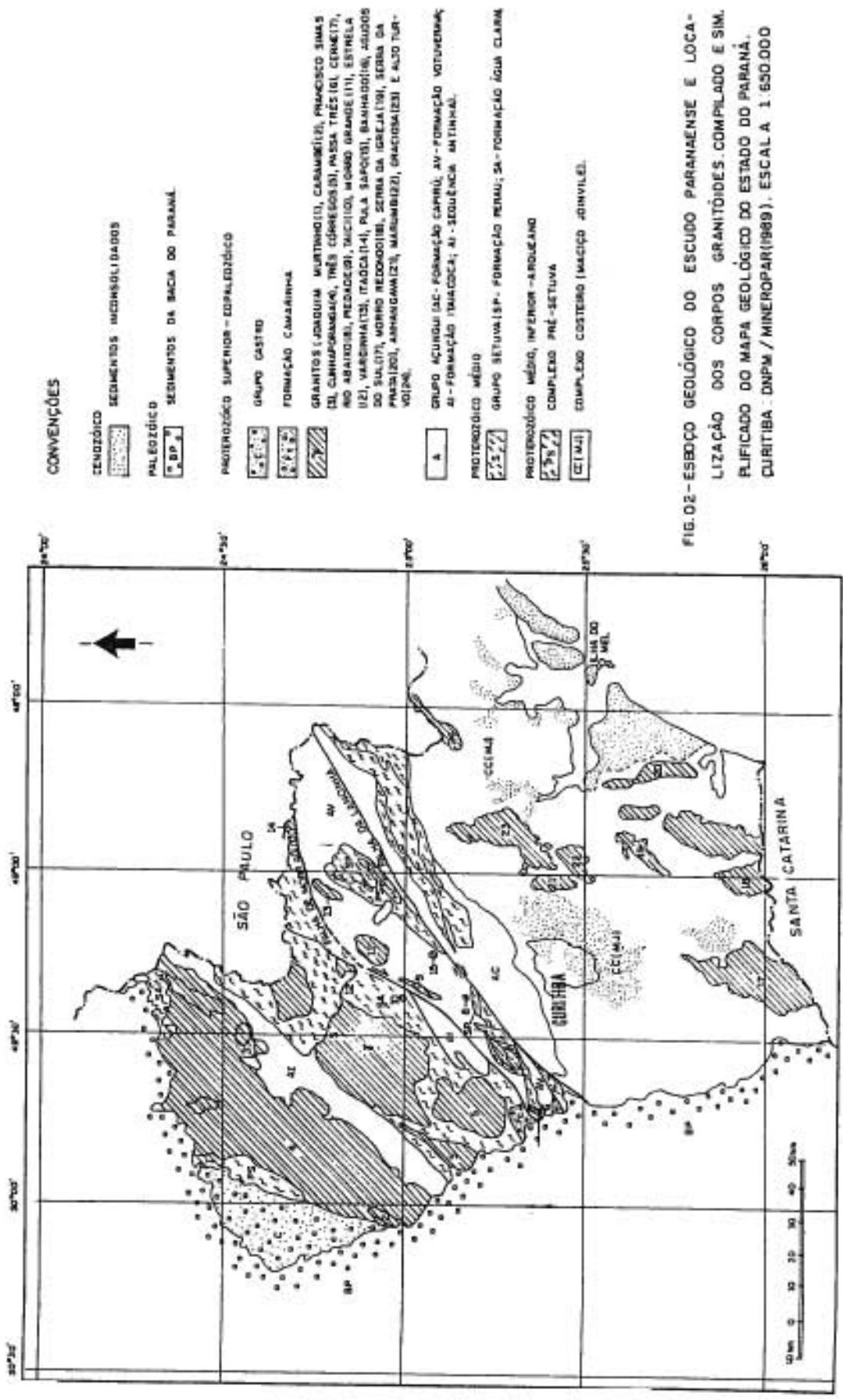
O entendimento da ordenação estratigráfica dos litotipos que ocorrem nesta faixa dentro do estado do Paraná, mostra-se atualmente confuso e contraditório, refletido na profusão de classificações estratigráficas e tectônicas.

Dado a este quadro complicado, descrever-se-á as unidades litoestratigráficas desta faixa de acordo com os termos mais utilizados, tecendo rápido histórico sobre a evolução, conceitos e eventos tectônicos deformadores destas rochas, de acordo com os trabalhos de Fiori e colaboradores (1984, 1985a, 1985b, 1987 e 1989) e Soares (1987).

ESTADO DE SÃO PAULO



MINEROPAR Minerac do Paraná S.A.		
MUNICÍPIO CERRO AZUL MUNICÍPIO CERRO AZUL PROPOSTO ESCALA 1:250.000	PROSPEC PLANTA DE SITUAÇÃO	CO. MAPA 81.00 REVISÃO 1 ROSENDO DATA 1971
Assessoria Situatória do Paraná S.A.		Sígnico FALCÃO 1971-2000
		FIGURA 1



CONVENÇÕES

- CENOZÓICO
- SEDIMENTOS CONSOLIDADOS
- PALEOZÓICO
- SEDIMENTOS DA BACIA DO PARANÁ
- PROTEROZÓICO SUPERIOR - ESPALHEADO
- GRUPO CASTRO
- FORMAÇÃO CAMARINHA
- GRANITOS (JORDUM, MURTINHOI, CARABEÍTO, PRANCOSCO, PASSA TRÊS IEL, CERMEI, NO ABATÓI, PEDACI, TACI, MOGO GRANDE (I), ESTRELA (I), VARGEM (I), ITACATI, PULA SAPORI, BANHADOI, ARDOS DO SALI, MORRO REDONDI, SERNA DA IGREJA (I), SERNA DA PRAZIO, ARAHAMAZI, MARUMBI, GRACIOSA (I) E ALTO TURVOI)
- GRUPO AÇUNGUI (AC - FORMAÇÃO CAPRÍ, AV - FORMAÇÃO VOTUVERMA, AI - FORMAÇÃO IMACOCA; AI - SEQUÊNCIA ANTINÁ)
- PROTEROZÓICO MÉDIO
- GRUPO SETUVAL (SP - FORMAÇÃO REAU; SA - FORMAÇÃO ÁGUA CLARA)
- PROTEROZÓICO MÉDIO, INFERIOR - AROZEANO
- COMPLEXO PRÉ-SETUVAL
- COMPLEXO COSTEIRO (MÁCIO) (MJI)

FIG. 02 - ESBOÇO GEOLÓGICO DO ESCUDO PARANAENSE E LOCALIZAÇÃO DOS CORPOS GRANITÓIDES. COMPILADO E SIMPLIFICADO DO MAPA GEOLÓGICO DO ESTADO DO PARANÁ, CURITIBA - DNPM / MINEROPAR(1989). ESCALA 1:650.000

Em sequência, será feita uma síntese a respeito das rochas graníticas brasileiras do Estado do Paraná. O esboço geológico do Escudo Paranaense copilado e simplificado do mapa geológico do Estado do Paraná em escala 1:650.000 está apresentado na Fig. 02.

2.1.2 - Unidades Litoestratigráficas e Tectônicas Deformadoras

Complexo Pré-Setuva

O termo Pré-Setuva foi originalmente proposto por Ebert (1971) para os orto e paragneisses que ocorrem no Antiforme do Setuva enfileirados até então na Formação Setuva (Bigarella e Salamuni, 1958; Marini et al., 1967 e Marini, 1970), juntamente com os xistos e quartzitos sobrepostos. Este autor considerou estes gnaisses como embasamento do Grupo Açungui.

As rochas Pré-Setuva afloram nos antiformes do Setuva, Betara e Anta Gorda, sob as rochas dos grupos Açungui e Setuva, na região de Mato Preto sob as rochas da Formação Água Clara e, no Antiforme do Alto Açungui (Fritzsons Jr. et al., 1982, Soares, 1987; Fiori, coord., 1989).

Este complexo é constituído por ortogneisses, paragneisses, migmatitos diversos, com intercalações de quartzitos micáceos, anfibolitos e rochas carbonatadas. Atingiu a fácies anfibolito (Ebert, op. cit.; Schöll et al., 1980; Soares, op. cit.) com fenômenos de retrometamorfismo e xistificação. Por outro lado, Althoff (1989) obteve condições de metamorfismo na fácies xisto verde para as rochas gnáissicas do Antiforme do Setuva, considerando os granitos gnaisses como rochas intrusivas deformadas e os migmatitos formados por injeção granítica e não associados à fusão parcial *in situ*.

Estas rochas sofreram intenso tectonismo com reorientação, achatamento e estiramento mineral, causado pelos eventos de deformação e transporte tectônicos das unidades sobrejacentes (grupos Setuva e Açungui) gerando zonas de milonito-gnaisses até ultramilonitos (Soares, 1987; Fiori, coord., 1985b, 1989).

Grupo Setuva

O Grupo Setuva, corresponde à Formação Setuva de Bigarella e Salamuni (1958 - designação original do termo "Setuva"), ou à Formação Setuva de Marini (1970), em ambos os casos com exclusão das rochas gnáissicas. Corresponde também ao termo Setuva de Ebert (1971); à Formação Betara de Popp et al. (1979), à Formação Água Clara de Marini (op. cit.), revista por Pontes (1982), da mesma forma também denominada de Grupo Setuva por Fritzsons Jr. et al. (1982); de Grupo Setuva por Chiodi Filho (1984), excluída a Formação Itaiacoca, e como Complexo Água Clara - Perau - Setuva (Soares op. cit.).

As litologias deste grupo compreendem uma sequência vulcano-sedimentar desenvolvida no Proterozóico Médio, polideformada e metamorfoseada nas zonas da biotita e granada, atingindo localmente a zona de estauroлита (Fritzsons Jr. et al., op. cit.; Pontes, op. cit.; Chiodi Filho, op. cit. e Soares, op. cit.).

Fritzsos Jr. et al. (op. cit.) subdividiram este grupo em duas formações: Perau e Água Clara.

A Formação Perau ou Sequência Perau de Takahaski et al. (1981), ocorre na região da Mina do Perau e numa estreita faixa bordejando a Falha da Lancinha a noroeste (Piekarz, 1981). Corresponde a um consistente empilhamento litológico com quartzitos e quartzo-xistos basais, uma unidade carbonática intermediária com níveis de metavulcânicas fêlsicas e máficas, xistos carbonosos e metacherts, ambas sobrepostas por uma unidade terrigena superior (granada-moscovita-biotita-quartzo xistos). De acordo com estes autores, representaria um empilhamento estratigráfico original.

A Formação Água Clara ocorre principalmente bordejando o Complexo Granítico Três Córregos. É subdividida por Pontes (1982) em duas fácies: uma carbonática basal e outra vulcano-sedimentar - na porção superior da sequência.

De acordo com Pontes (op. cit.) a fácies carbonática, ou Serrinha, é constituída por um pacote predominantemente carbonático, com intercalações menores de xistos e quartzito formado num paleo-ambiente depocional marinho raso. O mesmo é reconhecido por Schöll (1981). A fácies vulcano-sedimentar, ou São Silvestre, é um conjunto de metapelitos, metapsamitos, rochas carbonáticas e metavulcânicas intermediárias a básicas, destacando-se os metatufitos básicos. Segundo o mesmo autor, esta sequência foi depositada em ambiente marinho profundo, dada a freqüente presença de níveis manganésíferos.

Por outro lado (Soares (1982) preferiu adotar o termo de "Complexo" para este grupo, no sentido de Salop (1982), devido à intensa tectônica de lenticularização, dobramentos deitados e reempilhamentos que sofrerem estas rochas. Este autor reconheceu cinco associações metassedimentares e metavulcano-sedimentares. Uma, derivadas de arenitos litorâneos gradando para pelitos plataformais. Duas associações carbonáticas ricas em manganês, desenvolvidas em plataforma profunda. Uma associação de caráter metavulcano-sedimentar com tufos, vulcânicas andesíticas a basálticas, calcários impuros e camadas de metacherts ferríferos a manganésíferos e, finalmente, uma associação terrigena imatura, correspondente a uma sequência retrogradacional de arenitos de leques submarinhos gradando para turbiditos.

As rochas deste grupo foram submetidas a um processo de dobramento isoclinal fechado com transposição dos planos (Pontes, 1982; Fritzsos Jr. et al., 1982), relacionado a um cisalhamento dúctil de baixo ângulo (Soares, 1987). Este processo se desenvolveu em condições termodinâmicas nas zonas da biotita e granada, até estaurolita, de acordo com as paragêneses minerais determinadas por Piekarz (1981), Pontes (op. cit.), Jica (1984) e Reis Neto e Soares (1987), sintetizados por Soares (op. cit.).

Ebert et al. (1988) em trabalho de detalhe na região da mina do Perau, determinaram que os elementos geométricos relacionados a esta deformação refletem uma intensa deformação não coaxial, progressiva e heterogênea, com os vetores de cisalhamento simples atuando no plano sub-horizontal. O transporte tectônico, responsável pela aloctomia dos blocos, teria direção NE-SW, obtido através de lineações de estiramento.

Para Soares (op. cit.), as rochas deste grupo se formaram numa bacia retroarco do Proterozóico Médio, sobre uma crosta continental atenuada. O principal evento de deformação, foi gerado a expensa de uma colisão arco-continente, com direção de transporte de NW para SE.

Os contatos superiores com as rochas do Grupo Açungui são tectônicos e concordantes, dados pela tectônica de cavalgamento rúptil-dúctil do ciclo subsequente ("Ciclo Açungui - Fiori, coordenador, 1985b, Soares, 1987) que retrometamorfisou as rochas do Grupo Setuva (Soares, op. cit.).

Diversos corpos de metabasitos, na forma de soleiras, intrudem as rochas deste grupo, bem como a base do Grupo Açungui (Fritzsos Jr. et al., 1982, Soares, op. cit.). De acordo com o segundo autor, este magmatismo relaciona-se a um evento de estiramento litosférico, após o principal estágio de deformação do Grupo Setuva e contemporâneo ao início da sedimentação do Grupo Açungui.

Grupo Açungui

O termo "Assunguy" foi utilizado originalmente por Derby (1978), cabendo a Oliveira (1916) a designação de Série Assunguy. Na década de 50 foram individualizadas as formações Capiru e Votuverava (Bigarella e Salamuni, 1956, 58) e, Itaiacoca (Almeida, 1956), que seriam as integrantes desta unidade. A substituição do termo "Série por Grupo" foi feita por Marini et al. (1967), que compreendia, até então, as formações Setuva, Capiru, Votuverava, Itaiacoca e Água Clara. A Formação Setuva foi retirada do Grupo Açungui por Marini (1970), que a considerou como uma unidade mais antiga, compondo o seu embasamento. A Formação Água Clara foi considerada basal no Grupo Açungui por Pontes (1982), cabendo a Fritzsos Jr. et al. (1982) a sua retirada deste grupo, incluindo-a no Grupo Setuva, descrito no item anterior.

Deste modo, o Grupo Açungui referendado em muitos trabalhos recentes nesta faixa (Fritzsos Jr. et al., op. cit., Soares, 1987, Fiori, coord., 1985b, 1987, 1989), é constituído pela Formação Capiru, situada a SE da Falha da Lancinha; pela Formação Votuverava, situada entre a falha da Lancinha e o Complexo Granítico Três Córregos; e pela Formação Itaiacoca, situada entre os complexos graníticos Três Córregos e Cunhaporanga.

Soares (op. cit.) utilizou o termo de "complexo" para estas rochas, no mesmo sentido que para as rochas, do Grupo Setuva, sendo constituído por várias associações com empilhamento tectônico em três sinclínios: Capiru, Votuverava e Itaiacoca. Para este autor, as rochas deste complexo (Complexo Votuverava Capiru-Itaiacoca) se desenvolveram numa bacia (Bacia Açungui) de idade Proterozóica Superior, sobre uma margem continental aquecida, após o resfriamento conseqüente à colisão arco-continente que deformou o Grupo Setuva. Ocorrem metarenitos, metapelitos, metarritmitos, metacalcários, metadolomitos, originários de diversos sistemas deposicionais como fluviais, litorâneos, de plataforma carbonática, de plataforma terrígena, etc. Uma única associação metavulcânica é descrita no Sinclínio Itaiacoca, correspondendo a derrames de composição básica, possivelmente shoshonítica (Trein, et al., 1985).

De acordo com Soares (1987) e Fiori (coord., 1985b, 87 e 89), a principal característica destas rochas é a intensa deformação por cisalhamento rúptil-dúctil, de baixo ângulo, com intenso transporte ao longo dos planos. Este fenômeno lenticularizou e reempilhou as unidades num sistema de cavalgamento associado a metamorfismo na fácies xisto verde, zonas da clorita e início da biotita.

Esta tectônica de cavalgamento foi intensamente estudada por Fiori (op. cit.), especialmente nas regiões de abrangência das formações Votuverava e Capiru. Este autor identificou várias falhas de cavalgamento, (Fig. 03) que causaram uma compartimentação tectônica dos grupos Setuva e Açungui, empilhando blocos ou fatias tectônicas num modelo estrutural do tipo duplex.

Segundo Soares (op. cit.) a direção do transporte tectônico é para sudoeste, em resposta à colisão continente-arco-continente no Proterozóico Superior.

Quanto à aloctonia das rochas Setuva e Açungui, menção deve ser dada a Ebert (1971), que foi o primeiro a aventar uma estruturação em "nappes" para a região. Para ele, as unidades principais do Grupo Açungui (Setuva, Capiru e Votuverava, no caso) deveriam ser chamadas de "nappes" em vez de formações.

Fiori (op. cit.) ainda relaciona mais dois sistemas de deformação superimpostos nas rochas do Grupo Açungui. O primeiro sistema está representado por dobramento das estruturas anteriormente formadas, principalmente a S1 e as falhas de cavalgamento, com eixos NE-SW. O segundo sistema corresponde uma tectônica transcorrente, com a formação de grandes falhas que ocorrem generalizadamente no escudo paranaense. O principal exemplo é a falha transcorrente da Lancinha.

Fiori et al. coord., (1989) subdividiram as formações Capiru e Votuverava em seqüências estratigráficas no sentido de Sloss et al. (1949, apud Fiori, op. cit.). Com relação à Formação Votuverava, importante neste trabalho por estar em contato com o Granito Passa Três, estes autores a subdividiram nas seqüências Saivá, Coloninha e Bromado. Na região do Granito Passa Três ocorrem a Seqüência Coloninha a sul da Falha da Boa Vista, constituída por filitos e metarritmitos, prováveis turbiditos, e a Seqüência Bromado, a norte da Falha do Cerne, constituída por um conjunto de metarritmitos, filitos e metaconglomerados.

Tectônica Transcorrente

Trata-se de um sistema de falhamentos transcorrentes, com aproximadamente 970 km de extensão, denominado por Sadowski e Motidome (1987, apud Fassbinder, 1990) de Sistema de Falhamento Cubatão. Estende desde o estado do Rio de Janeiro (Falha de Além Paraíba), passando por São Paulo (Falha de Cubatão, até desaparecer sob os sedimentos da Bacia do Paraná. No Estado do Paraná é conhecida como Falha da Lancinha.

As feições estruturais da Falha da Lancinha, foram descritas por (Fiori, coord., 1984; Soares, 1987; Fassbinder, op. cit.), e Maack (1947). Uma ótima síntese acerca da evolução dos conhecimentos desta falha foi realizada por Fassbinder (op. cit.).

Neste trabalho, este autor define dois eventos principais e distintos na evolução do Sistema Transcorrente Cubatão. O primeiro, designado de "Evento Cubatão", que atuou em rochas gnáissicas, e apresenta deformação essencialmente dúctil, associado a metamorfismo de fácies anfíbolito. As rochas deformadas neste evento ocorrem principalmente nos estados de São Paulo (na Falha de Cubatão) e Rio de Janeiro (na Falha Além Paraíba). As ocorrências no Estado do Paraná são mais restritas, sendo identificadas por Fiori (op. cit.) e Fassbinder (op. cit.) no Núcleo do Betara.

Fassbinder (op. cit.) sugeriu que este evento ocorreu em tempos pré-brasileiros, talvez transamazônicos, tendo como suporte os dados geocronológicos obtidos por Campanha (1980, apud Fassbinder, op. cit.) na Falha Além Paraíba, os quais forneceram idades de 1923 ± 60 m.a. pelo método Rb/Sr. Por outro lado, não é conclusiva a sua alocação nestas idades, pois, como mesmo comenta Fassbinder, a reavaliação dos dados geocronológicos feita por Campanha (1981), levou este autor a concluir uma idade brasileira para o referido lineamento.

O segundo evento, (1990) denominado de "Evento Lancinha", corresponde à reativação rúptil-dúctil a rúptil, em tempos brasileiros, dos antigos planos de fraqueza do Evento Cubatão levando à deformação dos metassedimentos do Grupo Açungui em nível estrutural médio. Deste modo, se desenvolveria após o evento de aloctonia deste grupo.

Este episódio, muito bem impresso na Faixa Apiai, desenvolveu estruturas secundárias nas rochas Açungui, em forma de dobras escalonadas, falhas sintéticas, antitéticas, fraturas Y, X e T, entre outras, demonstradas nos trabalhos de Fiori (coord., 1984), Góis et al. (1985), Soares (1987) e Fassbinder (op. cit.). Fiori (op. cit.) sugeriu a intrusão de alguns granitos (Cerne, Piedade, Morro Grande e Varginha) em estruturas antiforrais do tipo dobra escalonada, desenvolvida neste evento. Este autor mediu um deslocamento dextrógiro para a Falha da Lancinha da ordem de 114 km, enquanto Fassbinder (op. cit.) obteve valores de 142 km. De acordo com este último, o Evento Cubatão teria deslocamento dextrógiro na ordem de 346 km.

Esta tectônica transcorrente continuou ativa em tempos pós-proterozóicos. Fassbinder (op. cit.) descreve uma segunda reativação do sistema com a deformação dos sedimentos da Formação Camarinha (eo-paleozóica). Segue-se uma seqüência de reativações na Bacia do Paraná identificadas por Zalán et al. (1986, 1987), bem como ativações mesozóicas ou pós-mesozóicas, caracterizadas por deslocamentos dos diques de diabásio mesozóicos, já reconhecidos por Marini (1970).

O escudo paranaense foi compartimentado por esta tectônica em fatias alóctones entre si (Góis et al., 1985) que, somando-se às falhas de empurrão do Evento de Cavalgamento Açungui, determinadas por Fiori (coord., 1985b, 1987 e 1989), resultou numa compartimentação de blocos tectônicos alóctones, cartografada por Fiori (coord., 1989 - Fig. 03). Nesta configuração, o Granito Passa Três situa-se no bloco tectônico VIIIID, limitado a norte pela Falha do Cerne, sintética da Lancinha, e a sul pela Falha da Boa Vista, constituído por rochas da Formação Água Clara (Fiori, op. cit.).

Várias hipóteses genéticas foram propostas para o entendimento do Sistema de Falhamento Cubatão. Sadowski (1983, apud Fassbinder, 1990) sugeriu tratar-se de uma antiga zona de falha transformante ou um efeito de zona de subducção oblíqua. Szatmari et al. (1984, apud Fassbinder, op. cit.) propuseram vinculação com o rifteamento sul atlântico. Hasui (1986) sugeriu que o Lineamento Lancinha representa uma sutura formada pelo cavalgamento do Bloco Vitória sobre o Bloco São Paulo, de sul para norte. Finalmente, Soares (1987) vincula este sistema de transcorrência ao estágio final de colisão continental no Pré-Cambriano Superior.

De acordo com Fiori (op. cit.) e Soares (op. cit.), este sistema transcorrente controlou a formação da Sequência Antinha, Formação Camarinha e Grupo Castro no Estado do Paraná, descritas a seguir e com algumas divergências.

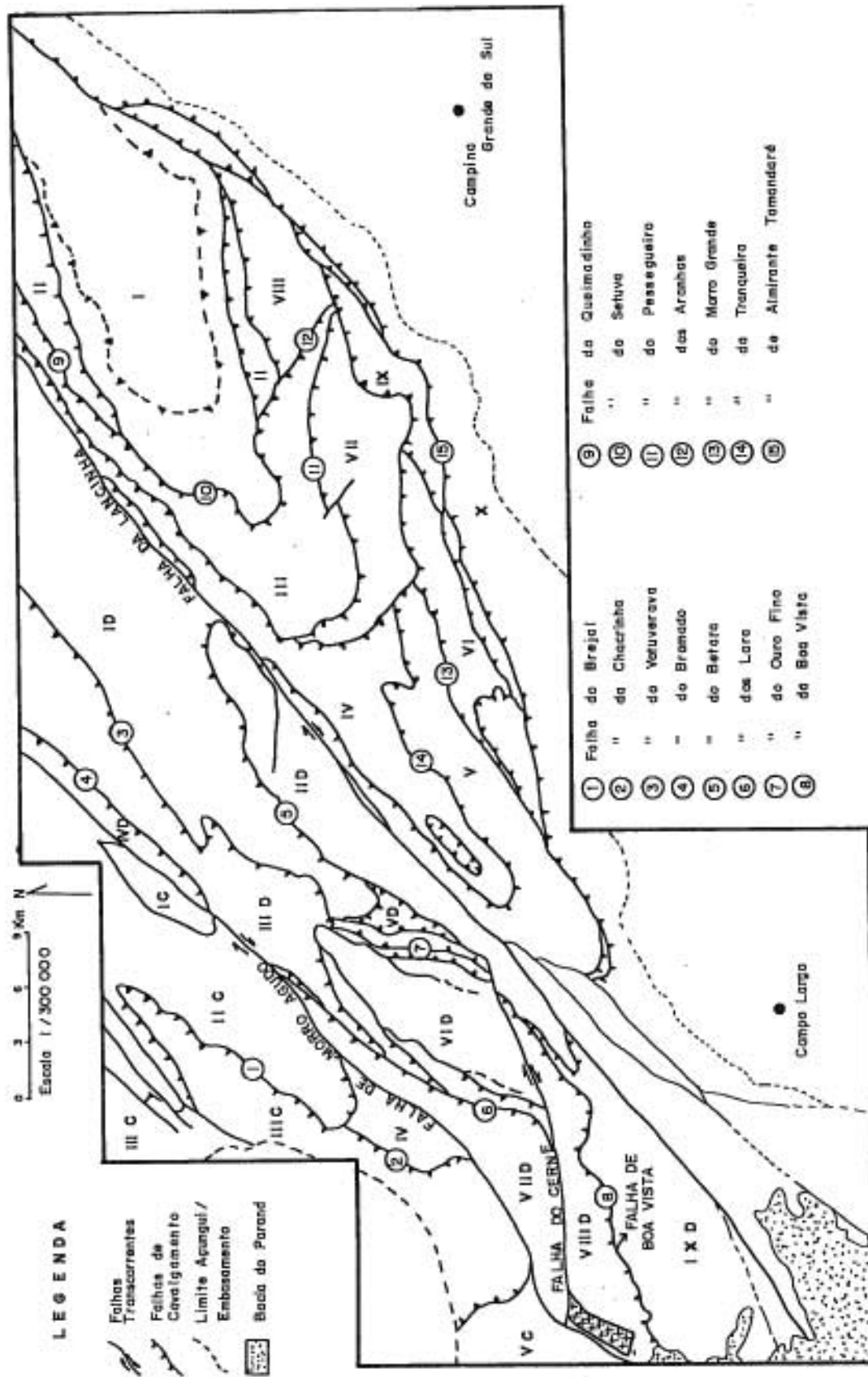


Figura 03 - Compartimentação tectônica do escudo paranaense devido às falhas de cavaleamento e transcorrentes. (Compilado de Fiori, coord., 1989).

A

Formação Camarinha, Seqüência Antinha e Grupo Castro

Estas unidades não apresentam a deformação resultante da tectônica de empurrão sofrida pelo Grupo Açungui, mas somente da tectônica transcorrente, estando o empilhamento estratigráfico original preservado (Soares, 1987).

A Formação Camarinha foi descrita por Muratori et al. (1967) e Popp (1972), sendo constituída por uma seqüência litológica com conglomerados imaturos que gradam a siltitos e lamitos vermelhos. Para o topo ocorrem lamitos, siltitos e conglomerados lamíticos polimiticos. Soares (op. cit.) descreve um ambiente de sedimentação de leques aluviais a deltaicos e litorâneos, e metamorfismo incipiente associado à foliação ardosiana nos pelitos.

A Seqüência Antinha foi descrita por Dias e Salazar Jr. (1987), sendo constituída por um pacote basal de corpos areníticos gradando para pelitos. As estruturas sedimentares são preservadas, indicando depósitos fluviais anastomosados. A parte superior é constituída por pelitos cinzentos com delgados níveis e lentes de arenito fino, de ambiente marinho raso. O metamorfismo é incipiente a fraco, com sericita e clorita na foliação do tipo ardosiana.

Para Soares (op. cit.), estas seqüências estão assentadas em discordância angular e metamórfica sobre as bacias Açungui (Camarinha) e Setuva (Antinha), sendo deformadas em evento transcorrente compressivo (Evento Lancinha). Caracteriza-as como bacias retrogradacionais, típicas de bacia flexural, podendo ser interpretadas como bacias molássicas de "foreland".

Fiori (coord., 1987), no entanto, caracteriza a Formação Camarinha como uma bacia do tipo transtensional ("pull apart basin"), relacionada ao movimento transcorrente Lancinha, tendo se formado nos últimos estágios de desenvolvimento da transcorrência.

No caso da Seqüência Antinha, estes autores a enquadram como integrante do Grupo Açungui, elevando-a ao nível de Formação, estando, deste modo, deformada pela tectônica de cavalgamento do Ciclo Açungui.

A fase tensional do Sistema de Transcorrência Lancinha, Soares (1987) enquadra a formação do Grupo Castro como uma bacia do tipo transtensional. O Grupo Castro foi definido por Trein e Fuck (1967) como um conjunto vulcano-sedimentar, constituído por conglomerados, arenitos, siltitos, vulcânicas félsicas e raramente básicas e intermediárias, não metamórficas e fracamente deformadas.

Arioli (1981) estudou em maior detalhe a área vulcânica, destacando andesitos de derrames subaquosos e riolitos de centros e domos vulcânicos subaéreos. Este último, capeando o pacote sedimentar.

Após a formação do Grupo Castro no eo-paleozóico, a área foi estabilizada, tornando-se um bacia cratônica, sendo recoberta por sedimentos da Bacia do Paraná, a partir do Siluriano ou Devoniano Inferior.

No Mesozoico, a área foi reativada tectonicamente por um dos fenômenos mais importantes desenvolvidos na Plataforma Brasileira, ou seja, a Reativação Wealdeniana (Almeida, 1967). A área de ocorrência do Granito Passa Três esta sob influência do Arco de Ponta Grossa, associado a um importante foco de vulcanismo, representado por denso enxame de diques de diabásio e diferenciados (diorito, diorito pórfiro, quartzo diorito) de direção NW-SE.

Rochas Graníticas

O magmatismo ácido granitoide é uma das principais feições do Ciclo Brasileiro no sudeste do Brasil, caracterizando-se tanto por uma grande variedade de tipos petrográficos quanto pela significativa distribuição areal. No Estado do Paraná ocorrem com abundância tanto na Faixa de Dobramento da Província Mantiqueira (Hasui e Oliveira, 1984), quanto nos terrenos granulíticos-migmatíticos mais antigos da região costeira (Maciço de Joinville - Soares, 1988).

São muitos os trabalhos acerca dos granitos que ocorrem no Estado do Paraná - geocronológicos, petrogenéticos, metalogenéticos, de enquadramento - que, somados, conduzem a uma melhor compreensão do tema.

Em 1978, Derby já citava a existência de granitos porfiriticos cortando os metassedimentos Açungui. Nesta fase histórica destacam-se os trabalhos de Oliveira (1925, 27), Carvalho e Pinto (1937), Oliveira e Leonardos (1943), Maack (1943) e Almeida (1957). As citações bibliográficas deste parágrafo não foram reproduzidas nas referências bibliográficas. Podem ser encontradas em Fuck et al. (1967).

Na década de 60 aparecem os trabalhos de Maack (1961), caracterizando os granitos da Serra do Mar (no Maciço de Joinville) como de origem alcalina e subalcalina, e o de Fuck et al. (op. cit.). No segundo é apresentada uma síntese sobre algumas rochas graníticas do Paraná, classificando-as em sincinemáticas, tardicinemáticas e pós-cinemáticas, de acordo com a classificação de Marmo (1955, apud Fuck et al., op. cit.).

No início da década de 70, Cordani e Kawashita (1971) dataram, pelo método geocronológico Rb/Sr, alguns granitos do Vale do Ribeira nos estados do Paraná e São Paulo, obtendo uma isócrona de referência de 608 ± 48 m.a. para os granitos sin a tarditectônicos, e uma isócrona de 541 ± 11 m.a. para os granitos pós-tectônicos. Estes autores sugeriram que os granitos pós-tectônicos se formaram a partir do material do próprio cinturão orogênico.

Wernick e Gomes (1974) mostraram que o alojamento de muitos corpos graníticos teria sido controlado por estruturas dobradas, ocupando frequentemente núcleos antiformais, áreas propícias ao alojamento de corpos tardi a pós-magnáticos, bem como para o surgimento de fenômenos metassomáticos. Estes fenômenos foram confirmados por Wernick e Penalva (1978), ao estudarem os granitos Itaoca (SP) e Três Córregos (PR). Para o Três Córregos, caracterizaram este processo como predominantemente sódico, interpretando-o como um autometassomatismo ligado às soluções residuais do próprio magma. A exceção dos álcalis, este metassomatismo não afetou de modo significativo o seu quimismo. Estes autores com base na razão Rb/Sr e razão inicial Sr86/87, sugeriram profundidade de geração do magma na ordem de 30 km, com origem mista de fusão crustal com contribuição mantélica.

Com referência à colocação dos granitos em estruturas antiforrais, Fiori (coord., 1984) enquadra os granitos do Cerne, Piedade, Morro Grande e Varginha, como colocados em antiforrais do tipo dobra de arrasto, associados à Transcorrência Lancinha.

Hasui et al. (1978) apresentaram uma caracterização dos corpos graníticos dos estados do Paraná e São Paulo, subdividindo-os em cinco fácies: Fácies Migmatítica (ultrametamórficos evoluídos), Fácies Cantareira, com idades de 608 ± 48 m.a., correspondendo a granito-gnaisses de grandes variedades composicionais, Fácies Graciosa, correspondendo a granitos alcalinos (concentrados no Maciço de Joinville), Fácies Itu, granitos intrusivos, alóctones e pós-tectônicos (ex. granitos Rio Abaixo e Cerne) e, Fácies Granofírica, como pequenos corpos associados à Falha de Cubatão.

Wernick e Penalva (1978) fazem uma análise sistemática das rochas graníticas do sul e sudeste do Brasil (SP, PR, SC e RS) em função da compartimentação tectônica do Sistema de Dobramento Ribeira de Hasui et al. (1975). Para a Faixa de Dobramento Apiai, definem intrusões tarditectônicas precoces com idades de 600 m.a. (p. ex. Batólito Três Córregos), cortados e rodeados por intrusões pós-tectônicas com idades em torno de 540 m.a. (p. ex. granitos do Cerne e Rio Abaixo).

Os trabalhos mais recentes (a partir de 1980) acerca destas rochas e que englobam o Paraná, mostram fortes conotações petrogenéticas, metalogenéticas e de tentativas de enquadramento geotectônico. Os de cunho regional são os de Wernick (1982), Kaul (1984), Issler e Freire (1985), Soares (1987) e Chiodi Filho et al. (1989), e aqueles restritos a determinados corpos, são os de Pinto Coelho (1986), Chiodi Filho et al. (1987), Santos et al. (1988), Siedlecki e Pinto Coelho (1990) e Pinto Coelho e Siedlecki (1990).

Wernick (op. cit.) caracterizou duas linhagens de granitoides brasileiros para o sul do Brasil, enfatizando suas características polifásicas. A primeira seria de derivação crustal com estruturas migmatíticas e composição cálcio-alcalina, equivalente à Fácies Migmatítica de Hasui et al. (1978), com idades em torno de 650 m.a. A segunda seria de granitos resultantes da interação manto-crosta: uma de granitos porfiróides cálcio-alcalinos (p. ex. Granito Três Córregos) e charnoquíticos com idades de 600 a 550 m.a. e outra, de granitos magmáticos típicos, com texturas equigranulares, inequigranulares, porfiriticos, aplíticos, pegmatíticos e granofíricos, com quimismo cálcio-alcalino, subalcalino e alcalino e com idades em torno de 550 a 450 m.a. (p. ex. granitos Rio Abaixo e Cerne).

Kaul (1984) e Issler e Freire (1985) enquadram as rochas graníticas da Faixa Apiai e do Maciço Joinville em duas grandes suites: Orogênica e Anorogênica. A Suite Orogênica de quimismo cálcio-alcalino, contida especialmente na Faixa Arco-Fossa Apiai-Tijucas (Issler e Freire, op. cit.), forneceu idade K/Ar entre 500 m.a. (Granito Itaoca) e 640 ± 14 m.a. (Granito Três Córregos - PR), fazendo parte, além destes, os corpos Cunhaporanga, Morro Grande, Varginha, entre outros. A Suite Anorogênica (Suite Serra do Mar) seria desenvolvida em processos de riftamento continental, com quimismo alcalino a peralcalino e nitido controle estrutural por sistema de falhas. São especializados em Sn, Mo, Nb e F e possuem idades em torno de 500 m.a. (ex. granitos Graciosa, Piedade, Rio Abaixo, entre outros).

Soares e Góis (1987) discordam do modelo proposto por Kaul (op. cit.) e Issler e Freire (op. cit.), argumentando que granitos de tendência alcalina, como os granitos Piedade, Cerne e Passa Três, associam-se a um mesmo intervalo de idade e condicionamento tectônico que os da Suite Orogênica, sendo apenas tardios.

Neste particular, Soares (1987, 1988) apresenta um ensaio de enquadramento geotectônico dos granitos brasileiros do Estado do Paraná, de acordo com o seu modelo de tectônica colisional, envolvendo colisão continente-arco-continente no Proterozóico Superior. Nesta proposta, as dorsais batolíticas Cunhaporanga e Três Córregos se formariam contemporaneamente a tectônica de cavalgamento que deformou o Grupo Açungui entre 850-750 m.a. Em torno de 660 m.a., com a litosfera já espessada tectonicamente, este autor sugere a geração de magmas monzograníticos de derivação crustal, compondo os corpos tardiorogênicos. No estágio final de colisão, com o desenvolvimento extensivo de transcorrências, haveria a recorrência de "stocks" graníticos alongados (Passa Três, por ex.), de natureza alcalina, com idade em torno de 550 m.a. Por fim, em fase pós-colisional, e num ambiente transtensional, haveria a formação de granitos pós-orogênicos alcalinos (tipo Carambei - Pinto Coelho, 1986) com características intraplacas.

Através de ajustamentos do modelo de Soares (1987, 1988) e de resultados de exploração mineral obtidos por Chiodi Filho et al. (1987) e Santos et al. (1988), Chiodi Filho et al. (1989) elaboram um novo ensaio de enquadramento geotectônico para os granitos do Estado do Paraná, aplicando o modelo de Harris et al. (1986).

Neste enquadramento, são definidos quatro conjuntos de granitóides, de acordo com sua evolução numa tectônica colisional continente-arco-continente. O primeiro grupo seria de granitos mantélicos pré-colisionais cálcio-alcalinos, correspondendo às raízes dos arcos magmáticos alçados tectonicamente, tendo provavelmente como exemplos os granitos Três Córregos e Cunhaporanga. Estimam uma idade entre 800-700 m.a. para estes corpos.

2.1.3 - Estratigrafia

De acordo com os vários trabalhos dos diversos autores citados no item anterior, pode-se ordenar a seguinte coluna estratigráfica, também representada no Mapa Geológico do Estado do Paraná - Curitiba, DNPM/MINEROPAR (1989), escala 1:650.000.

- Cenozóico - sedimentos inconsolidados
- Paleozóico - sedimentos da Bacia do Paraná
- Proterozóico Superior/Eopaleozóico:
 - Intrusivas alcalinas
 - Grupo Castro
 - Formação Camarinha
 - Granitos
 - Grupo Açungui (Formação Capiru, Formação Votuverava, Formação Itaiacoca, Sequência Antinha)
- Proterozóico Médio - Grupo Setuva (Formação Perau, Formação Água Clara)
- Proterozóico Médio Inferior - Arqueano:
 - Complexo Pré-Setuva
 - Complexo Costeiro (Maciço Joinville)

2.1.4 - Geoquímica/Geofísica Regional

No ano de 1985/86, foram desenvolvidos pela MINEROPAR em toda a região compreendida entre Adrianópolis e Cerro Azul (UTM-EW/683-702 e NS/7270-7254) trabalhos de mapeamento geológico na escala 1:25.000 e simultaneamente levantamento geoquímico de sedimento de corrente e concentrado de bateia. Os dados referentes a estes trabalhos estão relacionados no item "Trabalhos Realizados".

Em relação à geofísica regional, foram realizados dois trabalhos, o primeiro em 1971, aerocintilométrico - contagem total, denominado Projeto Ponta Grossa - Criciúma, realizado por convênio entre CPRM e a Companhia Brasileira de Geofísica. Deste trabalho foram identificadas 445 anomalias, porém nenhuma dentro ou próxima à área deste alvará. O segundo trabalho é o Projeto Serra do Mar Sul, realizado em 1978 pela Geofoto S/A, por solicitação da CPRM, e teve por finalidade o aerolevantamento gamaespectométrico e magnético, numa área situada ao longo da porção leste dos estados do Paraná e Santa Catarina. Este trabalho cobriu uma superfície de 50.000 km², envolvendo 53.294 km de voo. Devido aos grandes desníveis topográficos, houve grande dificuldade na construção dos fotomosaicos que permitissem a orientação, resultando em distorções entre as linhas de voo e as cartas topográficas. A identificação deste projeto está sendo realizada pela MINEROPAR utilizando-se novas técnicas para a correção destas distorções.

2.1.5 - Outras Pesquisas Realizadas na Região/Ocorrências Mineraias

Na região em questão várias foram as áreas onde a MINEROPAR desenvolveu pesquisas para fluorita e metais base. Na década de oitenta a NUCLEBRÁS e a CPRM, também trabalharam nesta porção do Vale do Ribeira. Atualmente a Mineração Nossa Senhora do Carmo lavra fluorita no local denominado de Volta Grande e Mato Preto.

Várias são as ocorrências mineraias conhecidas na região, porém as que mais se destacam são a barita do Morro do Chapéu e a suite carbonatítica da Barra do Itapirapuã.

3 - METODOLOGIA

A etapa ora concluída envolveu atividades de fotointerpretação, mapeamento geológico, trabalhos geoquímicos, levantamentos topográficos, amostragem litoquímica, sondagens rotativa, análises químicas, cálculos de cubagem, estudos de caracterização tecnológica e pré-viabilidade econômica, obedecendo a seguinte metodologia:

- Fotointerpretação:

Efetuada sobre uma área aproximada de 60 km², utilizando-se fotografias aéreas do ITCF-1980, na escala 1:25.000, executadas pela AEROSUL S/A.

- Mapeamento Geológico:

Dentro da área do alvará o mapeamento geológico foi realizado em dois níveis: semidetalhe e detalhe. A cartografia geológica de semidetalhe foi realizada em escala 1:25.000, com o objetivo de caracterizá-la estruturalmente e definir os principais litotipos.

Os dados foram obtidos através de perfis realizados em estradas e drenagens.

O mapeamento geológico de detalhe foi realizado na escala 1:5.000, restrito às faixas portadoras de rochas carbonáticas, identificadas em etapas anteriores.

- Trabalhos Geoquímicos:

Em toda a região foi realizado pela MINEROPAR um levantamento geoquímico de sedimento de corrente e concentrado de bateia visando chumbo e fluorita respectivamente.

Para fluorita foi feito um estudo orientativo sobre a ocorrência do Braz, que determinou: métodos de análise - flúor por eletrodo de íon específico após um ataque de HCl 0,1N na fração não magnética dos concentrados de fundo de bateia.

Volume inicial: 20 litros de cascalho ativo de corrente.

Bacia de captação: 3-5 km².

Para chumbo optou-se por aproveitar os resultados obtidos no estudo orientativo executado pela CPRM (Projeto Geoquímica no Vale do Ribeira - Vol. V) que estabeleceu:

Amostragem de sedimento de leito ativo de drenagem, com amostras compostas.

Método de análise: espectrometria de absorção e ataque por HNO₃ concentrado a quente.

Fração menor que 80 mesh.

Bacia de captação: menor que 3 km².

- Levantamento Topográfico:

Inicialmente foi materializado o perímetro do alvará no campo, partindo-se da amarração.

Na área em questão foi implantada malha topográfica com o objetivo de orientar o levantamento geológico de detalhe, amostragem litoquímica e locação dos furos de sondagens.

- Amostragem Litoquímica:

A amostragem litoquímica foi realizada nas faixas portadoras de rochas carbonáticas, de modo sempre perpendicular à direção das camadas. As amostras foram coletadas de forma composta, a cada 20 m, tomando-se fragmento de todos os afloramentos existentes nestes intervalos.

- Sondagens:

Os furos de sondagens foram locados de modo a interceptar cada faixa de calcário existente. Foram realizados com uma sonda DIAKORE II e diâmetro NX, por equipe da MINEROPAR.

4 - TRABALHOS REALIZADOS/RESULTADOS OBTIDOS

4.1 - Mapeamento Geológico

4.1.1 - Fase Regional

No ano de 1985/86 foram desenvolvidos em toda a região compreendido entre Adrianópolis e Cerro Azul (UTM-EW-683-702 e NS 7270-7254) trabalhos de mapeamento geológico na escala 1:25 000. O mapa geológico resultante deste trabalho consta no Anexo 01, e o mapa de pontos no Anexo 02.

4.1.2 - Fase Semidetalhe

Os resultados positivos à ocorrência de calcário calcítico na faixa trabalhada a nível regional, conduziram a MINEROPAR a requerer um conjunto de áreas nesta região para a pesquisa deste bem mineral. Foi realizado um mapeamento geológico na escala 1:10.000 com o intuito de detalhar as litofácies carbonáticas, descritas anteriormente (Anexo 02). A seguir foram selecionados 02 perfis (Anexo 04 A e B) onde as litofácies carbonáticas foram amostradas e analisadas (CaO, MgO, Fe₂O₃, Al₂O₃, MnO, insolúvel ao HCl e perda ao rubro) em detalhe. Esta metodologia foi eficaz para diagnosticar faixas de rochas carbonáticas de melhor qualidade para os fins industriais e que se procura.

Para a execução deste serviço foram executadas as seguintes atividades:

- Seleção de perfil transversal à direção das camadas.
- Amostragem detalhada (cada 10 m) nas litologias carbonáticas totalizando 48 amostras analisadas (Anexo 04 A e B).

- As amostras foram moídas a -80 mesh no laboratório da MINEROPAR e enviadas ao TECPAR - Instituto de Tecnologia do Paraná, para serem analisados os seguintes elementos: perda ao rubro, insolúvel ao HCl, Fe₂O₃, Al₂O₃, CaO, MgO e MnO

4.1.3 - Fase Detalhe

A área em questão situa-se no Pré-Cambriano paranaense, na denominada Faixa de Dobramentos Ribeira. O mapeamento litofaciológico, permitiu individualizar as seguintes litofácies, e conforme mostra no Anexo 3.

Para o cálculo de reservas optou-se por um mapa geológico simplificado em escala 1:5.000 (Anexo 05), onde estão identificadas as faixas anômalas, isto é, com melhores teores de CaO e MgO.

- Granito Três Córregos

Granito de granulação grosseira, de cor cinza quando sã e rósea quando alterada, textura profirítica marcada por megacristais de feldspato potássico róseos, imersos em matriz hipidiomórfica de granulação média a grosseira.

Normalmente apresenta orientação evidenciada pelos minerais placóides componentes da matriz e pelo alinhamento, menos evidenciado, dos megacristais de feldspato. Esta orientação é provavelmente, desenvolvida por processos de fluxo magmático.

Efeitos de metamorfismo termal são evidenciados pela presença de megacristais de anfibólio (tremolita-actinolita) em restos de teto de mármore e rochas calcossilicáticas sotopostas a esse maciço.

Aflora na porção noroeste da área, em contato com a litofácies de mármore.

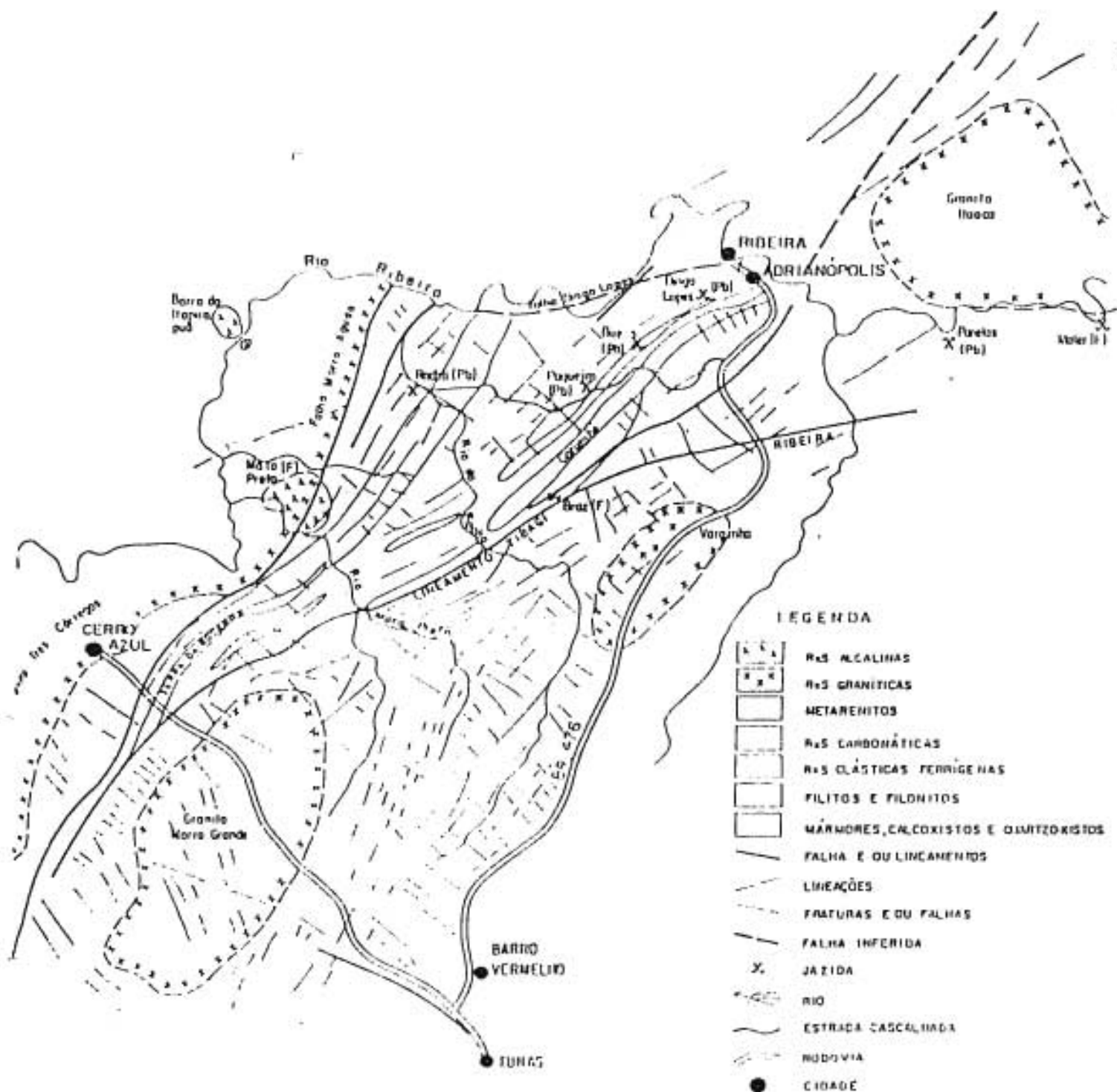
- Litofácies de Mármore e Rochas Calcossilicáticas

Aflora na porção noroeste das áreas pesquisadas, em contato provável por falha com o Granito Três Córregos.

São rochas hornfêlsicas normalmente bandadas, com intercalações de calcoxistos e, localmente com bandas anfibolíticas.

Feições de dobramentos são comuns, com microdobras rompidas, normalmente bem fechadas.

Pelas características litológicas e estruturais, esta litofácies se enquadra na Formação Água Clara.



ESCALA APROX. 1:250.000

Fig. 04

Interpretação à partir de imagem de radar Projeto RADAM Brasil -
Folha SG-22-X-B

- Litofácies Filítica

Rocha de granulação muito fina (siltico-argilosa) Normalmente ocorre alterada em superfície, com cores creme a avermelhada e, mais raramente, cinza-escuro. Possui um desenvolvimento interno de foliação, normalmente marcado por planos milimétricos com desenvolvimento de sericita (sedocidade nos planos) que lhe confere aspecto filítico (partição em folhas milimétricas) e, às vezes, com desenvolvimento de clivagem ardosiana, quando possui granulação mais grosseira (siltico-arenosa).

Intercaladas nesta litofácies ocorrem lentes métricas de calcário impuro e silicatado, bem como corpos arenosos decamétricos, bandados, com presença de mica termal.

Passagens decamétricas com interlaminações milimétricas de ritmitos silticos a siltico arenosos são comuns, normalmente com passagens gradacionais para filitos

Em alguns pontos pode-se observar evidências de metamorfismo termal com presença de mica e granada, normalmente associado a veio de quartzo centimétrico, com mineralizações de pirita, galena, calcopirita e arsenopirita (?).

- Litofácies de Calcário Bandado

Aparentemente é uma variação lateral da fácies de calcário maciço, bem como da intercalação calcário calcoxisto. Trata-se de uma sequência de calcário bandado centimetricamente, bandeamento este marcado pela mudança na coloração (cinza-escuro e cinza-clara) que deve refletir camadas de granulação mais fina e mais grosseira, aliada ainda à diferença de pureza do carbonato.

Não raramente, a presença de veios de quartzo budinados, milimétricos a centimétricos com pirita, é verificada concordantemente ao bandeamento, como também fraturas oblíquas, preenchidas por calcita recristalizada.

- Litofácies de Calcarenito Brechado e Fétido

Constituído de calcário cinza-azulado-escuro, granulação grosseira, extremamente brechado. Os fragmentos de calcarenitos são soldados por veios milimétricos de calcita, de mesma granulação, que recortam a rocha sem padrão definidos.

Uma característica desta litofácies é o odor de enxofre exalado quando se quebra a rocha.

A hipótese aventada para definir essas características foi de a fácies pertencer ou estar associada a zona de falha com brechação, recristalização e hidrotermalismo, normalmente em contato com litofácies correlatas à unidade Carumbé, qual seja, metarenitos ou quartzitos silicificados. Outra hipótese seria a de a mesma pertencer a fácies recifais, porém a se confirmar a presença de organismos associados.

- Litofácies de Quartzitos Silicificados (Serra da Bocanha)

Constitui uma unidade morfológica à parte, formada pela Serra da Bocanha, correlata geologicamente à Serra do Carumbé.

É constituída por bancos métricos de metarenitos esbranquiçados, algo feldspáticos, de granulação média a grosseira (microconglomerático), intercalados com filitos e metassiltitos. Estruturas primárias como laminação plano paralela e galhas de argila, são comuns.

Na área em questão, toda a sequência encontra-se extremamente silicificada, constituindo-se de quartzitos com intercalações de filitos esverdeados. Os níveis quartzíticos possuem granulação grosseira, com porções conglomeráticas, normalmente com alto grau de esfericidade.

A silicificação presente, pode ser creditada ao metamorfismo termal provocado pela intrusão granítica, que suspeita-se não estar muito profunda na área.

Ocorrências de malaquita em filme, são encontradas junto aos bancos quartzíticos, aparentemente sem nenhum interesse econômico. Servem apenas como indicativo da possibilidade de presença de mineralização de chumbo em fácies carbonática, à semelhança de outras ocorrências como Perau e Betara, onde o cobre se faz presente nas porções quartzíticas.

- Litofácies Calcário Maciço

Rocha calcária impura, aspecto maciço, coloração cinza-escura, granulação fina a média, com impurezas conferida por grãos de quartzo disperso na massa calcária.

O acamadamento fica mascarado pelo aspecto maciço, exceção feita quando aparecem clastos milimétricos de rochas quartzosas e xistosas, que aparentemente marcam esta superfície. Pontuações de pirita também se orientam segundo o acamadamento ou ocorrem de forma disseminada.

Nesta litofácies, bem como nas demais de constituição carbonática, é comum o aparecimento de calcita recristalizada, aparentemente controlado pelos fraturamentos.

- Litofácies Calcário Calcoxisto

Esta fácies é o produto da interlaminação centimétrica do calcário e calcoxisto. Aparentemente é uma variação da litofácies de calcário bandado. Numa sequência clástica para a carbonática.

As intercalações terrigenas variam de calcoxisto a filito cinza, podendo ocorrer camadas de calcoxisto intercaladas a sequência. Os calcoxistos possuem granulação grosseira com desenvolvimento de mica visível nos planos de xistosidade e ocorrem normalmente alterados.

- Litofácies de Filito Grafitoso

Trata-se de camada fílica com enriquecimento de matéria carbonosa, que lhe confere cor escura e aspecto sedoso. O nome grafitoso talvez não seja apropriado, porém seguramente é uma fácies com grande contribuição de matéria orgânica e assume grande importância na prospecção, uma vez que se constitui barreira geoquímica (caráter redutor) e física pela impermeabilidade que possui, servindo de trape a prováveis soluções hidrotermais.

Vale ressaltar que as mineralizações de Bueno, Diogo Lopes e Paqueiro encontram-se balizadas por litofácies semelhantes, com a distinção de que nessas localidades encontra-se com forte crenulação e provavelmente esteja associada a planos com evidências de falha.

Nessa camada, é comum a ocorrência de bolsões milimétricos, concordantes, de material ferruginoso (provenientes da alteração da pirita).

- Litofácies de Calcário Brechado

Tem ocorrência restrita na área e é normalmente associada à litofácies calcário calcossilítico constituindo lentes métricas alongadas na estruturação geral.

É semelhante à litofácies de calcarenito brechado, distinguindo-se desta por não apresentar odor de enxofre e possuir granulação fina.

A rocha brechada é um calcário de granulação fina ou maciça, localmente bandado, sendo os fragmentos soldados por calcita recristalizada.

- Litofácies de Filonitos

Ocorrem associados ao falhamento correspondente ao lineamento Tibagi (Fiori et al., 1984) e foram mapeados somente próximo a este. Não se tem maiores informações deste compartimento situado no bloco sudeste da falha.

São rochas filoníticas com intensa transposição e estiramento, bastante cisalhadas, com desenvolvimento de veios de quartzo métricos, budinados e estirados na direção do plano de falha.

Este falhamento possui expressão regional, passando nas proximidades a ocorrência de fluorita do Braz, Rio da Rocha, Mato Preto, Canha e se prolonga para sudoeste com o nome de falha de Morro Agudo.

- Aluviões

Possuem expressão restrita em área e volume, constituindo-se de vários depósitos pequenos (aproximadamente 30 corpos), com dimensões máximas da ordem de 140 metros de comprimento por 40 metros de largura, em média de 400 m² para cada corpo, variando desde 30 até 2.400 m².

4.1.4 - Aspectos Estruturais

A área em questão se posiciona no extremo sudoeste da cunha limitada pelos falhamentos Morro Agudo e Tibagi Ribeira (Fig. 04).

De sudoeste para nordeste o comportamento das camadas pode ser resumido da seguinte forma:

Extremo sudoeste - direções N45E, mergulhos 85-90° com leve predomínio para nordeste - Fig. 05.

Faixa central (Formação Votuverava) - direções N40-60E, mergulhos 60-85° com predomínio para sudeste - Fig. 06.

Sequência Carumbé - direções N30-40E, mergulhos 40-80° com predomínio para sudeste - Fig. 07).

Extremo nordeste (Formação Água Clara) - com direções N75-80E e mergulhos 40-75° com predomínio para noroeste - Fig. 08.

Resumindo, as atitudes predominantes nas unidades são:

Formação Votuverava - N40 60E, 65 90°SE

Sequência Carumbé - N30-40E, 40-80°SE

Formação Água Clara - N75-80E, 40-75°NW

As direções NE menores estão contidas na Sequência Carumbé, as maiores ficam com a Formação Água Clara e a Votuverava fica em posição intermediária.

Os mergulhos mais fortes estão na Formação Votuverava e as da Formação Água Clara e Unidade Carumbé são menores, porém mergulham em quadrantes diferentes.

Nas seções geológicas levantadas, fica patente a verticalização das camadas, e os dobramentos fechados estilo "chevron", não se descartando a existência de pequenos falhamentos longitudinais, limitando as diferentes litofácies, bem como interno a elas.

4.2 - Trabalhos Geoquímicos

Os trabalhos de prospecção geoquímica abrangem área de 220 km² dando como densidade de amostragem: 1 am/km² para sedimento de 1 am/4,4 km² para concentrado.

Do tratamento estatístico para os resultados de chumbo tem-se que a média geométrica fica em 34,1 ppm e o desvio geométrico em 1,9 ppm. A distribuição é log-normal e a média aritmética por população é: 25 ppm na litofácies terrígena; 55 ppm nos carbonatos e 41 ppm nos granitos.

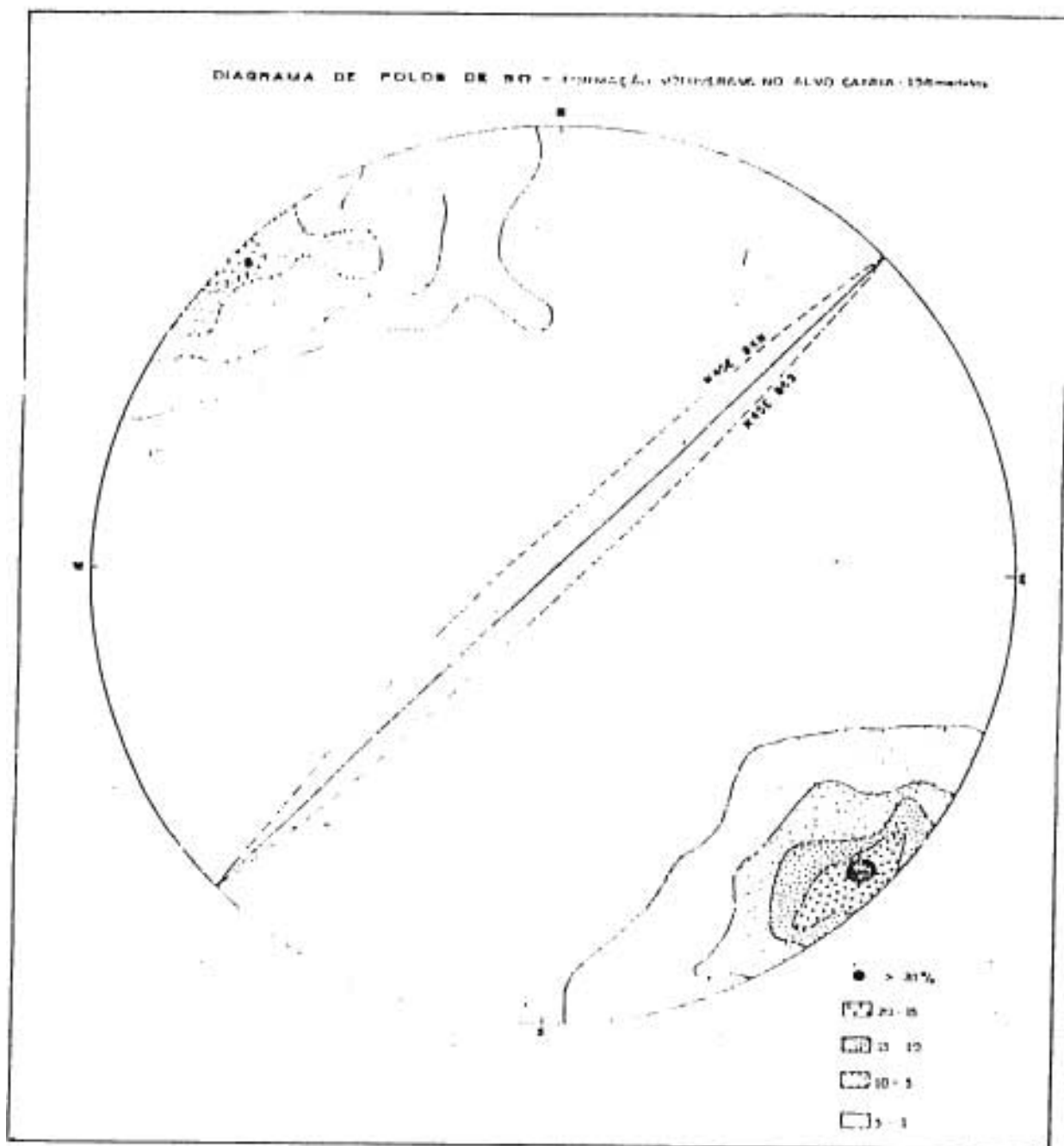


Fig. 05

DIAGRAMA DE POLO DE SO - FORMAÇÃO VOTUVERAVA NO ALVO CANHA

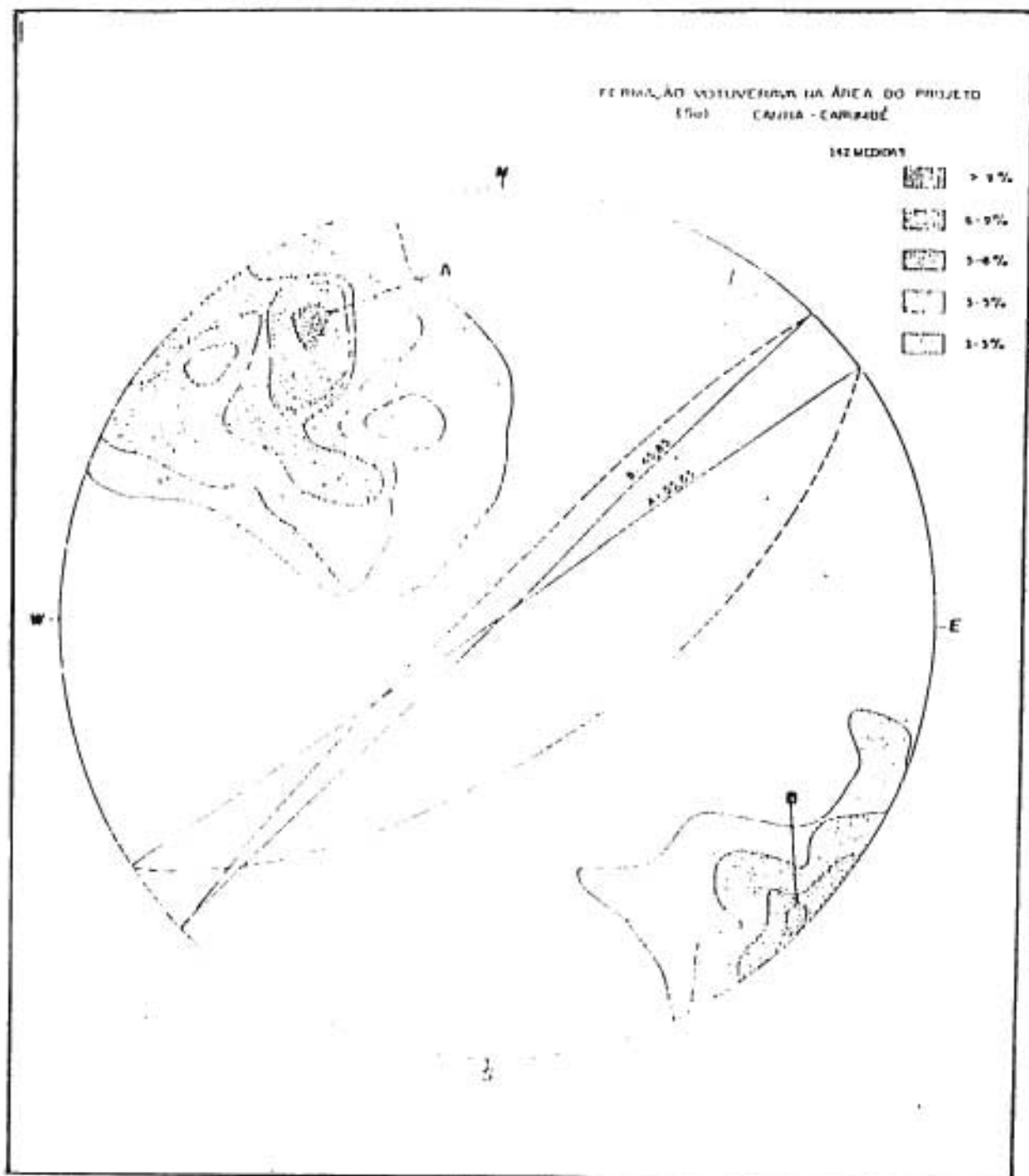


FIG. 06

DIAGRAMA DE POLO DE SO - FORMAÇÃO VOTUVERAVA

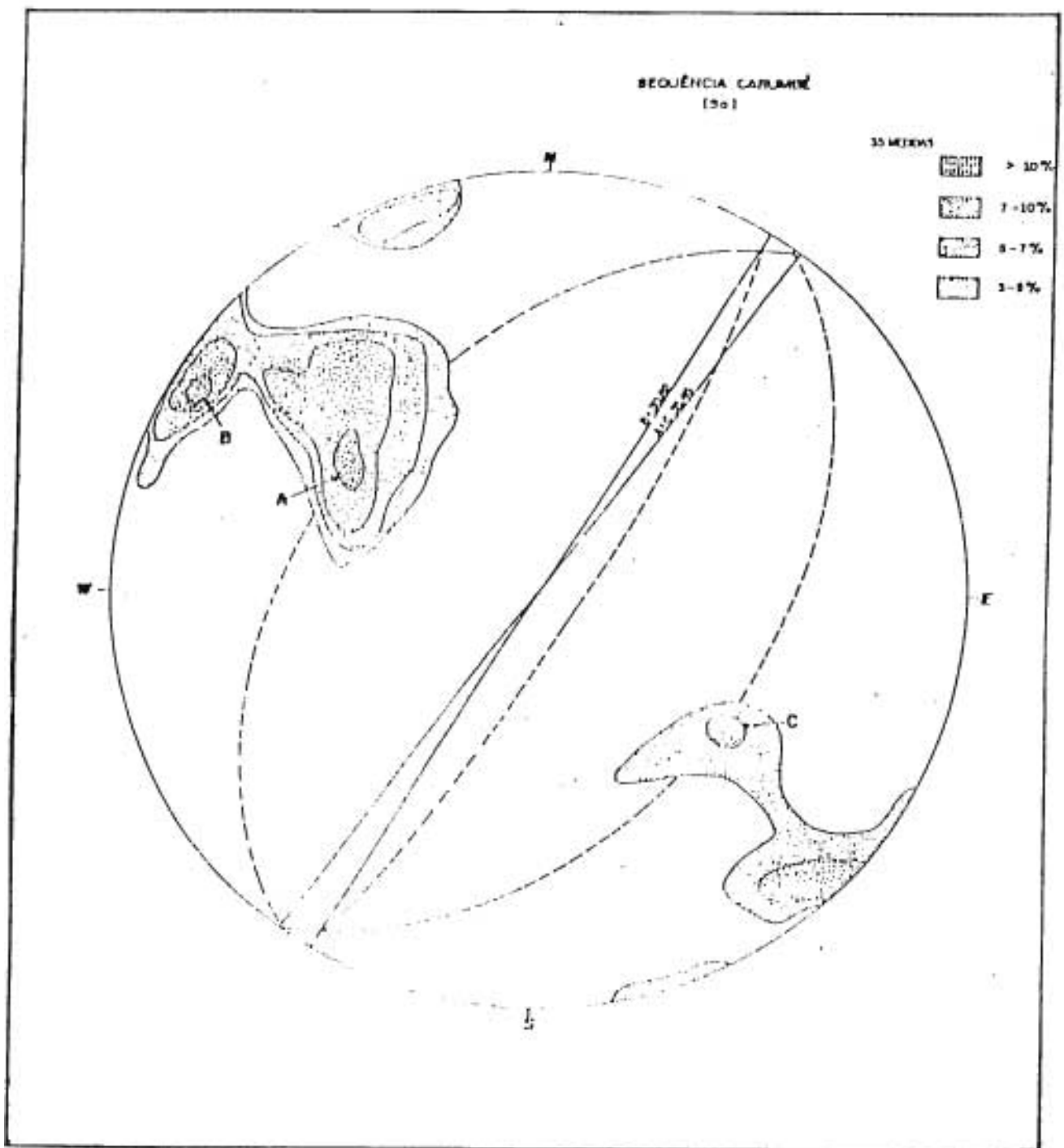


FIG. 07

DIAGRAMA DE POLO - SO SEQUÊNCIA CARUMBÉ

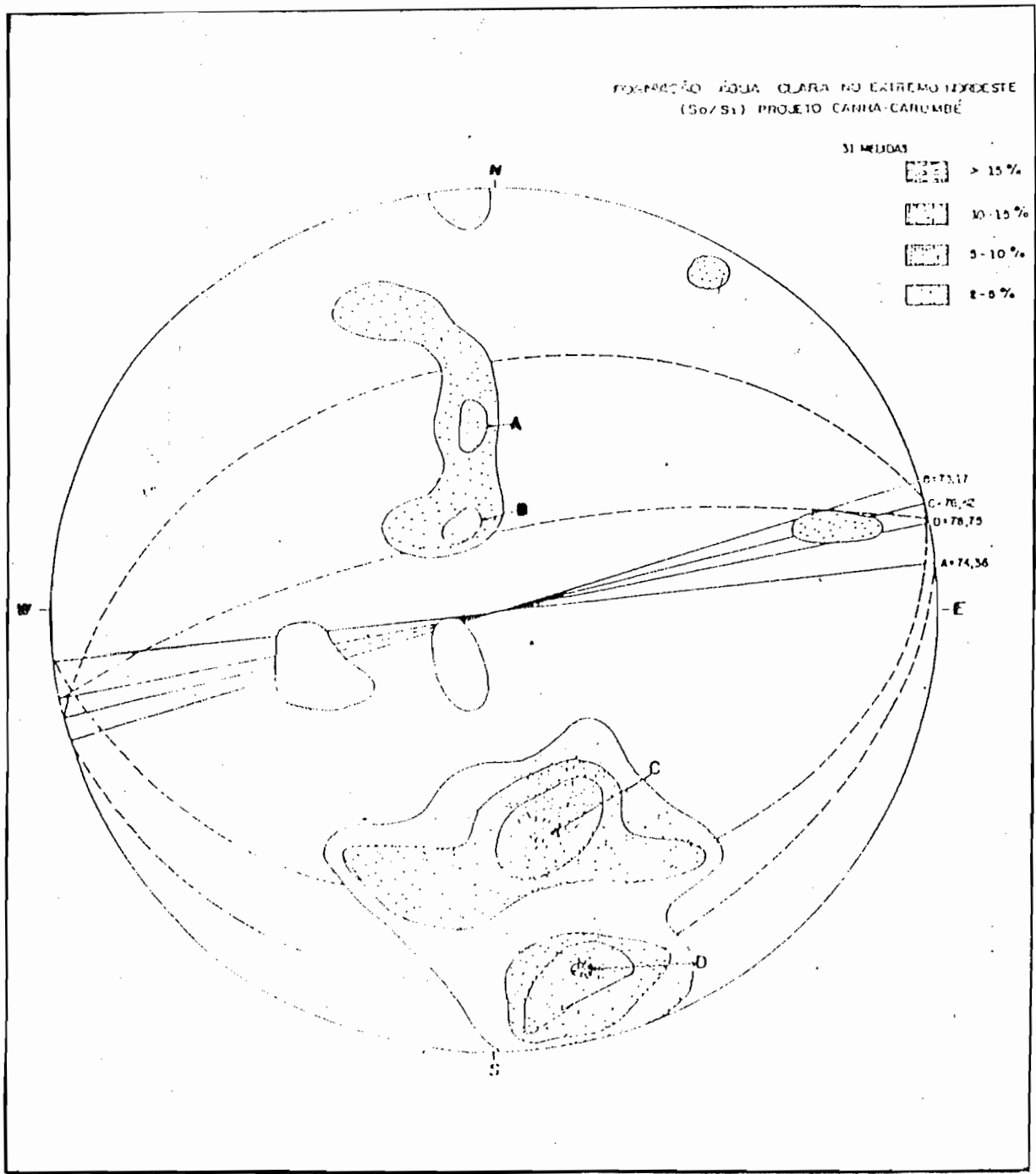


FIG. 08

DIAGRAMA DE POLO - SO/S₁- FORMAÇÃO ÁGUA CLARA

Dos resultados para fuor em concentrado tem-se que das 46 amostras analisadas 37 (0%) ficaram abaixo de 32 ppm e os valores anômalos apontados recaíram em região com potencial conhecido como Mato Preto e Braz.

Para execução deste trabalho tem-se como dados físicos de produção:

Amostras de concentrado planejadas - 49 amostras.

Amostras de concentrado coletadas e analisadas - 46 amostras.

Amostras de sedimento planejadas - 237 amostras.

Amostras de sedimento coletadas e analisadas - 208 amostras.

Amostras de sedimento em duplicata e replicata - 16 amostras.

Amostras padrão de sedimento analisadas - 07 amostras.

Sobre a área foram feitos:

Amostragem de sedimento de corrente:

- 13 amostras (MINEROPAR);

- 02 amostras (NUCLEBRÁS);

Os resultados deste trabalho estão registrados nos Anexos 06, 07 e 08 - Análises Químicas e Petrográficas.

4.3 - Trabalhos Topográficos

Inicialmente foi delimitado o perímetro das áreas no terreno, partindo-se do P.A., localizado na confluência do Rio Água Morna com o Rio Mato Preto (PA-11 - Projeto Cerro Azul), com rumo verdadeiro de 66°25'SW e distância de 3.550 m até o primeiro vértice. Foram abertos 4.750 metros de picadas para demarcar a área.

Após a configuração das faixas portadoras de rochas carbonáticas implantou-se uma malha de 20 x 25 m, recobrimo-se uma área de 5 km² com planta planialtimétrica e curvas equidistantes a cada metro. Este mapa topográfico planialtimétrico faz parte do Anexo 10.

4.4 - Amostragem Litoquímica/Petrográfica

4.4.1 - Amostragem Litoquímica Regional

Em toda região foram coletadas e analisadas 42 amostras de rochas calcárias conforme listagem a seguir:

Análises químicas das localidades de Paqueiro, Adrianópolis e Pannels do Brajaúva.

Amostra	P.F. (%)	Insol.HCl (%)	Fe ₂ O ₃ (%)	Al ₂ O ₃ (%)	MnO (%)	CaO (%)	MgO (%)
PC-18	42,79	3,45	0,29	0,31	-	50,96	1,94
PCP-25	43,50	1,81	0,22	-	-	53,54	0,65
PCP Ax14	43,14	2,95	0,32	-	-	51,74	1,61
PCP-24	43,51	2,77	0,26	-	-	47,49	5,81
PCP-26	39,77	10,89	0,70	-	-	47,04	1,45
PCP-26A	43,53	2,42	0,22	-	-	52,86	0,89
PCP-28	41,93	7,26	0,42	-	-	44,24	5,89
PCP-29	42,08	4,40	0,22	-	-	52,19	0,96
Média	42,53	4,49	0,33	-	-	50,00	2,40

Análises químicas das localidades de Laranjal e Despraiado.

Amostra	P.F. (%)	Insol.HCl (%)	Fe ₂ O ₃ (%)	Al ₂ O ₃ (%)	MnO (%)	CaO (%)	MgO (%)
PC-56	43,03	4,02	0,48	0,22	-	47,71	4,35
PC-59	41,18	6,59	0,29	0,14	-	50,74	0,80
PC-60	42,58	2,40	0,26	0,41	-	53,09	1,13
Média	42,26	4,37	0,34	0,26	-	50,51	2,09

Obs: A localização das amostras está no Anexo 04 A e B.

Análises químicas das localidades de Ribeirão do Rocha, São Domingos, Mato Preto e Canha:

Amostra	P.F. (%)	Insol.HCl (%)	Fe ₂ O ₃ (%)	Al ₂ O ₃ (%)	MnO (%)	CaO (%)	MgO (%)
PC-1	40.20	9.16	0.88	0.39	-	47.94	1.29
PC-08	43.40	2.40	0.82	0.22	-	52.64	0.89
PC-09	41.33	7.93	0.48	0.04	-	47.26	2.66
PC-11	42.20	5.12	0.32	0.14	-	50.62	1.37
PC-14	39,58	12.58	0.42	0,37	-	45.92	1.29
PCP-20	43.79	3.15	0.32	-	-	49.72	2.82
PCP-21	43.68	1.52	0.26	-	-	53.76	0.65
PCP-22	37.65	16.32	0.35	-	-	42.56	2.82
PCP-23	41.84	7.98	0.51	-	-	47.04	2.34
PCP-24	44.57	1.75	0.32	-	-	51.51	1.53
PC-26	42.99	4.82	0.54	0.12	-	47.49	3.79
PCP-27	42.59	5.25	0.51	-	-	50.96	0.40
PC-32	37.72	16.64	0.42	0.10	-	39.76	5.24
PC-34	41,37	7,52	0,54	0,10	-	49,50	0,56
PC-35	40,50	9,71	0,38	0,12	-	45,25	3,79
PC-39	39,78	13,10	0,96	0,23	-	40,10	5,81
PC-40	40,74	7,82	0,29	0,37	-	47,59	2,98
PC-42	38,39	14,77	0,45	0,18	-	42,90	3,06
PC-44	42,64	4,03	0,42	0,45	-	52,63	0,56
PC-46	41,98	7,19	0,58	0,40	-	46,93	2,82
PC-47	48,85	2,77	0,32	-	-	50,85	2,10
PC-48	34,41	22,28	1,38	0,57	-	39,98	1,13
PC-55	42,19	6,53	0,38	0,31	-	35,47	4,92
PC-61	37,65	15,36	0,29	-	-	45,92	0,65
PC-62	40,98	7,43	0,35	0,10	0	50,18	0,73
PC-63	40,04	9,55	0,99	0,27	-	47,60	1,37
PC-64	42,13	5,31	0,45	0,30	-	50,18	1,53
PC-65	40,20	10,53	0,42	0,10	-	44,80	3,95
Média	41,02	8,5	0,49	0,17	-	29,36	2,25

Com teores médios das análises efetuadas em toda a região tem-se:

Óxido de cálcio	49,50%
Insolúvel em HCl (SiO ₂)	7,52%
Perda da rubro	41,57%
Óxido de ferro (Fe ₂ O ₃)	0,54%
Óxido de alumínio (Al ₂ O ₃)	0,10%
Óxido de manganês (MnO)	-
Óxido de magnésio (MgO)	0,56%

99,79%

Análises efetuadas pelo Instituto de Biologia e Pesquisa Tecnológica do Paraná.

Esses resultados foram considerados satisfatórios, para a utilização deste bem mineral na indústria.

As demais análises químicas de rocha foram feitas em amostras selecionadas nos perfis geológicos executados e visaram elementos diversos como: Cu, Pb, Zn, Fe, Mn, S, Au, Ag, CaF₂. Os resultados destas análises são apresentados no quadro da Tabela 1.

As análises petrográficas efetuadas tiveram como objetivo classificar adequadamente os diferentes tipos litológicos que apresentaram os seguintes resultados, listados a seguir: (Tabela 2)

Nº do Ponto	Classificação	Minerais Identificados
MV-83	granada-zoizita-biotita-quartzo xisto feldspático	quartzo, biotita, zoizita, granada, clorita, albita, turmalina
MV-84	hornfels calcossilicático	quartzo, epidoto, zoizita, granada, calcita, titanita, actinolita
MV-85	mármore impuro cataclásico	dolomita, quartzo, opacos
MV-86	granada-sericita-biotita xisto	quartzo, biotita, sericita, granada, clorita, apatita, turmalina
MV-87	mármore impuro hornfêlsico	dolomita, quartzo, sericita, turmalina, titanita, rutilo
MV-88	sericita, calco-xisto	dolomita, quartzo, sericita, turmalina, titanita, rutilo
MV-89	metadiorito	hornblenda, actinolita, plagioclásio, biotita, quartzo
MV-91	gabro	plagioclásio, augita, uralita, serpentina, hiperstênio
MV-94	diabásio	plagioclásio, augita, magnetita, carbonato, anfibólio
MV-95	olivina nefelinito	olivina, piroxênio, biotita, nefelina, apatita, opacos
MV-96	brecha carbonática com recristalização de calcita	carbonato microcristalino, calcita recristalizada, quartzo
MV-97	gabro intemperizado	plagioclásio, augita, quartzo, mirmecolítico, apatita
MV-98	carbonatito (?)	carbonato, quartzo, hematita, óxido de ferro, opacos, sericita
MV-99	quartzito impuro	quartzo, carbonatos, opacos
MV-100	veio hidrotermalizado enriquecido em turmalina	turmalina, opacos, hematita
MV-103	sericita-quartzo xisto	quartzo, sericita, zircão, magnetita, hematita
MV-106	metabasito	actinolita, zoizita, epidoto, plagioclásio, titanita
MV-107	biotita, muscovita, sericita, xisto ou gnaiss hidrotermalizado	quartzo, sericita, muscovita, biotita, feldspato, turmalina

Tabela 2

4.4.2 - Amostragem Litoquímica na Área de Pesquisa

Tendo em vista os ótimos resultados analíticos obtidos em amostras de calcário analisadas na fase regional que recomendam o seu uso industrial na cerâmica, fabrico do cimento e tratamento de água, dentro da área de pesquisa, resolveu-se processar amostragens litoquímicas de forma transversais às direções das camadas de calcário. Inicialmente foram realizados três perfis que fazem parte do Anexo 04 A e B.

Com base nos resultados obtidos nos trabalhos anteriores, resolveu-se processar a amostragem litoquímica em todas as drenagens onde a faixa de calcário aflorasse.

A locação de coleta consta do Anexo 09 A e B.

RESULTADOS DE ANALISES LITOQUIMICAS

Nº Am.	Cu ppm	Pb ppm	Zn ppm	Fe %	Mn ppm	S %	Au ppm	Ag ppm	CaF ₂ %	La ppm	Nb ppm	Ba ppm	S ₂ ppm	Laborat.	Descrição Sucinta
MV-90	-	26	-	1.5	-	-	-	-	-	-	-	-	-	TECPAR	Solo com concreções de ferro
MV-91	258	80	175	-	-	-	0.35	-	-	-	-	-	-	GEOSOL	Veio de quartzo c/sulfeto. encaixado em metaba.
MV-92	508	275	75	-	-	-	0.85	-	-	-	-	-	-	GEOSOL	Veio de quartzo c/sulfeto. encaixado em metab.
MV-93	-	70	-	-	-	0.05	-	-	-	-	-	-	-	GEOSOL	Calcarenito brechado. fétido a enxofre
MV-91	35	140	-	28.8	-	-	0.05	2	-	-	-	-	-	GEOSOL	Chapeu de ferro
MV-96	-	-	-	-	-	-	-	-	2.99	-	-	-	-	GEOSOL	Carbonato brechado com fluorita
MV-98	-	-	-	-	-	-	-	-	-	30	20	88	170	GEOSOL	Carbonato (?)
MV-101	-	4200	-	-	-	-	ND	7	-	-	-	-	-	TECPAR	Veio de barita. quartzo e carb. com galena
MV-102	52	21	165	-	-	-	-	-	-	-	-	-	-	TECPAR	Quartzito com pirita encaixada em carbonato
MV-104	19	27	400	35	-	-	-	-	-	-	-	-	-	TECPAR	Minério de ferro (bloco rolado)
MV-105	-	26	110	ND	9800	-	-	-	-	-	-	-	-	TECPAR	Calcario brechado com óxido de manganês
MV-132	-	23	-	8.3	-	-	-	-	-	-	-	-	-	GEOSOL	Contato calcário flito com óxidos de ferro
MV-133	-	256	-	9.2	-	-	<0.05	-	-	-	-	-	-	GEOSOL	Concreções ferruginosas esféricas

ND - não determinado

As amostras coletadas nestes trabalhos foram compostas, a cada 20 m, procurando-se obter em torno de 5 kg cada. Nessa etapa foram coletadas e analisadas 87 amostras

4.5 - Análises Químicas

As amostras foram moídas a -80 mesh no laboratório da MINEROPAR e enviadas ao TECPAR - Instituto de Tecnologia do Paraná para serem analisados os seguintes elementos: perda ao rubro, insolúvel ao HCl, Fe₂O₃, Al₂O₃, MnO, CaO e MgO. Muitas amostras foram analisadas somente os óxidos de Ca e Mg. Os laudos estão relacionados no Anexo 13.

4.6 - Sondagem

Para avaliar o comportamento das faixas de calcário em subsuperfície, bem como obter dados para o cálculo das reservas foram realizados dois furos de sondagem rotativa, com recuperação dos testemunhos, perfazendo um total de 88,90 m. As amostras recuperadas foram analisadas de forma composta a cada dois metros. A descrição dos testemunhos, com os resultados das análises químicas constam do Anexo 12.

5 - DADOS FÍSICOS DE PRODUÇÃO

Na tabela a seguir estão relacionadas as atividades de pesquisa desenvolvidas:

Atividades	Processo 88.820/191	Processo 88.820/192
Fotointerpretação 1:25.000	30 km ²	30 km ²
Topografia	Abertura de picadas 3.500 m, Planialtimetria 500 ha	Abertura picadas: 3.500 m Planialtimetria: 500 ha
Mapeamento Geológico	Regional: 150 km ² Detalhe: 1.000 ha	Regional: 150 km ² Detalhe: 1.000 ha
Prospecção geoquímica	Regional: 257 am	Regional: 275 am
Litoquímica	Regional: 41 am Detalhe: 111 am	Regional: 41 am Detalhe: 115 am
Análises petrográficas	18 am	18 am
Sondagens	44,45 m	44,45 m

6 - CRONOGRAMA FÍSICO FINANCEIRO

(valores calculados em reais)

	1989	1990	1991	1992	1993	1994	1995	Total
Geologia	220	440	720	1.520	1.800	2.400	3.000	10.100
Topografia/cartograf.	220	220	360	760	880	1.200	1.500	5.140
Geoquímica	220	220	360	-	-	-	-	800
Litoquímica	-	-	360	1.200	1.200	1.200	-	3.960
Sondagens	-	-	-	-	-	3.600	4.500	8.100
Análises químicas	220	440	720	1.400	1.400	1.800	2.000	7.980
Engenharia de Minas	-	-	-	-	-	2.400	3.000	5.400
Apoio Administrativo	220	440	720	1.520	1.760	2.400	3.000	10.060
Infra-estrutura								
Total parcial	1.100	1.760	3.240	6.400	7.040	15.000	17.000	51.540

Total geral : R\$ 51.540,00 (cinquenta e um mil e quinhentos e quarenta reais).

7 - CÁLCULO DAS RESERVAS DE MINÉRIO

7.1 - Critérios Adotados

Para a determinação das reservas de minério nas áreas pesquisadas, foi utilizado o método de cubagem através de blocos, sendo determinadas as áreas provenientes da interceptação de perfis verticais com a interpretação do corpo mineralizado, obtido através de informações superficiais e de furos de sonda, utilizando-se em cada caso um nível base adequado.

No cálculo do volume de minério utilizou-se como restrição, a qualidade mínima do minério necessária para sua utilização pela indústria cimenteira. Logo, a sua utilização para produção de cal à construção civil é plenamente viável, já que a qualidade do minério necessária para tal fim, é amplamente alcançada.

Em algumas porções das áreas pesquisadas, pode-se verificar a presença de minério, que por sua qualidade, pode vir a servir de matéria-prima na obtenção de cales nobres, a ser utilizada pelas indústrias químicas, de papel ou saneamento. No entanto, esta possibilidade não será aqui considerada, devendo estas porções mineralizadas serem pesquisadas de uma forma intensa, principalmente com relação a sua caracterização tecnológica, para verificação da viabilidade de sua utilização para tais fins.

7.2 - Área DNPM 88/820.191

Para a cubagem do minério presente foram traçados os perfis verticais de números 3, 4, 5, 6 e 7, sendo utilizado como nível base aquele de cota 300 m. referente ao do Rio do Canha, presente nas imediações.

Assim, após serem traçados os perfis verticais e definido o nível base, foi determinada em cada perfil a área mineralizada e o teor médio de CaO e MgO, sendo utilizadas para tal as informações obtidas em superfície e dos furos de sondagens, quando presentes.

Concluída esta etapa foram traçados os blocos de cubagem, definidos da seguinte forma: um dos lados correspondente a área obtida em cada perfil e outro igual a distância entre linhas traçadas equidistantemente de cada perfil. Assim, foram definidos os blocos de números 06 a 13.

Os resultados obtidos são a seguir apresentados, sendo "S" a área mineralizada de cada perfil vertical, "d" o comprimento entre retas traçadas de forma equidistante entre os perfis verticais, "V" o volume de minério, obtido pela multiplicação da área "S" pelo comprimento "d" e "T" a tonelagem de minério, utilizando-se uma densidade "in situ" de 2,5.

Bloco 06:

S = 24.948 m²
d = 1.000 m
V = 24.948.000 m³
T = 62.370.000 t

Bloco 07:

S = 36.828 m²
d = 1.400 m
V = 51.560.000 m³
T = 128.900.000 t

Bloco 08:

S = 17.622 m²
d = 1.100 m
V = 19.384.000 m³
T = 48.460.000 t

Bloco 09:

S = 52.272 m²
d = 1.000 m
V = 52.272.000 m³
T = 130.680.000 t

Bloco 10:

S = 10.890 m²
d = 1.000 m
V = 10.890.000 m³
T = 27.225.000 t

Bloco 11:

S = 21.384 m²
 d = 900 m
 V = 19.240.000 m³
 T = 48.100.000 t

Bloco 12:

S = 20.394 m²
 d = 850 m
 V = 17.335.000 m³
 T = 43.338.000 t

Bloco 13:

S = 24.552 m²
 d = 500 m
 V = 12.276.000 m³
 T = 30.690.000 t

Pela cubagem realizada, a reserva medida de minério da área é de 519.763.000 t, minério este com teores médios de CaO de 49,4% e MgO de 1,57%.

7.3 - Área DNPM 88/820.192

A metodologia utilizada para cubagem do minério presente nesta área é a mesma daquela que se fez uso na área DNPM 88/820.191, contígua.

Para o cálculo foram traçados os perfis verticais de números 1, 2 e 3 e definidos os blocos de números 01 a 05, sendo obtidos os seguintes resultados:

Bloco 01

S = 20.790 m²
 d = 800 m
 V = 16.632.000 m³
 T = 41.580.000 t

Bloco 02:

S = 10.494 m²
 d = 650 m
 V = 6.820.000 m³
 T = 17.050.000 t

Bloco 03:

S = 11.880 m²
 d = 1.050 m
 V = 12.474.000 m³
 T = 31.185.000 t

Bloco 04.S = 51 876 m²

d = 950 m

V = 49.282.000 m³

T = 105.700.000 t

Bloco 05.S = 14 850 m²

d = 850 m

V = 12.620.000 m³

T = 31.550.000 t

A reserva medida total da área obtida através dos blocos de cubagem, é de 227.065.000 t, com teores médios de 48,5% de CaO e 1,51% de MgO.

8 - ANÁLISE DO MERCADO PRODUTOR E CONSUMIDOR

8.1 - Introdução

A análise do mercado enfocará a produção e comercialização da cal, importante segmento do setor mineral paranaense, bem como alguns ramos industriais que podem ser atendidos pela utilização direta do calcário, tais como os de rações, cerâmicas e principalmente a indústria cimenteira, já que a qualidade do minério atende perfeitamente a todos estes segmentos.

8.2 - Indústria Cimenteira

De acordo com dados do DNPM, a produção brasileira de cimento em 1992 foi de 23.902.000 t, correspondente a 2,1% da produção mundial. No Paraná ocorreu um pequeno aumento de produção no decorrer dos últimos anos, aumentando a sua participação na produção brasileira, que no início da década passada era de 7%, para 9% em 1992. Esta produção abastece, além do próprio estado, os mercados de Santa Catarina, Rio Grande do Sul, São Paulo e eventuais exportações para o Paraguai.

No Paraná, para a fabricação de 2.153.000 t de cimento em 1992, foram consumidos 3.700.000 t de calcário calcítico, sendo que a Companhia de Cimento Portland Rio Branco participou com 75% deste total.

Como características físico-químicas das rochas calcárias utilizadas pela indústria cimenteira, tem-se que o teor de MgO não deve ultrapassar 6% e o de CaO no mínimo de 45%. Além destas especificações, a composição química da rocha deve situar-se dentro dos limites abaixo:

- perda ao fogo < 39%
- teor de SiO₂ < 8%
- teor de Al₂O₃ < 1,5%
- teor de Fe₂O₃ < 0,8%

8.3 - Outros Usos do Calcário Calcítico

8.3.1 - Indústria de Rações

Na fabricação de rações de uso animal, o calcário calcítico atua basicamente como fonte de cálcio que, juntamente com os compostos de fósforo, somam cerca de 3/4 das substâncias componentes do organismo animal e 90% do seu esqueleto.

O consumo de calcário por este setor é relativamente estável, com um crescimento médio de 17% ao ano. No Paraná este consumo é de aproximadamente 20.000 t/ano, sendo as seguintes características físico-químicas exigidas para o minério:

- teor de CaO: mínimo de 36%
- teor de MgO: máximo de 2,0%
- teor de K₂O: máximo de 1,0%
- umidade: máximo de 0,6%

8.3.2 - Setor Cerâmico

O calcário é empregado na composição da massa na fabricação de azulejos, ladrilhos e cimento hidráulico aluminoso, atuando como fundente, fornecedor de CaO e sendo o responsável pelo controle e correção da expansão térmica. No Paraná o consumo de calcário calcítico por este segmento é de aproximadamente 12.000 t/ano, devendo o produto possuir como características um mínimo de 44% de CaO e um máximo de 2% de MgO.

8.3.3 - Usos Diversos

Outros segmentos de destaque no consumo do bem mineral são as usinas siderúrgicas, responsáveis por um grande consumo de rochas calcárias, quer sob a forma de calcários calcíticos ou dolomitos, quer sob a forma de cal. Para este setor, o calcário é utilizado como fundente para a formação de escórias fluidas que auxiliam a eliminação de impurezas, tais como sílica e alumina na produção de ferro-gusa e do aço. Apesar do elevado consumo por parte deste segmento industrial, devido a localização das grandes usinas siderúrgicas, o mercado produtor paranaense pouco atende a este setor.

Um outro segmento importante na utilização de calcário é o de tintas e vernizes, que utiliza rochas calcárias, com alto teor de CaCO₃, como "extender" na produção de tintas látex e a óleo e em massa corrida. Já na indústria de vidros, o calcário é utilizado na produção de vidros planos, vidros de embalagens, vidros domésticos, entre outros, como elemento fornecedor de CaO. De um modo geral, o calcário para a produção de vidros deve ser de alto teor de cálcio e baixo teor de Fe₂O₃. O dolomito, em alguns casos, quando as especificações não são rígidas, pode ser um substituto eventual.

Na indústria de plásticos, o calcário é empregado como carga, fornecendo maior rigidez e resistência. Ele é utilizado na produção de compostos de PVC, notadamente tubos de PVC rígido, embalagens rígidas, cabos, condutores comuns, pisos vinílicos e para indústria automobilística.

Além dos usos descritos, o calcário calcítico é empregado como matéria-prima na produção de nitrocálcio, utilizando-se calcário com granulometria variável e teor de CaCO_3 bastante elevado. É também empregado como fluxante nos fornos de fundição e como fundente na produção de ligas de FeMn além de matéria-prima fornecedora do cálcio na produção de inoculantes. É ainda empregado na fase final da fabricação de tapetes e carpetes e tem a função de conferir firmeza a esses produtos.

O calcário calcítico é utilizado como insunio na fabricação de cloreto de cálcio e em alguns produtos auxiliares para fundição, e também, como material de enchimento em revestimentos asfálticos.

O setor de não-ferrosos emprega esse minério como escorificante na obtenção de estanho primário, chumbo secundário e cobre secundário.

O calcário é ainda empregado na obtenção do nitrato de cálcio no setor de explosivos e como corretivo de fundição na fabricação de lâ de rocha, quando a matéria-prima principal é a escória. É empregado como carga na fabricação de lixas e rebolos no setor de abrasivos, como veículo de suplementação de sais minerais em produtos farmacêuticos e veterinários e como neutralizante na reação da formação do sulfato de manganês.

As rochas calcárias podem ainda substituir a cal na produção do açúcar, na fabricação de carbureto de silício, ácido acético, álcool e fenol. Podem ser empregados ainda como clarificantes na obtenção de carbonato de cálcio precipitado, de hidrato e nitrato de cálcio, em cromatos, bicromatos e ácido cítrico, na purificação de gás, em corantes ou pigmentos, em inseticidas e fungicidas, em colas, graxas, na produção de cloreto de magnésio, papel, indústria têxtil, como estabilizante de solos, em corantes brancos e como brita de revestimento.

8.3.4 - Indústria da Cal

Segundo dados do DNPM, a produção mundial de cal foi de 154 milhões de toneladas em 1991, dos quais o Brasil produziu 5 milhões de toneladas, correspondendo a 3,2% da produção mundial.

O Estado de Minas Gerais tem sido historicamente o de maior participação na produção brasileira de cal, respondendo por cerca de 40% do total, seguido dos estados de São Paulo com 20%, Paraná com 15% e Bahia com 6%, o que totaliza 80% da produção nacional.

A produção paranaense estimada com base na participação do estado na produção nacional, historicamente tem ficado em torno de 750 mil t/ano. Em levantamentos feitos pela MINEROPAR, com base na produção declarada, os valores são mais conservadores e situam-se em torno de 580 mil t/ano.

8.3.4.1 - Mercado Consumidor da Cal

Em termos mundiais, a exemplo do que ocorreu com o consumo de algumas matérias-primas, a produção da cal vem decaindo nos últimos anos a uma taxa de 10% ao ano, devido ao desenvolvimento tecnológico nos processos de produção que cada vez usam menos matéria-prima para produzir a mesma quantidade de produto.



O mercado consumidor nacional é bastante diversificado, existindo, porém, dois segmentos que se destacam, que são a siderurgia e a construção civil, que em conjunto respondem por mais de 60% deste mercado. Outros importantes segmentos consumidores e que possuem uma tendência em aumentar a sua participação, são a indústria de papel e celulose e a de tratamento de água, tanto para consumo humano quanto para os programas de despoluição de lagos e rios.

Com relação ao Estado do Paraná, a construção civil constitui-se no grande segmento consumidor da cal, havendo possibilidades de se explorar vários segmentos de mercados consumidores já tradicionais, além de outros mercados emergentes.

De acordo com pesquisa de campo realizada pela MINEROPAR, o perfil do mercado consumidor de cal no Paraná é fortemente dependente da construção civil que consome mais de 80% da cal virgem paranaense. Esta forte dependência da construção civil deixa o setor muito vulnerável às oscilações econômicas, visto ser este um segmento muito sensível a estas oscilações.

Setor de Consumo	%	t/ano
construção civil	81,0	500.580
em pedra para outros estados	8,0	49.440
tintas	4,0	24.720
agricultura	3,0	18.540
indústria química	0,8	4.944
siderurgia	0,7	4.326
curtumes	0,5	3.090
artefatos de cimento	0,5	3.090
fertilizantes	0,4	2.472
fundição	0,4	2.472
tratamento de água	0,3	1.854
papel	0,2	1.236
refinarias de álcool	0,1	618
óleos lubrificantes	0,1	618
TOTAL	100,0	618.000

Como possibilidades de novos mercados para a indústria da cal no Paraná e região, tem-se o mercado de cal hidratada para tratamento de água. O consumo deste insumo pelas companhias estaduais de água dos estados do sul é estimado em cerca de 11.000 t/ano, sendo o abastecimento feito pelas empresas sediadas em Minas Gerais e São Paulo, a um preço de aproximadamente US\$ 110,00/t.

Um outro mercado promissor para utilização da cal paranaense é o da indústria do papel, que apresenta boas perspectivas para aumento de demanda futura, sendo os tradicionais fornecedores do insumo os mercados produtores de São Paulo e Minas Gerais. O atendimento a este segmento exige um produto com especificações rígidas em termos de qualidade, sendo que em pesquisa realizada em algumas indústrias do setor, revelaram um mercado de cerca de 40.000 t/ano.

8.3.4.2 - Mercado Produtor Paranaense

A mineração de rochas calcárias é a principal atividade mineral do estado em termos de quantidade e valor da produção. A participação da mineração de calcário e dolomito no valor monetário da produção mineral paranaense foi de 32,4% em 1990. Já em termos de participação do calcário e do dolomito na quantidade de bens minerais produzidos no estado, também em relação ao ano de 1990, este valor é de 36,5%.

Com relação a produção, ainda durante o ano de 1990, foram produzidas no estado 7.437.565 t de calcário e dolomito, sendo que 55,6% foram destinadas para a produção de cimento, 31,1% para corretivo agrícola e 13,3% para outras finalidades, proporções essas que se apresentam muito regulares ao longo do tempo.

Existe um acentuado contraste entre as empresas mineradoras de calcário para cimento, e as produtoras de dolomito para corretivo agrícola. As empresas produtoras de calcário para cimento são em número reduzido, de grande porte e larga escala de produção, exigindo grande produtividade e conseqüentes custos reduzidos de extração. Já as empresas mineradoras de dolomito para corretivo agrícola são numerosas, via de regra de pequeno a médio porte, com produção em pequena escala, que aliada a pouca técnica utilizada, resulta em um custo de produção mais elevado.

Com relação a indústria da cal no estado, esta é bastante complexa e com diferentes graus de verticalização. Coexistem produtores extremamente verticalizados que fazem desde a mineração, passando pela produção de corretivo agrícola, produção de cal virgem e hidratada, comercializando o produto ensacado e em embalagens de 20 kg, com produtores que simplesmente compram o minério já bitolado e somente fazem a queima, produzindo cal virgem que comercializam a granel.

Para a produção da cal, existem cadastrados no estado, de acordo com pesquisa realizada em 1992, 73 empresas, que em conjunto possuem uma capacidade instalada superior a 1 milhão de toneladas/ano, sendo que, ainda durante o ano de 1992, foram produzidas no estado 534.362 t de cal.

A maioria dos produtores possui fornos verticais, contínuos de alvenaria, variando basicamente na quantidade de fornos de um produtor para outro, sendo raros os produtores que possuem fornos verticais metálicos tipo AZBE e que apresentam elevada escala de produção.

8.3.4.3 - Premissas Para Novos Empreendimentos

Verifica-se que a indústria de cal paranaense é bastante concorrencial e competitiva, existindo uma capacidade ociosa no setor. Novos empreendimentos, além das vantagens comparativas nos custos de produção e nos pontos de distribuição, deverão buscar atender as mais rígidas especificações de mercado, para atendimento a todos os segmentos consumidores.

Maiores exigências no produto implicam em maiores investimentos, que para amortização e retorno do mesmo a taxas lucrativas, exigem em contra partida, produção e venda em larga escala, já que o preço a ser praticado necessariamente não pode ultrapassar os limites do mercado concorrencial hoje presente

9 - CARACTERIZAÇÃO TECNOLÓGICA PRELIMINAR

9.1 - Objetivos

Para um conhecimento preliminar das especificações do minério, na obtenção de produtos finais de qualidade, foi realizado, através, da empresa Tecnologia e Qualidade Ltda, uma caracterização tecnológica, em escala de laboratório, com uma amostra de calcário superficial, e a mais representativa possível das faixas mineralizadas.

9.2 - Qualidade do Minério

Para uma maior representatividade das faixas mineralizadas, foram coletadas amostras compostas destas diversas faixas, sendo as mesmas homogeneizadas para retirada de uma amostra única, que foi encaminhada a laboratório especializado, para a realização dos ensaios de caracterização tecnológica.

Uma aliquota desta amostra foi analisada quimicamente, sendo os seguintes resultados obtidos:

CaO (%)	MgO (%)	MnO (%)	Al ₂ O ₃ (%)	Fe ₂ O ₃ (%)	Res. Insolúvel (%)	PPC (%)
52,9	0,24	0,01	0,10	0,35	2,89	42,6

9.3 - Metodologia dos Ensaios

9.3.1 - Calcinação

Para as calcinações, realizadas em fornos tipo mufla, foram utilizadas amostras de 1.200g de minério, nas temperaturas de 850, 900 e 1.000°C.

9.3.2 - Testes de Reatividade

Para os testes de reatividade, utilizaram-se amostras de 250 g de cal, obtidas através das calcinações do minério, cal esta com granulometria 100% abaixo de 1,0 mm. O processo consiste em adicionar a cal, em 1 litro de água a 25°C, medindo-se o aumento da temperatura em função do tempo. Como resultado, quanto maior o aumento da temperatura, maior a reatividade da cal.

9.3.3 - Teste de Viscosidade

O teste de viscosidade consiste inicialmente na agitação, por um período de 15 min, em um agitador com velocidade de 300 rpm, de um leite de cal, formado por 227 g de cal e 1 litro de água a 55°C. Após este prazo é acrescentado mais 1 litro de água à mesma temperatura, continuando o processo de agitação por mais 10 min. Concluído o processo, parte do leite de cal obtido é encaminhado a um viscosímetro, sendo determinada sua viscosidade.

9.3.4 - Testes de Sedimentação

Do mesmo leite de cal utilizado para a realização do teste anterior, foram retiradas duas alíquotas e acondicionadas em dois tubos de ensaio de 15 ml de capacidade. Estes tubos foram encaminhados a uma centrífuga, pelo tempo de 1 min, a uma velocidade de 2.000 rpm. Após este tempo, foi medida a porcentagem de sólidos sedimentados.

9.3.5 - Resíduos

Para este ensaio foi utilizado o mesmo leite de cal, passado em uma peneira de malha 100 mesh. O material retido foi lavado, secado e pesado.

9.4 - Resultados Obtidos

9.4.1 - Testes de Reatividade

O quadro a seguir apresenta os resultados da reatividade da cal em função da temperatura de calcinação.

Tempo (minutos)	Amostra 1 (°C)	Amostra 2 (°C)	Amostra 3 (°C)
0,0	25,0	25,0	25,0
0,5	47,4	48,2	41,3
1,0	53,5	57,9	48,0
1,5	57,1	64,0	52,1
2,0	59,3	66,8	55,3
2,5	60,6	67,9	57,9
3,0	61,4	68,4	59,4
3,5	61,9	68,5	60,5
4,0	62,3	68,3	61,3
4,5	62,4	67,7	61,7
5,0	62,2	67,3	62,2
6,0	-	-	62,4
7,0	-	-	62,6
8,0	-	-	61,8

Amostra 1 - temperatura de calcinação de 850°C

Amostra 2 - temperatura de calcinação de 900°C

Amostra 3 - temperatura de calcinação de 1.000°C

9.4.2 - Testes de Viscosidade, Sedimentação e Resíduo Insolúvel

Para cada temperatura de calcinação, os resultados obtidos com os testes de viscosidade, sedimentação e resíduo insolúvel, são apresentados no quadro abaixo:

	Amostra 1 (t cal = 800°C)	Amostra 2 (t calc = 900°C)	Amostra 3 (t calc = 1.000°C)
Viscosidade (centipoise)	200	200	200
Sedimentação (%)	24,4	25,2	24,8
Resíduo Ins. (%)	18,3	12,1	11,4

9.5 - Conclusões

Para a análise dos resultados obtidos com o ensaio de caracterização do minério, como comparativo, é apresentado a seguir as especificações médias das cales químicas em comercialização:

- Reatividade: acréscimo acima de 20°C em 5 min
- Viscosidade: mínimo de 200 centipoise.
- Sedimentação: entre 18 a 19%.
- Resíduo insolúvel: 10 a 12%

Quando comparados os valores apresentados acima com aqueles obtidos nos ensaios de caracterização, as seguintes conclusões podem ser observadas:

a) A reatividade do minério é compatível com aquela observada nas cales em comercialização, sendo que o calcário calcinado a 900°C foi o que apresentou o melhor resultado neste tipo de ensaio.

b) Os resultados de viscosidade foram iguais ao mínimo verificado nas cales em comercialização.

c) Os valores encontrados nos testes de sedimentação e de resíduo insolúvel são elevados, quando comparados com aqueles apresentados pelo produto em comercialização.

d) O ensaio realizado, em escala de laboratório, não é conclusivo, devendo ser realizado um novo ensaio, em escala piloto, em forno rotativo, onde a calcinação será realizada de forma dinâmica e não de forma estática, como aquela obtida em testes realizados em muflas.

e) Um segmento de mercado passível de utilização direta da cal a ser produzida pelo calcário calcítico, seria o da cal para construção civil, responsável por 81% do mercado consumidor paranaense do produto. Para utilização da cal por outros segmentos, tais como indústria de papel, saneamento, siderurgia e outros, novos ensaios deverão ser realizados, bem como o detalhamento da pesquisa em porções das faixas mineralizadas que apresentam minério com as especificações mínimas exigidas por estes segmentos.

10 - ANÁLISE PRELIMINAR DE VIABILIDADE

De acordo com a cubagem realizada, as reservas de minério nas áreas DNPM 88/820.191 e 88/820.192 são de 519.763.000 t com teores de CaO de 49,4% e MgO de 1,57% e 227.065.000 t de minério com teores de CaO de 48,5% e MgO de 1,51%, respectivamente.

Para as duas áreas, contíguas, a reserva total de minério é de 746.828.000 t, com teores médios de 49,1% de CaO e 1,55% de MgO.

Pelas características do calcário pesquisado, pode-se verificar que o mesmo é passível de uso pela indústria cimenteira ou para a produção de cal para a construção civil.

Para a indústria cimenteira, para viabilização da implantação de uma unidade produtora, faz-se necessária uma reserva mínima de 200.000.000 t, amplamente ultrapassada pelas reservas bloqueadas. Quando do detalhamento dos trabalhos de pesquisa para verificação da viabilidade de implantação de um empreendimento de tal porte, estas reservas bloqueadas e passíveis de uso para fabricação de cimento, deverão sofrer uma redução, mas ainda assim amplamente suficientes para justificar sua implantação.

Alguns aspectos deverão ser profundamente analisados, tanto para a produção de cimento quanto da cal, quando da análise da viabilidade econômica do projeto, tais como o mercado produtor e consumidor, localização geográfica da jazida, vias de acesso, infra-estrutura presente, entre outros. No entanto, pelo nível de trabalho até o momento desenvolvido, observa-se a existência de calcário, com quantidade e qualidade, suficientes para suprir as necessidades de consumo de uma indústria cimenteira ou de cal.



DIGLÉCIO F. LCADE
Geólogo Carb. Prof. 5918-D CREA-17.



ANEXOS

ANEXO 01

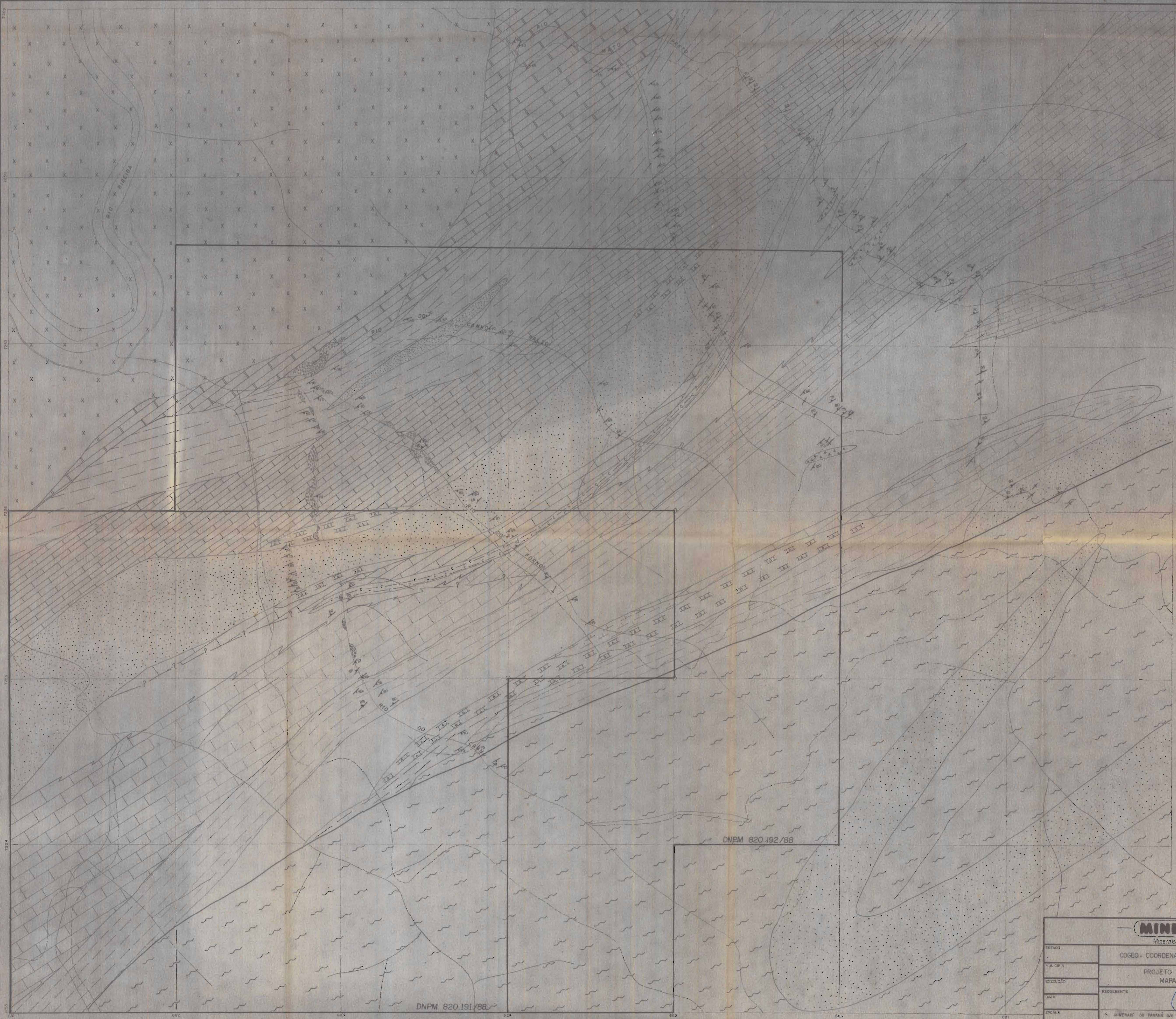
**Mapa geológico - fase regional, esc. 1:25.000
Projeto Canha-Carumbé**

ANEXO 02

**Mapa de pontos - fase regional, esc. 1:25.000
Projeto Canha Carumbé**

ANEXO 03

Mapa geológico - fase semidetalhe, esc. 1:10.000



- GRANITO TRES CORREGOS
 - MÁRMORES E CALCIFEROS
 - LITOFÁCIES FÍLITICA
 - LITOFÁCIES CALCÁREO BANDADO
 - LITOFÁCIES DE CALCARENITO BRECHADO PÉFIDO
 - LITOFÁCIES QUARTZÍTICA
 - LITOFÁCIES CALCÁREO MACIÇO
 - LITOFÁCIES CALCÁREO / CALCIFEROS
 - LITOFÁCIES CALCIFEROS
 - LITOFÁCIES FÍLITO GRAFÍTICO
 - LITOFÁCIES CALCÁREO BRECHADO
 - LITOFÁCIES FÍLONÍTICA
 - METABASITO
 - ALLUVIÕES
- ATITUDE DE BARRAMENTO
 CONTATO LITOLÓGICO DEFINIDO
 CONTATO LITOLÓGICO APROXIMADO

ANEXO 3

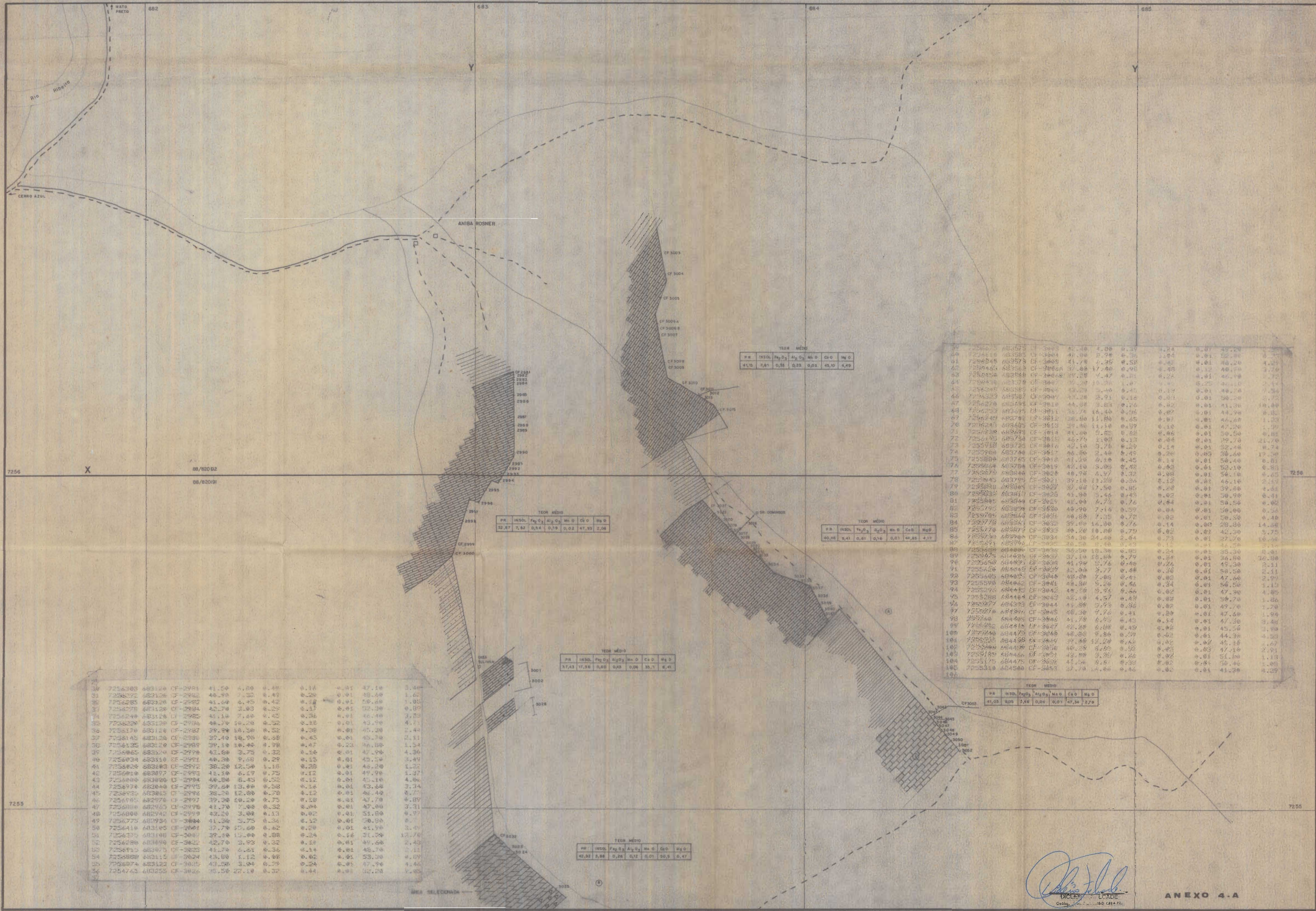
MINEROPAR Minerais do Paraná S.A.		
ESTADO	COGEO - COORDENADORIA DE GEOLOGIA	
MUNICÍPIO	PROJETO CANHA-CARUMBE	
EXECUÇÃO	MAPA GEOLOGICO	
DATA	REGULAMENTO	TÉCNICO RESPONSÁVEL
ESCALA	1:50.000	<i>[Signature]</i>
	MINERAIS DO PARANÁ S.A.	COGEO
		7V
		PLAN. 10

DNPM 820 191/88

DNPM 820 192/88

ANEXO 04

**Perfis detalhados - geologia/litoquímica
(A e B)**



PR	INSOL	Fe ₂ O ₃	Al ₂ O ₃	Mn O	Ca O	Mg O				
30	7256303	683124	CF-2991	41,50	4,30	0,44	0,14	0,31	47,10	3,44
31	7256372	683126	CF-2962	40,30	7,32	0,43	0,20	0,01	39,40	1,62
32	7256405	683128	CF-2963	41,60	6,45	0,42	0,18	0,01	50,40	1,01
33	7256478	683130	CF-2994	42,70	3,00	0,29	0,17	0,01	52,30	0,89
34	7256444	683128	CF-2965	41,10	7,60	0,45	0,26	0,01	46,40	1,20
35	7256220	683128	CF-2966	40,70	10,20	0,52	0,28	0,01	43,90	4,73
36	7256170	683128	CF-2967	39,90	10,50	0,52	0,28	0,01	45,30	2,44
37	7256143	683128	CF-2968	37,40	10,90	0,50	0,43	0,01	43,70	2,11
38	7256135	683128	CF-2969	39,10	10,40	0,50	0,47	0,01	41,80	1,54
39	7256065	683128	CF-2970	42,60	3,75	0,32	0,24	0,01	47,90	4,30
40	7256034	683128	CF-2971	40,30	9,60	0,29	0,15	0,01	45,50	3,49
41	7256020	683128	CF-2972	38,20	12,50	1,10	0,20	0,01	46,20	1,22
42	7256010	683127	CF-2973	41,30	6,19	0,75	0,12	0,01	49,20	1,37
43	7256000	683128	CF-2974	40,30	0,45	0,52	0,12	0,01	45,10	4,40
44	7256974	683128	CF-2975	39,50	13,00	0,50	0,16	0,01	43,60	3,14
45	7256935	683128	CF-2976	38,20	12,80	0,78	0,12	0,01	46,40	0,77
46	7256900	683127	CF-2977	39,30	10,20	0,75	0,10	0,01	47,70	0,89
47	7256880	683125	CF-2978	41,70	7,00	0,32	0,04	0,01	47,00	3,71
48	7256800	682940	CF-2979	43,20	3,00	0,13	0,02	0,01	53,80	0,97
49	7256775	682954	CF-3000	41,30	5,75	0,34	0,12	0,01	50,90	0,77
50	7256410	683125	CF-2981	37,70	10,60	0,62	0,20	0,01	41,90	3,49
51	7256375	683128	CF-2982	39,10	15,00	0,88	0,24	0,01	31,20	12,70
52	7256290	683129	CF-2983	42,70	3,93	0,32	0,10	0,01	49,60	2,43
53	7256275	683125	CF-2984	41,70	6,61	0,36	0,14	0,01	48,70	1,11
54	7256260	683112	CF-2985	43,00	1,12	0,00	0,02	0,01	53,30	0,10
55	7256274	683122	CF-3005	43,50	3,94	0,28	0,24	0,01	47,90	1,44
56	7254743	683255	CF-3026	35,50	22,10	0,32	0,44	0,01	32,20	9,05

TEOR MÉDIO

PR	INSOL	Fe ₂ O ₃	Al ₂ O ₃	Mn O	Ca O	Mg O
41,13	7,61	0,55	0,23	0,03	45,10	4,69

TEOR MÉDIO

PR	INSOL	Fe ₂ O ₃	Al ₂ O ₃	Mn O	Ca O	Mg O
32,87	7,82	0,54	0,19	0,02	47,93	2,08

TEOR MÉDIO

PR	INSOL	Fe ₂ O ₃	Al ₂ O ₃	Mn O	Ca O	Mg O
37,43	17,58	0,60	0,43	0,04	35,7	6,41

TEOR MÉDIO

PR	INSOL	Fe ₂ O ₃	Al ₂ O ₃	Mn O	Ca O	Mg O
40,81	5,94	0,28	0,12	0,01	50,3	0,47

TEOR MÉDIO

PR	INSOL	Fe ₂ O ₃	Al ₂ O ₃	Mn O	Ca O	Mg O
41,13	7,61	0,55	0,23	0,03	45,10	4,69

TEOR MÉDIO

PR	INSOL	Fe ₂ O ₃	Al ₂ O ₃	Mn O	Ca O	Mg O
40,46	9,41	0,61	0,74	0,01	40,85	4,57

69	7256075	683125	CF-3003	41,40	4,00	0,27	0,24	0,01	49,20	0,70
70	7256055	683125	CF-3004	41,70	4,20	0,28	0,25	0,01	48,80	0,70
71	7256035	683125	CF-3005	41,70	4,20	0,28	0,25	0,01	48,80	0,70
72	7256015	683125	CF-3006	41,70	4,20	0,28	0,25	0,01	48,80	0,70
73	7255995	683125	CF-3007	41,70	4,20	0,28	0,25	0,01	48,80	0,70
74	7255975	683125	CF-3008	41,70	4,20	0,28	0,25	0,01	48,80	0,70
75	7255955	683125	CF-3009	41,70	4,20	0,28	0,25	0,01	48,80	0,70
76	7255935	683125	CF-3010	41,70	4,20	0,28	0,25	0,01	48,80	0,70
77	7255915	683125	CF-3011	41,70	4,20	0,28	0,25	0,01	48,80	0,70
78	7255895	683125	CF-3012	41,70	4,20	0,28	0,25	0,01	48,80	0,70
79	7255875	683125	CF-3013	41,70	4,20	0,28	0,25	0,01	48,80	0,70
80	7255855	683125	CF-3014	41,70	4,20	0,28	0,25	0,01	48,80	0,70
81	7255835	683125	CF-3015	41,70	4,20	0,28	0,25	0,01	48,80	0,70
82	7255815	683125	CF-3016	41,70	4,20	0,28	0,25	0,01	48,80	0,70
83	7255795	683125	CF-3017	41,70	4,20	0,28	0,25	0,01	48,80	0,70
84	7255775	683125	CF-3018	41,70	4,20	0,28	0,25	0,01	48,80	0,70
85	7255755	683125	CF-3019	41,70	4,20	0,28	0,25	0,01	48,80	0,70
86	7255735	683125	CF-3020	41,70	4,20	0,28	0,25	0,01	48,80	0,70
87	7255715	683125	CF-3021	41,70	4,20	0,28	0,25	0,01	48,80	0,70
88	7255695	683125	CF-3022	41,70	4,20	0,28	0,25	0,01	48,80	0,70
89	7255675	683125	CF-3023	41,70	4,20	0,28	0,25	0,01	48,80	0,70
90	7255655	683125	CF-3024	41,70	4,20	0,28	0,25	0,01	48,80	0,70
91	7255635	683125	CF-3025	41,70	4,20	0,28	0,25	0,01	48,80	0,70
92	7255615	683125	CF-3026	41,70	4,20	0,28	0,25	0,01	48,80	0,70
93	7255595	683125	CF-3027	41,70	4,20	0,28	0,25	0,01	48,80	0,70
94	7255575	683125	CF-3028	41,70	4,20	0,28	0,25	0,01	48,80	0,70
95	7255555	683125	CF-3029	41,70	4,20	0,28	0,25	0,01	48,80	0,70
96	7255535	683125	CF-3030	41,70	4,20	0,28	0,25	0,01	48,80	0,70
97	7255515	683125	CF-3031	41,70	4,20	0,28	0,25	0,01	48,80	0,70
98	7255495	683125	CF-3032	41,70	4,20	0,28	0,25	0,01	48,80	0,70
99	7255475	683125	CF-3033	41,70	4,20	0,28	0,25	0,01	48,80	0,70
100	7255455	683125	CF-3034	41,70	4,20	0,28	0,25	0,01	48,80	0,70
101	7255435	683125	CF-3035	41,70	4,20	0,28	0,25	0,01	48,80	0,70
102	7255415	683125	CF-3036	41,70	4,20	0,28	0,25	0,01	48,80	0,70
103	7255395	683125	CF-3037	41,70	4,20	0,28	0,25	0,01	48,80	0,70
104	7255375	683125	CF-3038	41,70	4,20	0,28	0,25	0,01	48,80	0,70
105	7255355	683125	CF-3039	41,70	4,20	0,28	0,25	0,01	48,80	0,70
106	7255335	683125	CF-3040	41,70	4,20	0,28	0,25	0,01	48,80	0,70

TEOR MÉDIO

PR	INSOL	Fe ₂ O ₃	Al ₂ O ₃	Mn O	Ca O	Mg O
41,03	8,02	0,48	0,04	0,01	47,34	2,79

[Handwritten Signature]
 DIOLENE L. LOAIZA
 Geólogo - CREA 124/000

ANEXO 4.A

CONVENÇÕES TOPOGRÁFICAS	CONVENÇÕES GEOLÓGICAS	ESCALA GRÁFICA	SITUAÇÃO NO ESTADO	SITUAÇÃO NA FOLHA	NORTE	MINEROPAR
<ul style="list-style-type: none"> Calçário rústico Filito Calçário laminado Quartzito Calçário bandado com níveis brancos 	<ul style="list-style-type: none"> Calçário brechado fétido Metabásico Ca - ocorrência de calcita Área selecionada 					<p>MINEROPAR Minas Gerais - Paraná 4.A</p> <p>Autores: ROGÉRIO FELIPE, ELENIZE</p> <p>Projeto: PROJETO CALÇÁRIO CALCÍTICO</p> <p>Mapa: MAPA LITOQUÍMICO</p>



TEOR MÉDIO

P.R.	INSOL.	Fe ₂ O ₃	Al ₂ O ₃	SiO ₂	CaO	MgO
35,25	7,33	0,63	0,07	0,06	40,40	2,93

88/820181

TEOR MÉDIO

P.R.	INSOL.	Fe ₂ O ₃	Al ₂ O ₃	SiO ₂	CaO	MgO
27,71	15,27	0,95	0,16	0,02	40,21	4,73

TEOR MÉDIO

P.R.	INSOL.	Fe ₂ O ₃	Al ₂ O ₃	SiO ₂	CaO	MgO
35,54	20,70	0,10	0,16	0,098	36,88	5,40

TEOR MÉDIO

P.R.	INSOL.	Fe ₂ O ₃	Al ₂ O ₃	SiO ₂	CaO	MgO
45,38	1,20	0,18	0,088	0,074	32,2	10,08

NUM. AMOIS	P.R.	Fe	Al	Mg	Ca	Si	SO ₄	CO ₂		
1	7254421	682120	CF-3038	40,36	6,39	0,33	0,02	0,01	50,50	1,02
2	7254412	682148	CF-3055	42,76	3,50	0,18	0,12	0,04	52,50	1,04
3	7254407	682150	CF-3056	41,90	3,73	0,25	0,05	0,01	53,50	0,52
4	7254398	682190	CF-3057	40,20	7,07	0,06	0,00	0,01	48,50	1,05
5	7254390	682200	CF-3058	31,70	27,50	1,04	0,12	0,02	24,30	22,00
6	7254385	682200	CF-3059	31,30	11,40	0,50	0,00	0,01	44,20	4,02
7	7254375	682300	CF-3060	34,30	22,30	0,69	0,10	0,04	40,50	1,02
8	7254370	682333	CF-3061	11,54	5,80	0,46	0,00	0,01	50,50	1,44
9	7254167	682405	CF-3062	41,50	5,79	0,40	0,04	0,01	48,30	3,52
10	7254160	682500	CF-3063	40,38	9,49	0,63	0,14	0,01	44,00	3,94
11	7254090	682513	CF-3064	37,40	21,00	0,72	0,02	0,01	43,70	3,50
12	7254085	682520	CF-3065	42,10	4,87	0,45	0,04	0,03	50,70	1,44
13	7254080	682531	CF-3070	28,60	37,20	2,00	0,20	0,01	23,40	1,09
14	7254070	682543	CF-3067	36,10	21,40	1,21	0,06	0,07	31,30	3,07
15	7254067	682554	CF-3068	33,42	25,40	1,98	0,31	0,01	30,50	0,02
16	7254056	682573	CF-3066	41,60	6,04	0,32	0,27	0,01	49,70	0,97
17	7254052	682583	CF-3067	36,70	10,10	0,79	0,24	0,06	46,30	0,36
18	7254046	682598	CF-3081	27,70	39,80	2,41	0,37	0,45	17,10	12,50
19	7254044	682594	CF-3082	35,10	22,20	1,21	0,02	0,01	32,40	0,01
20	7254032	682604	CF-3083	37,00	15,80	0,91	0,05	0,01	43,70	2,06
21	7254020	682615	CF-3084	35,50	20,00	0,68	0,25	0,01	40,20	0,01
22	7254010	682622	CF-3085	41,40	5,71	0,32	0,03	0,01	51,40	0,24
23	7253990	682637	CF-3086	46,00	1,51	0,22	0,13	0,01	30,30	21,70
24	7253985	682640	CF-3087	45,50	1,62	0,20	0,13	0,03	31,30	20,00
25	7253980	682646	CF-3088	47,20	1,10	0,19	0,02	0,01	30,20	21,50
26	7253975	682650	CF-3089	46,60	0,80	0,16	0,05	0,01	32,50	19,70
27	7253968	682658	CF-3090	44,60	0,93	0,13	0,01	0,01	36,70	16,00
28										

Rogério Felipe
 Rogério Felipe
 Eng. Geólogo - CREA 10.000/0-0

ANEXO 4-B

CONVENÇÕES TOPOGRÁFICAS

	CALCÁRIO MEXIÇO
	FILITO
	CALCÁRIO LIMINADO
	QUARTZITO
	CALCÁRIO BANDADO COM NÍVEIS BRANCOS

CONVENÇÕES GEOLÓGICAS

	CALCÁRIO BRECHADO FÉTIDO
	METABÁSICO
	OCORRÊNCIA DE CALCÁR
	ÁREA SELECIONADA



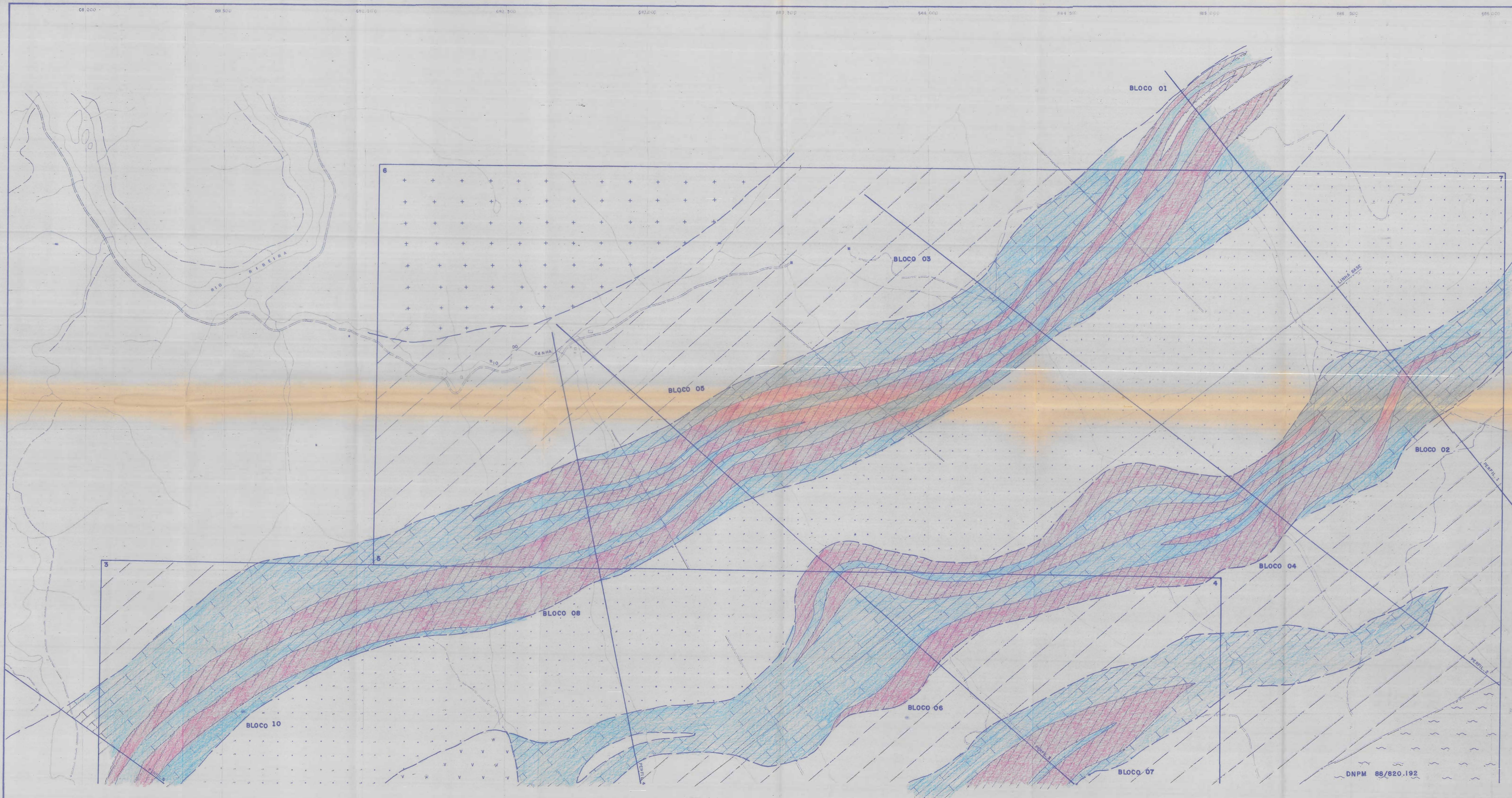
NORTE

MINEROPAR
 Minerais do Paraná S.A.

AUTOR ROGERIO FELIPE	COORDENADORIA DE GEOLOGIA	ELABORADORA
DATA JAN / 92	PROJETO CALCÁRIO CALCÍMICO	
ESCALA 1:5000	MÁSCARA LITOQUÍMICA	
REVISOR ELENIZE		

ANEXO 05 A, B

**Esboço geológico com as faixas de calcário e blocos utilizados no cálculo de reservas -
esc. 1:5.000**



NORTE
N
↑

SITUAÇÃO NO ESTADO

SITUAÇÃO NA FOLHA

ESCALA GRÁFICA

CONVENÇÕES GEOLÓGICAS

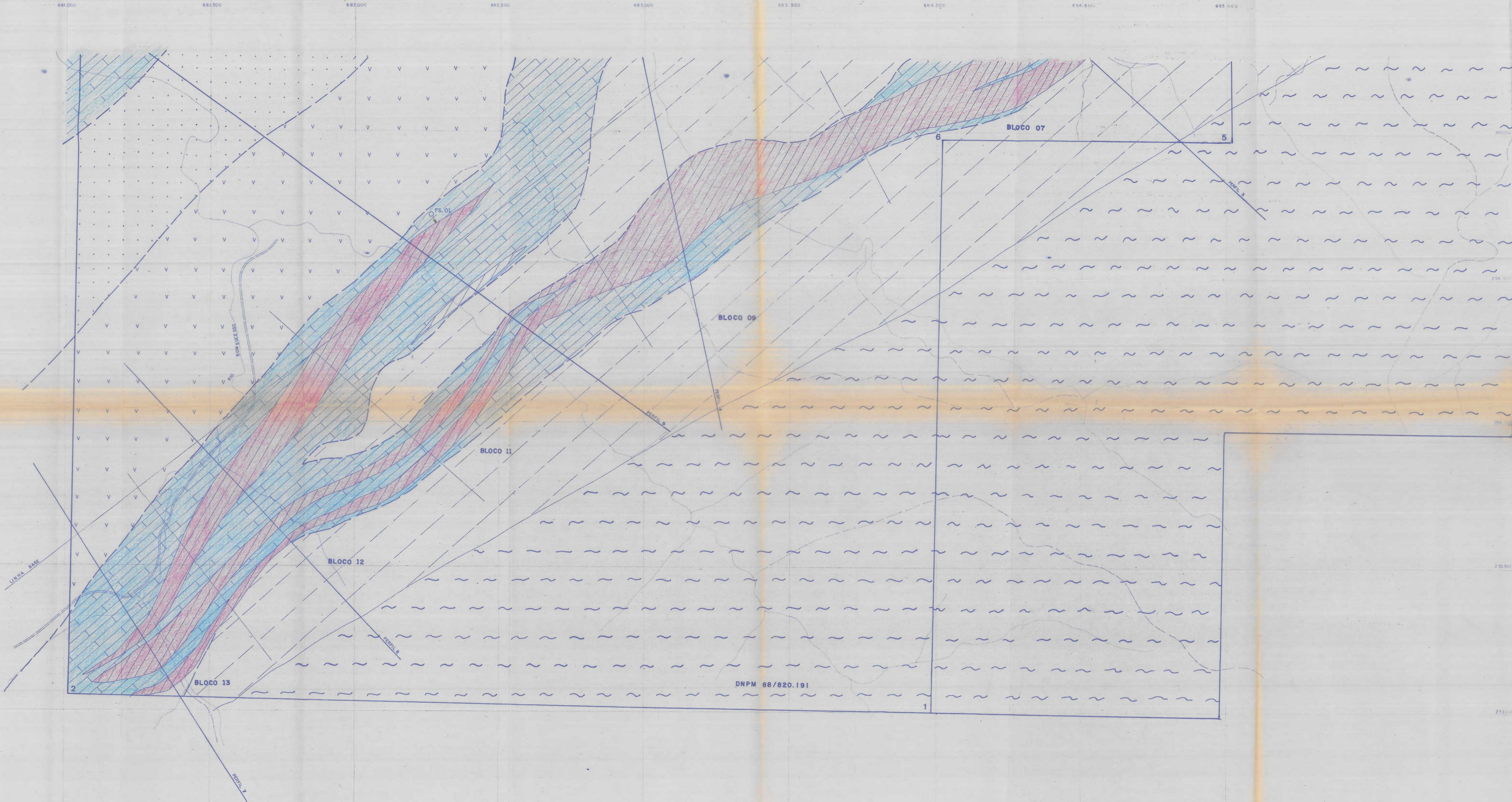
- GRANITO TRES CÓRREGOS
- LITOFÁCIES FILÍTICAS
- LITOFÁCIES QUARTZÍTICA
- LITOFÁCIES CALCÁRIO BANDADO
CALCÁRIO MACIÇO
- FAIXAS UTILIZADAS NA CUBAGEM
- LITOFÁCIES FILONÍTICA

[Handwritten Signature]
Geólogo - C.A.C. 1.215.041.7

MINEROPAR
Minerais do Paraná S.A.

PROSPECTOR	PROSPEC	BASE CARTOGRAFICA
DATA	CALCAREO CALCÍTICO - CERRO AZUL	ANEXO 05-A
ESCALA	Estopo geológico com o indicação das faixas de calcareo e as faixas e blocos utilizados no calculo da cubagem.	
DESENHO	1:5000	

DNPM 88/820.192



DNPM 88/820.191

NORTE
N
↑

SITUAÇÃO NO ESTADO
[Map of Brazil with a grid indicating the location of the study area]

SITUAÇÃO NA FOLHA
[Grid showing the location of the sheet within a larger grid]

ESCALA GRÁFICA
[Graphic scale bar]

CONVENÇÕES GEográfICAS

CONVENÇÕES GEOLÓGICAS

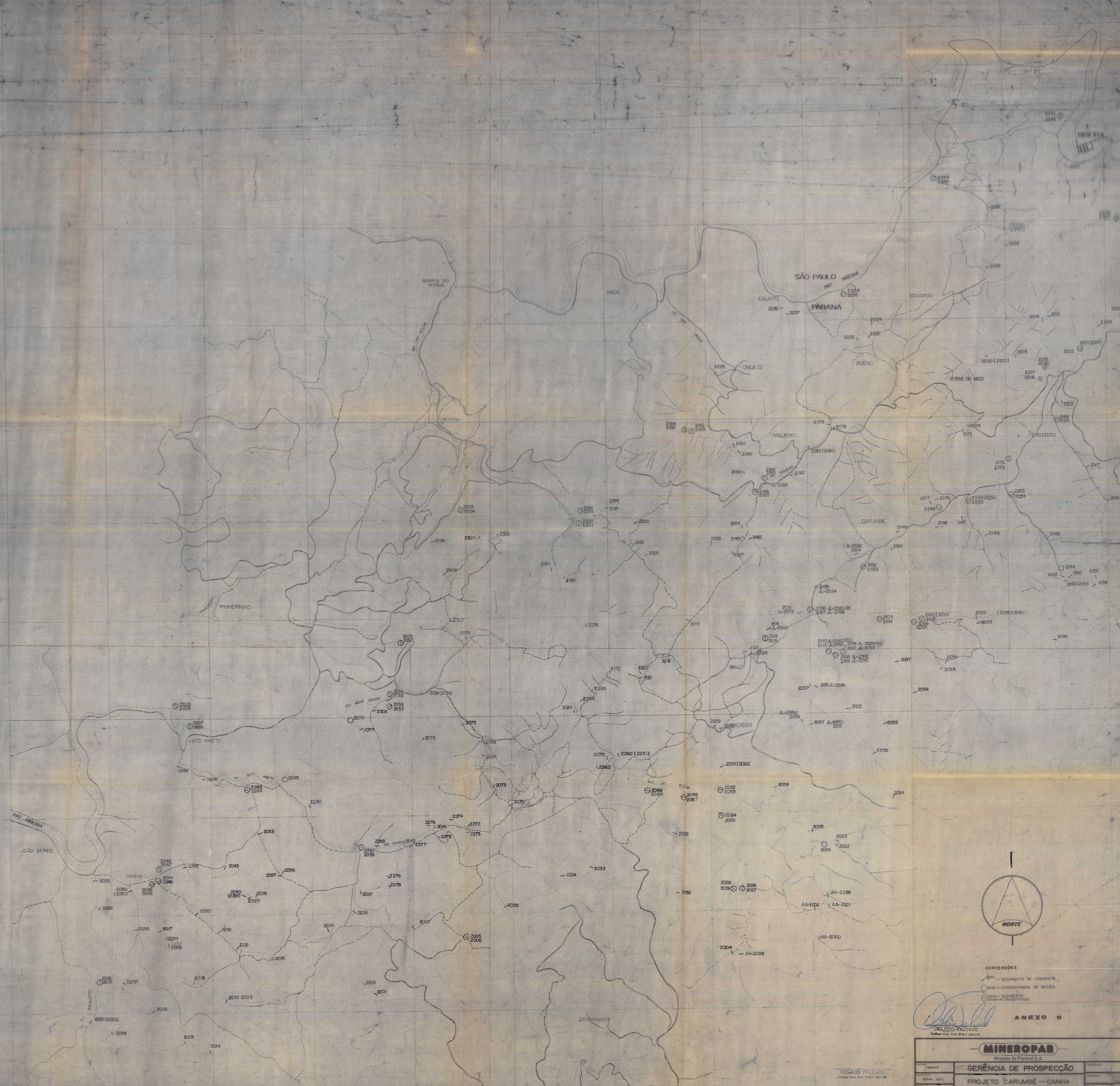
- [Symbol] GRANITO TRES CÓRREGOS
- [Symbol] LITOFÁCIES FILITICOS
- [Symbol] LITOFÁCIES QUARTZÍTICA
- [Symbol] LITOFÁCIES [CALCÁRIO BANDADO / CALCÁRIO MACIÇO]
- [Symbol] FAIXAS UTILIZADAS NA CUBAGEM
- [Symbol] LITOFÁCIES FILONÍTICA

[Handwritten Signature]
[Illegible Name]
Geólogo Col. Prof. D. G. L. G. L.

MINEROPAR Minerais do Paraná S.A.		BASE CARTOGRÁFICA
AUTOR	PROSPEC	
EXECUTOR	CALCÁRIO CALCÍTICO CERRO AZUL	
DATA		
ESCALA	1:5000	
DESENHO	Estopo geológica com a indicação das faixas de calcário e as faixas e blocos utilizados no cálculo da cubagem.	
		ANEXO 05-B

ANEXO 06

**Geoquímica regional - mapa de controle das amostras, esc. 1:25.000
Projeto Canha Carumbé**



- CONVENÇÕES
- - SEDIMENTO DE CORRENTE
 - - SEDIMENTO DE BATEIA
 - - SEDIMENTO DE CONCENTRADO

Dilcio Falcade
 DILCIO FALCADE
 Engenheiro Civil - F. 0750 - C. 0141

ANEXO 6

MINEROPAR Mineração Paraná S.A.		
GERÊNCIA DE PROSPECÇÃO		
PROJETO CARUMBÉ - CANHA		
DILCIO FALCADE Engenheiro Civil - F. 0750 - C. 0141		02 122
MAPA DE CONTROLE DAS AMOSTRAS		

ANEXO 07

**Geoquímica regional - mapa com resultados de chumbo (s.c.), esc. 1:25.000
Projeto Canha Carumbé**



DADOS ESTATÍSTICOS

GERAL INCLUINDO AS CONTAMINAÇÕES
 MG = 34,13 MS = 06,65
 DG = 1,89 MG x DG = 122
 MG x DG = 230

GERAL SEM CONTAMINAÇÕES (226 DADOS)
 MG = 32,83 MS = 06,56
 DG = 1,71 MG x DG = 96
 MG x DG = 163

TRATAMENTOS POR POPULAÇÕES

FLOMITOS E = 1251
 N = 47
 X = 25

CLÁSTICA E = 205
 N = 8
 X = 25,6

GRANITO E = 416
 N = 10
 X = 41,6

CARBONATOS E = 5468
 N = 100
 X = 54,7

() AMOSTRA DUPLICATA
 () AMOSTRA REPLICATA

ANEXO 7

MINEROPAR	
Auxiliar de Mineração do Paraná Ltda.	
PARANÁ	PROJETO CASUMBA - CANHA
CERRO AZUL	MAPA COM RESULTADO DE CHUMBO (SERIE DE CURR)
ESCALA 1:25.000	80 120
06/72	
 Responsável Técnico	

ANEXO 08

**Geoquímica regional - mapa com resultados de flúor (c.b.), esc. 1:25.000
Projeto Canha Carumbé**



ANÁLISES QUÍMICA DOS CONCENTRADOS DE BATELA FLUOR 50 AMOSTRAS

MG	40,26
DS	2,78
MG x DS	111,07
MG x DS	311,43
MG x DS	866,61

AV - 3ª ORDEM - 112,00
 AN - 2ª ORDEM - 311,00
 AR - 1ª ORDEM - 866,00

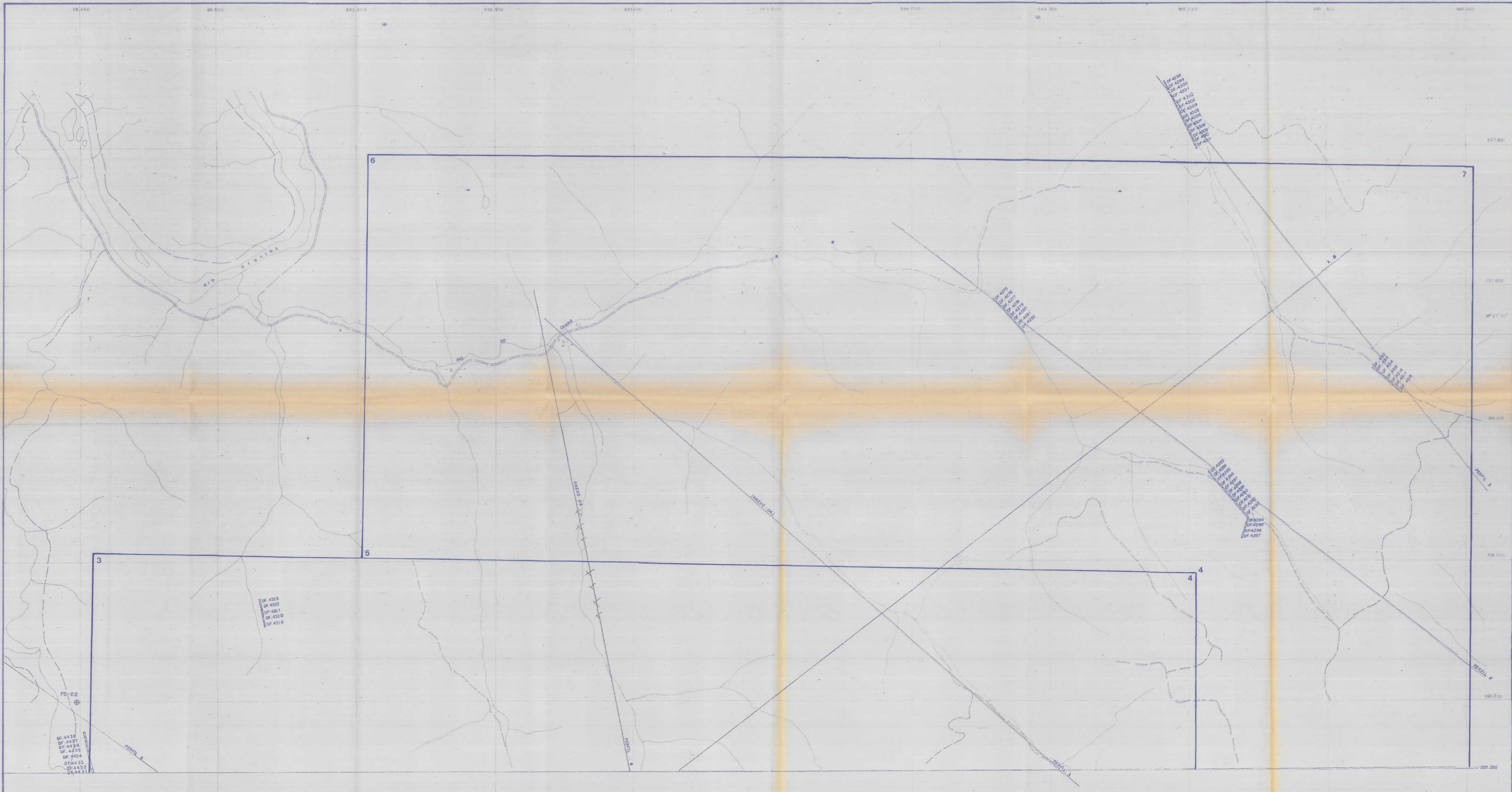
□ - AMOSTRAGEM PUNTO GIÁLIO
 ○ - AMOSTRAGEM PUNTO SERRA DO MICO

[Handwritten Signature]
 ANEXO B

MINEROPAR Mineração do Paraná S.A.	
GERÊNCIA DE PROSPECÇÃO	
PROJETO GARUMBÉ - CANHA	
MAPA COM RESULTADO DE FLUOR (Concentrado de batela)	
BD 121	

ANEXO 09 A, B

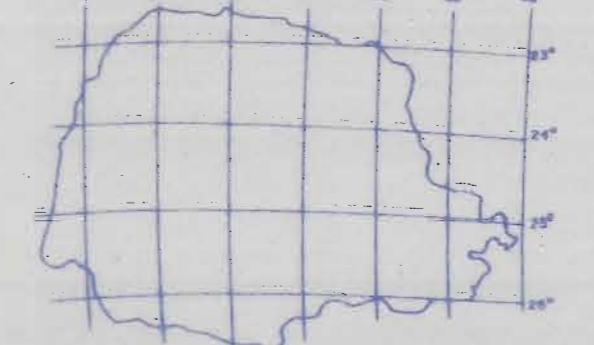
Mapa de localização de amostragem litoquímica



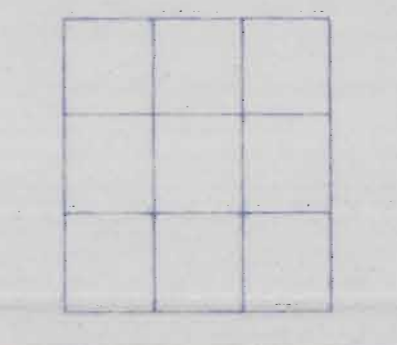
NORTE



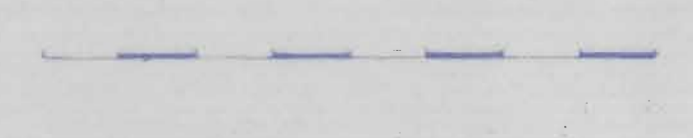
SITUAÇÃO NO ESTADO



SITUAÇÃO NA FOLHA



ESCALA GRÁFICA



CONVENÇÕES GEOGRÁFICAS



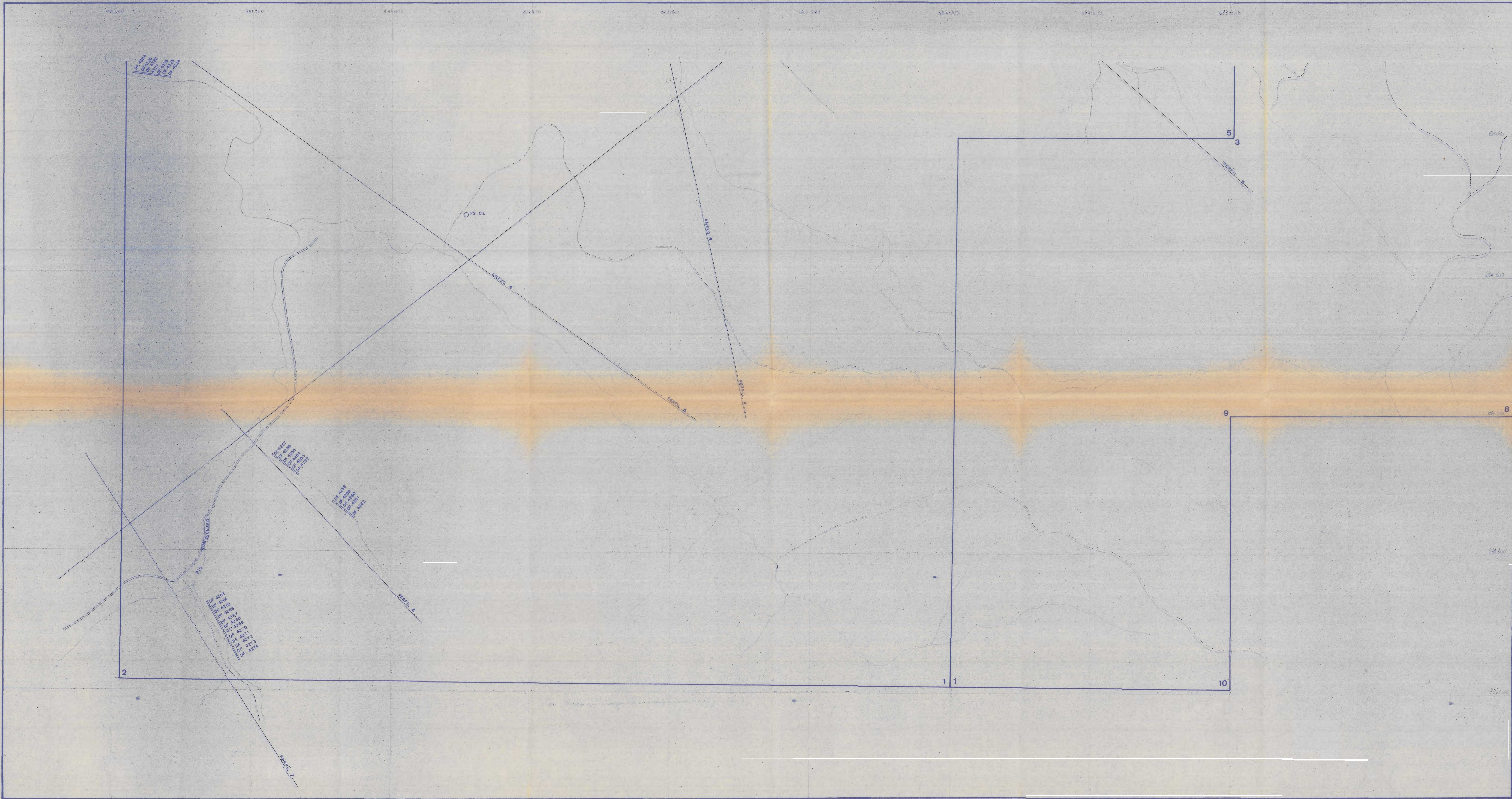
CONVENÇÕES GEOLÓGICAS



[Handwritten Signature]
 Engenheiro de Minas, CREA 21.000/0-0
 Curitiba - Paraná, Brasil

MINEROPAR
 Minerais do Paraná S.A.

AUTOR	PROSPÉC	BASP CARTOGRAFICA
EXECUTOR	SALGÁRIO CALCÍFICO BARRAZÃO	ANEXO 09-A
DATA	Mapa de Localização de Coleta das Amostras Litológicas	
ESCALA	1:5000	
DESENHO		



NORTE
N
↑



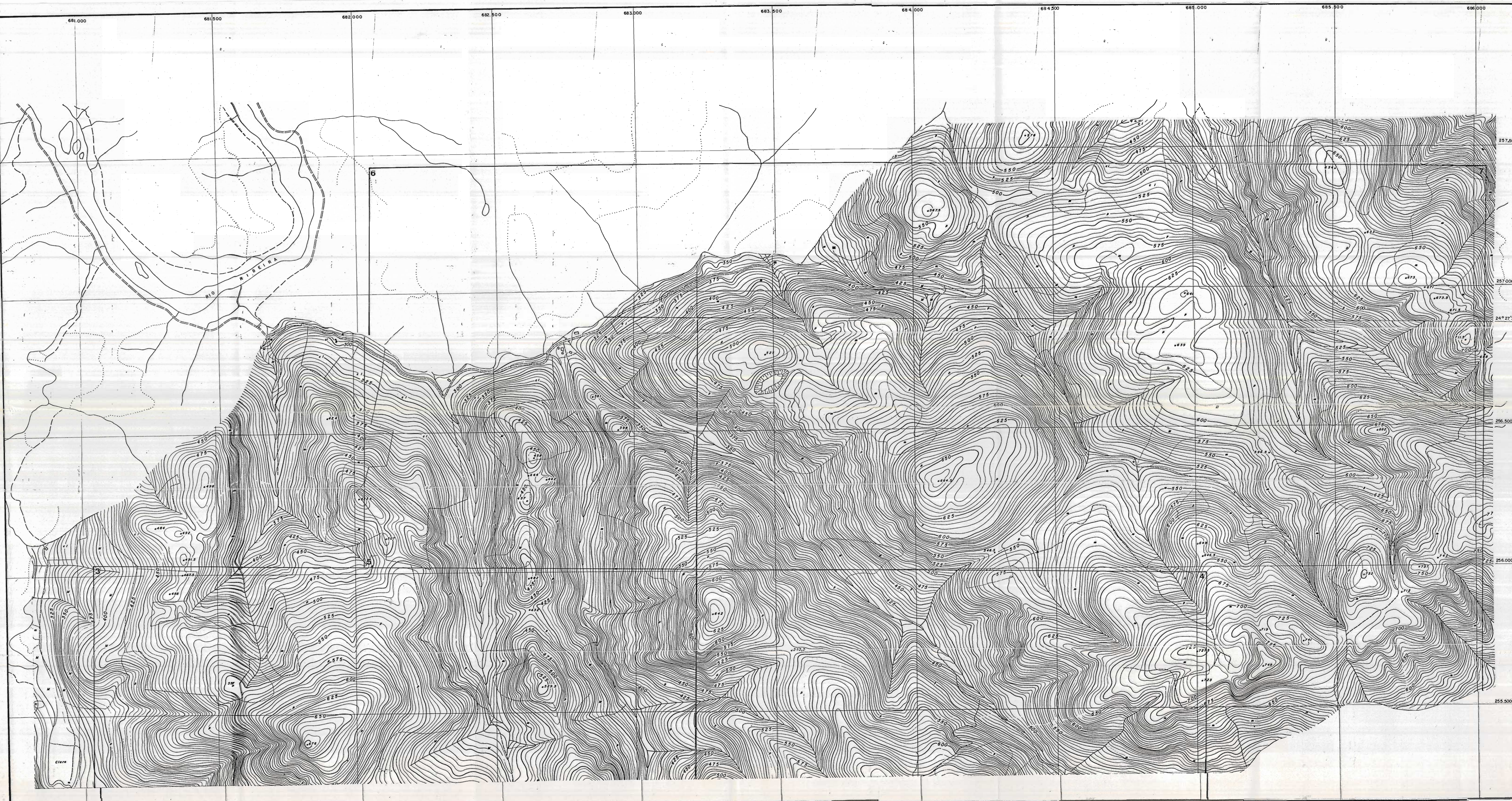
CONVENÇÕES GEGRÁFICAS

CONVENÇÕES GEOLÓGICAS

MINEROPAR Minerais do Paraná S/A		
AUTOR	PRUSPEC	BASE CARTOGRAFICA ANEXO 09 B
EXECUTOR	CALCÁRIO CALCÍCO CERRO AZUL	
DATA	Mapa de Localização de Coleta das Amostras Litológicas	
ESCALA	1:5.000	
DESENHO		

ANEXO 10, A, B

Mapa topográfico



NORTE

SITUAÇÃO NO ESTADO

SITUAÇÃO NA FOLHA

ESCALA GRÁFICA

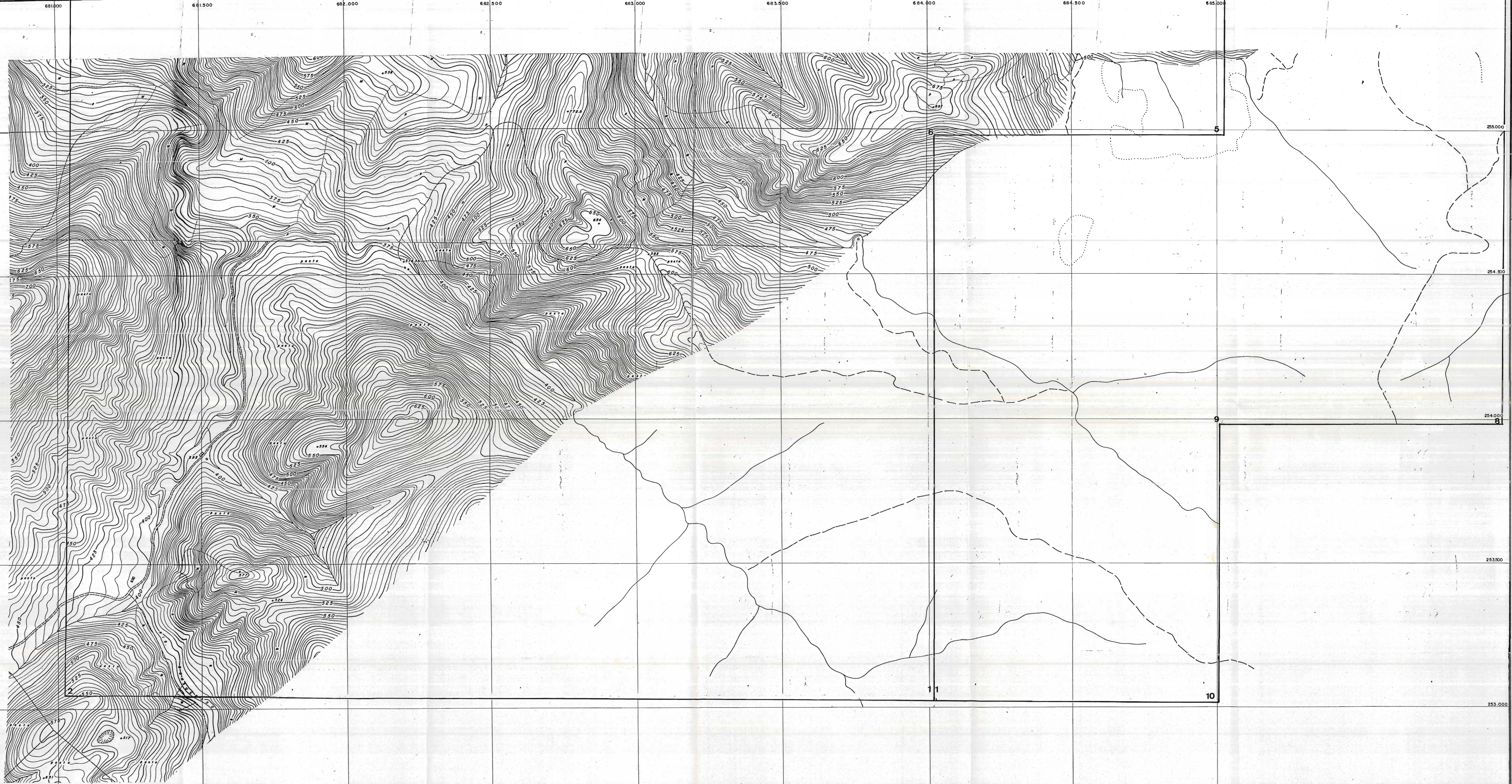
CONVENÇÕES GEOGRÁFICAS

CONVENÇÕES GEOLÓGICAS

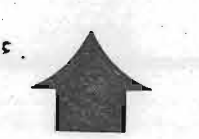
Dr. Eng. PALOMBE
Geólogo - Tit. grau. CATAMB.

MINIROPAR
Minerais do Paraná S.A.

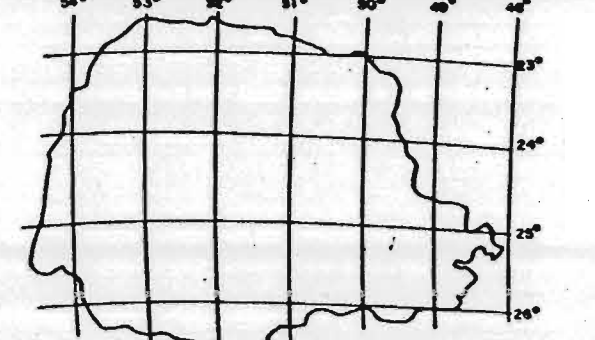
AUTOR	PROSPEC	BASE CARTOGRÁFICA
EXECUTOR	CALCÁRIO CALCÍTEO CERRO AZUL	ANEXO 10
DATA		A
ESCALA	MAPA TOPOGRÁFICO	
DESENO		



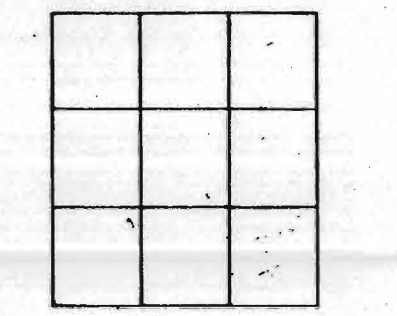
NORTE



SITUAÇÃO NO ESTADO



SITUAÇÃO NA FOLHA



ESCALA GRÁFICA



CONVENÇÕES GEGRÁFICAS

CONVENÇÕES GEOLÓGICAS

[Handwritten Signature]
 DOUTOR FALCADE
 Geólogo - Cart. Prof. 07840 - 04/04/76

MINEROPAR
 Minerais do Paraná S.A.

AUTOR	PROSPEC	BASE CARTOGRÁFICA
EXECUTOR	CALCÁRIO CALCÍTICO CERRO AZUL	ANEXO 10
DATA		B
ESCALA	1:5.000	
DESENHO	MAPA TOPOGRÁFICO	

ANEXO 11

Perfis utilizados para cálculo da cubagem

ANEXO 12

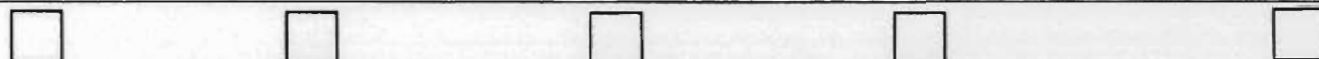
Perfis de sondagem

Programa: CALCÁRIO CALCÍTIPO Prospecto: CANHA Data: _____

Furo: FS-01 Cota: _____ Prof: _____ Diâmetro: NX Inclinações: 45º

Coord. utm: _____ Recup. média: _____ Executor: _____ Descrição: _____

LEGENDA



MANOBRA	RECUP. (%)	RECUP. (metros)	PROFUNDIDADE	COLUNA LITOLÓGICA	DESCRIÇÃO LITOLÓGICA	PERDA AO FOGO	INS. EM HCL	FE ₂ O ₃	AL ₂ O ₃	MnO	CaO	MgO	NÚMERO DE CAMPO
			5		SOLO NÃO RECUPERADO								
12,55													
13,35	100%	1,30			CALCÁRIO MACIÇO CINZA						30,7	17,2	DF-44.39
14,25	87,5%	0,35			CLARO, GRANULAÇÃO FINA								
15,25	100%	1,00	15								28,9	18,3	DF-44.40
	84,3%	2,15											
17,80											35,3	15,2	DF-44.41
	54,5%	1,20											
20,00			20								44,7	4,96	DF-44.42
	60,2%	2,35											
23,90					CALCÁRIO FOLIADO						48,9	4,37	DF-44.44
					CINZA ESCURO, GRANULAÇÃO FINA								
	55,7%	1,70	25								50,2	< 0,1	DF-44.45
26,95													
	100%	3,05									50,7	< 0,1	DF-44.46
30,00			30										
	100%	2,75									50,7	0,39	DF-44.47
32,75													
	100%	1,60									50,3	< 0,1	DF-44.49
34,25													
34,90	100%	0,55											
35,80	100%	0,80	35										
											50,8	< 0,1	DF-44.50
	33,3%	0,65									48,3	< 0,1	DF-44.51
37,75													
38,15	100%	0,40											
39,00	100%	0,85											
											50,1	< 0,1	DF-44.52
41,00			40										
	100%	2,00									47,2	0,39	DF-44.53
	94,4%	1,70											
42,80													
	100%	0,80									50,6	< 0,1	DF-44.54
43,60													
	100%	3,05	45										
46,65													
	100%	2,75									46,3	< 0,1	DF-44.56
49,40													
	100%	2,00	50								49,8	< 0,1	DF-44.57
51,40													
	100%	2,00									50,3	< 0,1	DF-44.58

Programa: CALCÁRIO CALCÍFICO Prospecto: CANHA Data: _____
 Furo: FS-02 Cota: _____ Prof: _____ Diâmetro: NX Inclinações: 45º
 Coord. utm: _____ Recup. média: _____ Executor: _____ Descrição: _____

LEGENDA

MANOBRA	REQUJ (%)	RECUJ(metros)	PROFUNDIDA DE	COLUNA LITOLÓGICA	DESCRIÇÃO LITOLÓGICA	PERDA AO FOGO	INS EM HCL	FE ₂ O ₃	AL ₂ O ₃	MnO	CaO	MgO	NÚMERO DE CAMPO	
4,05					SOLO NÃO RECUPERADO									
6,05	48,7	1,00	5		CALCÁRIO CINZA CLARO LAMINADO COM ABUNDANTES INTERCALAÇÕES DE MATERIAL TERRÍGENO						5,36	0,67	DF-4647	
7,85	61,1	1,10										4,55	1,10	DF-4648
8,95	90,9	1,00										8,04	0,84	DF-4649
10,60	78,7	1,30	10									10,4	1,18	DF-4650
11,55	100	0,95												
12,15	100	0,60												
14,25	14	0,30										5,48	1,01	DF-4651
15,30	66,6	0,70	15									17,7	0,67	DF-4652
16,00	50	0,35												
18,30	47,8	1,10										21,1	4,45	DF-4653
20,55	44,4	1,00	20									28,0	1,93	DF-4654
23,00	87,7	2,15										42,1	0,76	DF-4655
24,80	100	1,80										49,2	0,42	DF-4656
25,90	63,6	0,70	25									45,4	4,62	DF-4657
26,85	100	0,95										30,0	1,01	DF-4658
27,50	-	-												
28,90	100	1,40									29,4	1,76	DF-4659	
30,30	100	1,40	30											
31,10	87,5	0,70									19,1	15,2	DF-4660	
32,10	80	0,80												
33,35	100	1,25									24,1	15,7	DF-4661	
34,85	100	1,50												
35,35	50	0,50	35								22,4	14,1	DF-4662	
36,35	95	0,95												
37,50	86,9	1,00									23,2	15,7	DF-4663	

ANEXO 13
Laudo de análises químicas



RELATÓRIO DE ENSAIO - 5.221 - 21993/94

MATERIAL: CALCÁRIO CALCÍFICO - Am. KS 528 - Lote e Memo: 006/94
 Área: Calcário Calcífico Cerro Azul
 (Data de entrada: 26/04/94)

PROCEDÊNCIA:

REMIENTE: MINEROPAR MINERAIS DO PARANÁ S/A - COGEO

ENDEREÇO: Rua Constantino Harochi, 800 - Curitiba / PR

A presente análise tem seu valor válido somente à amostra entregue no Instituto. O presente Documento é emitido em 1 via original, responsabilizando o Instituto apenas pela veracidade desta via.

1. ANÁLISE QUÍMICA

Perda por calcinação:	42,6%
Insolúvel em HCl:	2,89%
Óxido de Ferro (Fe_2O_3):	0,35%
Óxido de Alumínio (Al_2O_3):	menor que 0,10%
Óxido de Manganês (MnO):	menor que 0,01%
Óxido de Cálcio (CaO):	57,9%
Óxido de Magnésio (MgO):	0,24%

2. OBSERVAÇÕES

Material como recebido.

3. METODOLOGIA

Vogel, Análise Inorgânica Quantitativa, 4ª Edição, Editora Guanabara, Rio de Janeiro, RJ, 1981.

Analytical Methods for Flame Spectroscopy, Varian Techtron, 1972.

Curitiba, 25 de abril de 1994.

Lea Carmen L. Fontaneli

LEA CARMEN L. FONTANELI
 Téc. Quím. CRQ/9a 09400083

Quelcy Barbeiros Corrêa

QUELCY BARBEIROS CORRÊA
 Eng. Quím. CRQ/9a 09301063
 Gerente da Divisão de Química Inorgânica

AMOSTRA ENVIADA PARA CARACTERIZAÇÃO TECNOLÓGICA

RELATÓRIO DE ENSAIO - 5.221 - 95000815

MATERIAL: CALAGEM COLÉTIPO URBANO AZUL (A/P a P/1)
 (Data de entrada: 14/07/95)
 Fornecedor: 0001-75

PROCEDENCIA: CAUHA

IDENTIFICANTE: UNID. DARRIO RIVIERE DO PARANÁ SZA

ENDEREÇO: Rua Eng. Luciano Harochi, 400 - Curitiba / PR

A presente análise tem seu valor restrito somente à amostra entregue no Instituto. O presente Documento é emitido em 1 via original, respondendo o Instituto apenas pela veracidade desta via.

1. ANÁLISE QUÍMICA

Amostras	Oxido de Cálcio (% CaO)	Oxido de Magnésio (% MgO)
DE 4252 - 601 - 255 (0,1)	52,2✓	Menor que 0,1
DE 4253 - 601 - 275 (0,1)	52,5✓	Menor que 0,1
DE 4254 - 601 - 277 (0,1)	52,0✓	Menor que 0,1
DE 4255 - 601 - 280 (0,1)	53,0✓	Menor que 0,1
DE 4256 - 601 - 277 (0,1)	51,5✓	0,56
DE 4257 - 601 - 300 (0,1)	51,4	8,5
DE 4258 - 601 - 301 (0,1)	51,0✓	0,24
DE 4259 - 601 - 301 (0,1)	48,0✓	1,43
DE 4260 - 601 - 302 (0,1)	49,0	2,70
DE 4261 - 601 - 304 (0,1)	56,2	4,29
DE 4262 - 601 - 305 (0,1)	48,7	Menor que 0,1
DE 4263 - 601 - 305 (0,1)	51,6✓	0,16
DE 4264 - 601 - 307 (0,1)	51,0✓	Menor que 0,1
DE 4265 - 601 - 324 (0,1)	53,5	4,84
DE 4266 - 601 - 307 (0,1)	51,4✓	Menor que 0,1

2. OBSERVAÇÃO

Material como recebido.

3. METODOLOGIA

Volúel. análise Inorgânica Brasileira, 4ª Edição, Editora Guanabara, Rua do Cosme, P.L. 1901.

Curitiba, 11 de abril de 1995.

L. Fontaine

LÉA CARMEN L. FONTAINE
 Téc. Quím. CRB/75 - 09301063

Quely Barreiros Correa

QUELY BARREIROS CORREA
 Eng. Quím. CRB/75 - 09301063
 Direção da Divisão de Química Inorgânica

RELATORIO DE ENSAIO - 5.221 - 95000816

MATERIAL: FALCARIO FACILITADO CERRO AZUL (A/P a P/P)
 (Data de entrada: 14/03/95)
 Fato e Bomo: 001/95

PROCEDENCIA: CANHA

REMETENTE: HILBERBERT FUHRENS DO FORANO S/A

ENDEREÇO: Rua Consteladino Marochi, 800 - Curitiba / PR

A presente análise tem seu valor restrito somente à amostra entregue no Instituto. O presente Documento é emitido em 1 via original, respondendo o Instituto apenas pela veracidade desta via.

1. ANALISE QUIMICA

Amostras	Oxido de Cálcio (% CaO)	Oxido de Magnésio (% MgO)
DF 4267 - 601 - 319 (0.13)	51,0	1,16
DF 4268 - 601 - 311 (0.13)	45,4	5,56
DF 4269 - 601 - 312 (0.13)	49,9	1,27
DF 4270 - 601 - 313 (0.13)	51,5	0,56
DF 4271 - 601 - 314 (0.13)	52,3	13,6
DF 4272 - 601 - 315 (0.13)	39,7	11,4
DF 4273 - 601 - 316 (0.13)	47,9	5,72
DF 4274 - 601 - 317 (0.13)	46,4	0,79
DF 4275 - 601 - 318 (0.13)	47,1	1,59
DF 4276 - 601 - 319 (0.13)	38,6	5,16
DF 4277 - 601 - 320 (0.13)	42,7	3,25
DF 4278 - 601 - 321 (0.13)	47,2	1,99
DF 4279 - 601 - 322 (0.13)	48,0	1,98
DF 4280 - 601 - 323 (0.13)	41,5	5,40
DF 4281 - 601 - 324 (0.13)	43,6	4,29

2. OBSERVAÇÃO

Material como recebido.

3. METODOLOGIA

- Vogel, Análise Inorgânica Quantitativa, 4ª Edição, Editora Guanabara, Rio de Janeiro, 1961.

Curitiba, 11 de abril de 1995.

L. Fontanelli

LÉA CARMEN L. FONTANELLI
 Téc. Quím. CRQ/9ª - 09409013

Quelcy Barreiros Correia

QUELCY BARREIROS CORREIA
 Eng. Quím. CRQ/9ª - 09301063
 Gerente da Divisão de Química Inorgânica

RELATÓRIO DE ENSAIO - 5.221 - 95000B17

MATERIAL: CEMENTO PORTLAND TIPO 6250 (N/F e P/F)
 Fornecedor: Fátima (95)
 Endereço: Fátima (95)

PROCEDENCIA: CANHA

REMETENTE: FIBRILINDAS INDUSTRIAIS DO PARANÁ S/A

ENDEREÇO: Rua Comendador Narciso, 809 - Curitiba / PR

A presente análise tem seu valor restrito somente à amostra entregue no Instituto. O presente Documento é emitido em 1 via original, respondendo o Instituto apenas pela veracidade desta via.

1. ANÁLISE QUÍMICA

Amostras	Oxido de Cálcio (% CaO)	Oxido de Magnésio (% MgO)
DF 4233 - 001 - 5,75 (11,1%)	51,2	Menor que 0,1
DF 4233 - 001 - 7,25 (14,5%)	47,1	2,22
DF 4234 - 001 - 1,75 (3,5%)	50,0	0,32
DF 4235 - 001 - 3,25 (6,5%)	49,5	3,57
DF 4236 - 001 - 4,75 (9,5%)	49,1	3,50
DF 4237 - 001 - 6,25 (12,5%)	47,2	2,46
DF 4238 - 001 - 7,75 (15,5%)	45,2	3,18
DF 4239 - 001 - 9,25 (18,5%)	43,5	0,1
DF 4290 - 001 - 10,75 (21,5%)	44,7	0,40
DF 4291 - 001 - 12,25 (24,5%)	41,3	Menor que 0,1
DF 4292 - 001 - 13,75 (27,5%)	41,5	0,16
DF 4293 - 001 - 15,25 (30,5%)	41,0	1,35
DF 4294 - 001 - 16,75 (33,5%)	40,8	1,27
DF 4295 - 001 - 18,25 (36,5%)	40,9	2,46
DF 4296 - 001 - 19,75 (39,5%)	39,5	1,19

2. OBSERVAÇÃO

Não há observações.

3. METODOLOGIA

Volum. Análise Volumétrica Quantitativa, 4ª Edição, Editora Guanabara, Rio de Janeiro, 1961.

Curitiba, 11 de abril de 1995.

Fontanelli
LÉA CARMEN L. FONTANELLI
 Téc. Quím. CRQ/9ª - 09301063

Quelcy Barreiros Correa
QUELCY BARREIROS CORREA
 Eng. Quím. CRQ/9ª - 09301063
 Gerente da Divisão de Química Inorgânica

RELATÓRIO DE ENSAIO - 5.221 - 95000B18

MATERIAL: CEMENTO PORTLAND TIPO 5/III (N/P a P/P)
 (Data de entrada: 14/03/95)
 Fabricação: 001475

PROCEDÊNCIA: CAMHÁ

REMETENTE: INSTITUTO DE TECNOLOGIA DO PARANÁ S/A

ENDEREÇO: Rua Comendador Narciso, 100 - Curitiba / PR

A presente análise tem seu valor restrito somente à amostra entregue no Instituto. O presente Documento é emitido em 1 via original, respondendo o Instituto apenas pela veracidade desta via.

1. ANÁLISE QUÍMICA

Amostras			Oxido de Cálcio (% CaO)	Oxido de Magnésio (% MgO)
DF 4297	at 1	540 (at 1)	48,4	1,43
DF 4298	at 1	541 (at 1)	44,8	3,01
DF 4299	at 1	542 (at 1)	45,6	0,87
DF 4300	at 1	543 (at 1)	39,7	4,13
DF 4301	at 1	544 (at 1)	47,4	1,27
DF 4302	at 1	545 (at 1)	44,7	3,01
DF 4303	at 1	546 (at 1)	47,7	1,43
DF 4304	at 1	547 (at 1)	55,0	7,31
DF 4305	at 1	548 (at 1)	49,7	6,59
DF 4306	at 1	549 (at 1)	51,1	10,8
DF 4307	at 1	550 (at 1)	46,8	1,99
DF 4308	at 1	551 (at 1)	46,4	1,51
DF 4309	at 1	552 (at 1)	45,1	5,0
DF 4310	at 1	553 (at 1)	59,6	Menor que 0,1
DF 4311	at 1	554 (at 1)	51,3	Menor que 0,1

2. OBSERVAÇÃO

Material como recebido.

3. METODOLOGIA

- Vogel. Análise Química Quantitativa, 4ª Edição, Editora Guanabara, Rio de Janeiro, Ed. 1981.

Curitiba, 11 de abril de 1995.

Lea Carmen L. Fontanelli

LÉA CARMEN L. FONTANELLI
 Téc. Quím. CRU/9ª - 09301063

Quelcy Barneiros Correa

QUELCY BARNEIROS CORREA
 Eng. Quím. CRU/9ª - 09301063
 Responsável da Divisão de Química
 Inorgânica

RELATÓRIO DE ENSAIO - 5.221 - 95000821

MATERIAL: CIMENTO PORTLAND TIPO 4250 (O/P A P/P)
 (O/P - 4250 - 4250 - 4250/4250)
 (P/P - 4250 - 4250/4250)

PROCEDÊNCIA: CANHA

REMETENTE: INSTITUTO DE TECNOLOGIA DO PARANÁ S/A

ENDEREÇO: Rua dos Funcionários, 1157 - Curitiba / PR

A presente análise foi realizada exclusivamente à amostra entregue ao Instituto. O presente Documento é emitido em 1 via original, respondendo o Instituto apenas pela veracidade desta via.

1. ANÁLISE QUÍMICA

Amostras			Óxido de Cálcio (% CaO)	Óxido de Magnésio (% MgO)
DE 4312	60.1	50.7 (4250)	46.5	2.62
DE 4313	60.1	50.7 (4250)	50.5	0.37
DE 4314	60.1	50.7 (4250)	51.0	11.11
DE 4315	60.1	50.7 (4250)	51.5	12.0
DE 4316	60.1	50.7 (4250)	52.0	13.3
DE 4317	60.1	50.7 (4250)	52.1	13.4
DE 4318	60.1	50.7 (4250)	52.9	15.4
DE 4319	60.1	50.7 (4250)	47.7	1.75
DE 4320	60.1	50.7 (4250)	49.0	0.63
DE 4321	60.1	50.7 (4250)	49.3	0.79
DE 4322	60.1	50.7 (4250)	47.7	Menor que 0.1
DE 4323	60.1	50.7 (4250)	49.0	0.16
DE 4324	60.1	50.7 (4250)	51.16	Menor que 0.1
DE 4325	60.1	50.7 (4250)	51.07	1.03
DE 4326	60.1	50.7 (4250)	51.17	1.35

2. OBSERVAÇÃO

MATERIAL COMO RECEBIDO

3. METODOLOGIA

Segui análise química com o método clássico, 4ª Edição, Editora Guanabara - Rio de Janeiro - RJ, 1961

Curitiba, 11 de abril de 1995.

L. Carmin L. Lohianelli

LÉA CARMEN L. LOHIANELLI
 Téc. Quím. CRQ/2ª - 02180901-2

Quelcy Barreiros Corrêa

QUELCY BARREIROS CORRÊA
 Eng. Quím. CRQ/9ª - 09301063
 Responsável da Divisão de Química
 Inorgânica

RELATORIO DE ENSAIO - 5.221 - 95000822

MATERIAL: CALCÁRIO CALCÍTICO CERRO AZUL (A/P a P/P)
 (Data de entrada: 14/03/95)
 Lote e Memo: 001/95

PROCEDENCIA: CANHA

REMETENTE: MINEROPAR MINERAIS DO PARANÁ S/A

ENDEREÇO: Rua Constantino Marochi, 800 - Curitiba / PR

A presente análise tem seu valor restrito somente à amostra entregue no Instituto. O presente Documento é emitido em 1 via original, respondendo o Instituto apenas pela veracidade desta via.

1. ANÁLISE QUÍMICA

Amostras	Oxido de Cálcio (% CaO)	Oxido de Magnésio (% MgO)
DF 4327 - ACI - 370 (A/P)	32,8	17,1
DF 4328 - ACI - 371 (B/P)	34,3	16,1
DF 4329 - ACI - 372 (C/P)	35,9	15,3
DF 4330 - ACI - 373 (D/P)	51,0	Menor que 0,1
DF 4431 - ACI - 374 (E/P)	48,9	0,40
DF 4432 - ACI - 375 (F/P)	33,5	13,4
DF 4433 - ACI - 376 (G/P)	25,7	15,5
DF 4434 - ACI - 377 (H/P)	38,3	10,1
DF 4435 - ACI - 378 (I/P)	52,8	1,03
DF 4436 - ACI - 379 (J/P)	38,2	10,5
DF 4437 - ACI - 380 (L/P)	35,7	8,18
DF 4438 - ACI - 381 (M/P)	32,1	10,1
DF 4439 - ACI - 382 (N/P)	30,7	17,2
DF 4440 - ACI - 383 (O/P)	28,9	18,3
DF 4441 - ACI - 384 (P/P)	35,3	15,2

Furo
500g.

2. OBSERVAÇÃO

Material como recebido.

3. METODOLOGIA

- Vogel. Análise Inorgânica Quantitativa, 4ª Edição, Editora Guanabara, Rio de Janeiro, RJ, 1981.

Curitiba, 11 de abril de 1995.

L. Fontanelli

LÉA CARMEN L. FONTANELLI
 Téc.Quim.CRQ/9ª 09400083

Quelcy Barreiros Correa

QUELCY BARREIROS CORREA
 Enq.Quim.CRQ/9ª 09301063
 Gerente da Divisão de Química Inorgânica

LL

[Handwritten mark]

RELATÓRIO DE ENSAIO - 5.221 - 95000B23

MATERIAL: COLORETE COLÉTILO (TIPO AZUL) (A/R e R/R)
 (Data de entrada: 14/03/95)
 Lote e Marca: 001/95

PROCEDÊNCIA: CANHA

REMETENTE: MINERUPAR MINERAIS DO PARANÁ S/A

ENDEREÇO: Rua Constantino Marochi, 800 - Curitiba / PR

A presente análise tem seu valor restrito somente à amostra entregue no Instituto. O presente Documento é emitido em 1 via original, respondendo o Instituto apenas pela veracidade desta via.

1. ANÁLISE QUÍMICA

Amostras	Oxido de Cálcio (% CaO)	Oxido de Magnésio (% MgO)
↑ DF 4442 - ACI - 385 (A/R)	44,7	4,96
DF 4443 - ACI - 386 (H/R)	44,4	6,27
DF 4444 - ACI - 387 (C/R)	48,9	4,37
DF 4445 - ACI - 388 (D/R)	50,2	Menor que 0,1
DF 4446 - ACI - 389 (E/R)	50,7	Menor que 0,1
DF 4447 - ACI - 390 (F/R)	50,7	0,39
DF 4448 - ACI - 391 (G/R)	52,0	Menor que 0,1
DF 4449 - ACI - 392 (H/R)	50,3	Menor que 0,1
DF 4450 - ACI - 393 (I/R)	50,8	Menor que 0,1
DF 4451 - ACI - 394 (J/R)	48,3	Menor que 0,1
DF 4452 - ACI - 395 (L/R)	50,1	Menor que 0,1
DF 4453 - ACI - 396 (M/R)	47,2	0,39
DF 4454 - ACI - 397 (N/R)	50,6	Menor que 0,1
DF 4455 - ACI - 398 (O/R)	51,1	Menor que 0,1
DF 4456 - ACI - 399 (P/R)	46,3	Menor que 0,1
DF 4457 - ACI - 400 (Q/R)	49,8	Menor que 0,1
↓ DF 4458 - ACI - 401 (R/R)	50,3	Menor que 0,1

2. OBSERVAÇÃO

Material como recebido.

3. METODOLOGIA

- Vogel. Análise Inorgânica Quantitativa, 4ª Edição, Editora Guanabara, Rio de Janeiro, RJ, 1981.

Curitiba, 11 de abril de 1995.

Fontanelli

LÉA CARMEN L. FONTANELLI
 Tec.Quim.CRQ/9º 09400083

Guelycy Barreiros Correa

QUELCY BARREIROS CORREA
 Eng.Quim.CRQ/9º 09301063
 Gerente da Divisão de Química Inorgânica

RELATORIO DE ENSAIO - 5.221 - 95001811

MATERIAL: CALCARIO CALCITICO CERRO AZUL (A/P a P/P)
 Lote e Memo: 008/95
 (Data de entrada: 10/05/95)

PROCEDENCIA:

REMETENTE: MINEROPAR MINERAIS DO PARANA S/A

ENDEREÇO: Rua Constantino Marochi, 800 - Curitiba / PR

A presente análise tem seu valor restrito somente à amostra entregue no Instituto. O presente Documento é emitido em 1 via original, respondendo o Instituto apenas pela veracidade desta via.

1. ANALISE QUIMICA

Amostras	Oxido de Cálcio (% CaO)	Oxido de Magnésio (% MgO)
DF 4647 - ACI - 613 (A/P)	5,36	0,67
DF 4648 - ACI - 614 (B/P)	4,55	1,10
DF 4649 - ACI - 615 (C/P)	8,04	0,84
DF 4650 - ACI - 616 (D/P)	10,4	1,18
DF 4651 - ACI - 617 (E/P)	5,48	1,01
DF 4652 - ACI - 618 (F/P)	17,7	0,67
DF 4653 - ACI - 619 (G/P)	21,1	4,45
DF 4654 - ACI - 620 (H/P)	28,0	1,93
DF 4655 - ACI - 621 (I/P)	42,1	0,76
DF 4656 - ACI - 622 (J/P)	49,2	0,42
DF 4657 - ACI - 623 (L/P)	45,4	4,62
DF 4658 - ACI - 624 (M/P)	30,0	1,01
DF 4659 - ACI - 625 (N/P)	29,4	1,76
DF 4660 - ACI - 626 (O/P)	19,1	15,2
DF 4661 - ACI - 627 (P/P)	24,1	15,7

2. OBSERVAÇÕES


Análise realizada no material como recebido.

3. METODOLOGIA

Vogel. Análise Inorgânica Quantitativa, 4ª Edição, Editora Guanabara, Rio de Janeiro, RJ, 1981.

Curitiba, 23 de maio de 1995.


 ILDA SILVA
 Téc. Quim. CRQ/9ª 09400086


 QUELCY BARREIROS CORREA
 Eng. Quim. CRQ/9ª 09301063
 Gerente da Divisão de Química Inorgânica

RELATORIO DE ENSAIO - 5.221 - 95001B12

MATERIAL: CALCARIO CALCITICO CERRO AZUL (A/P a P/P)
 Lote e Memo: 008/95
 (Data de entrada: 10/05/95)

PROCEDENCIA:

REMETENTE: MINEROPAR MINERAIS DO PARANÁ S/A

ENDEREÇO: Rua Constantino Marochi, 800 - Curitiba / PR

A presente análise tem seu valor restrito somente à amostra entregue no Instituto. O presente Documento é emitido em 1 via original, respondendo o Instituto apenas pela veracidade desta via.

1. ANALISE QUIMICA

Amostras	Oxido de Cálcio (% CaO)	Oxido de Magnésio (% MgO)
DF 4662 - ACI - 628 (A/P)	22,4	14,1
DF 4663 - ACI - 629 (B/P)	23,2	15,7
DF 4664 - ACI - 630 (C/P)	36,3	5,20
DF 4665 - ACI - 631 (D/P)	34,3	7,05
DF 4666 - ACI - 632 (E/P)	29,4	7,72
DF 4667 - ACI - 633 (F/P)	31,0	7,47
DF 4668 - ACI - 634 (G/P)	44,0	2,94
DF 4669 - ACI - 635 (H/P)	46,8	2,27
DF 4670 - ACI - 636 (I/P)	40,0	4,45
DF 4671 - ACI - 637 (J/P)	41,3	3,36
DF 4672 - ACI - 638 (L/P)	38,4	0,92
DF 4673 - ACI - 639 (M/P)	39,6	5,29
DF 4674 - ACI - 640 (N/P)	40,7	4,95
DF 4675 - ACI - 641 (O/P)	45,8	2,52
DF 4676 - ACI - 642 (P/P)	48,4	0,92

2. OBSERVAÇÕES

Análise realizada no material como recebido.

3. METODOLOGIA

Vogel. Análise Inorgânica Quantitativa, 4ª Edição, Editora Guanabara, Rio de Janeiro, RJ, 1981.

Curitiba, 23 de maio de 1995.

Ida Silva
 ILDA SILVA
 Téc. Quím. CRQ/9ª 09400086

Quelcy Barreiros Correa
 QUELCY BARREIROS CORREA
 Eng. Quím. CRQ/9ª 09301063
 Gerente da Divisão de Química Inorgânica

